



**Pedro Manuel
Monteiro Limas**

**Desenvolvimento de um sistema SCADA para
ajuda à manutenção na AviSabor**



**Pedro Manuel
Monteiro Limas**

Desenvolvimento de um sistema SCADA para ajuda à manutenção na AviSabor

Relatório de Estágio apresentado à Universidade de Aveiro para cumprimento dos requisitos necessários à obtenção do grau de Mestre em Engenharia Mecânica, realizado sob orientação científica de José Paulo Oliveira Santos, Professor Auxiliar do Departamento de Engenharia Mecânica da Universidade de Aveiro.

Apoio financeiro de: Projeto Investigação do Centro de Tecnologia Mecânica e Automação (TEMA) com referência UIDB/00481/2020 e UIDP/00481/2020; e Projeto Centro de Tecnologia Mecânica e Automação (TEMA) Infraestrutura de Investigação com a referência CENTRO-01-0145-FEDER-022083.

O júri / The jury

Presidente / President

Prof. Doutor António Gil D'Orey de Andrade Campos

Professor Auxiliar c/ Agregação da Universidade de Aveiro

Vogais / Committee

Prof. Doutor José Paulo Santos

Professor Auxiliar da Universidade de Aveiro (Orientador)

Prof. Doutor Pedro Nicolau Faria da Fonseca

Professor Auxiliar da Universidade do Aveiro (Arguente)

Agradecimentos / Acknowledgements

Em primeiro lugar, quero demonstrar os meus agradecimentos ao Professor José Paulo Santos pela orientação prestada ao longo do desenvolvimento desta dissertação.

A concretização deste projeto deve-se a um problema proposto pela AviSabor que, independentemente dos acontecimentos do presente ano, sempre se mostrou interessada e disponível para me ajudar naquilo que fosse necessário. Um agradecimento especial ao Eng^o Hugo Loureiro, ao Eng^o Carlos Sousa e ao Eng^o Gabriel Esteves, que se mostraram sempre prestáveis com qualquer problema que tivesse.

Um obrigado especial ao Professor Abílio Borges pela disponibilidade, pelo material, por toda a ajuda prestada e porque, dadas as circunstâncias, não hesitou em oferecer-me um espaço na Atena onde eu pudesse fazer os testes necessários.

Sei que quando me lembrar da universidade há, inevitavelmente, algumas pessoas que marcaram e ajudaram a traçar o meu percurso académico. Aos comparsas Francisca Matos, Patrícia Assis, Fabrício Souza e Rui Martins, que embora tenho entrado a meio, entrou com força. A estes quero deixar um grande obrigado, por tornarem alguns dias pesados em autênticas nuvens e votos de um brilhante futuro.

Deixo um fortíssimo e especial abraço de agradecimento ao Rúben Costa que me deu "carry" nas mais variadas ocasiões e por ser a prova de que o trabalho árduo compensa. Por todas as horas de conversa, trabalho e amizade e por isso, "Estamos aí, brother".

Ao Miguel Arroz só tenho que agradecer por todas as horas em que foi um puro "craque" e pela descomplicação de todos os problemas técnicos que foram surgindo.

Um obrigado aos meus Vieiras, que são facilmente um dos melhores grupos aí na via. Não é que tenham tido especial contributo para a tese, mas um gajo ama-vos na mesma.

Aos "goodfellas" André João, Miguel Curado, Rafael Teles por serem quem são. Dificilmente se arranja desta massa noutra lado.

Sem querer particularizar, mas com particular destaque aos Andrés, Joões, Migueis, Pedros, e Ruis desta vida. "Let's get it".

Finalizando com um "brinde" à família.

Pelo que viste e pelo que eu não sei se viste, pelo que fizeste e talvez pelo que ainda fazes, qualquer texto é insuficiente. Um grande obrigado Paizão, "O puro dos puros".

Se uma é trabalhoso, duas é obra. Imagine-se três. À Manuela, à Rita e à minha Mãe. Um hino a estas mulheres que acompanharam de perto todo o percurso, que viram a minha evolução nos últimos cinco anos (e não só), que travaram algumas lutas comigo e fizeram de mim o homem que sou. Estou-vos grato.

Palavras-chave

Sistema SCADA, Modbus-RTU-RS485, Servidor, Variador de Frequência, Microcontrolador, Página *Web*, Manutenção Preventiva

Resumo

Em empresas que operem na indústria agro-pecuária, a água é um dos mais recursos mais solicitados pelas várias etapas do processo produtivo. A Avi-Sabor, S.A é uma empresa responsável pelo abate, desmanche e expedição de frangos para todo o país. Nesta fábrica ocorrem frequentemente anomalias nos equipamentos responsáveis pelo bombeamento de água para o interior da unidade fabril. Como não existe supervisão, sempre que algum destes equipamentos atinge a falha, a equipa de manutenção é obrigada a deslocar-se até ao edifício onde estes se encontram para averiguar o problema e encontrar uma solução. A conjugação destes fatores constituem custos para a empresa que podem ser evitados com a implementação de um sistema de supervisão que possa ser acedido remotamente. Assim, por forma a permitir uma manutenção mais eficaz e prevenir avarias destes equipamentos, o estágio proposto em colaboração com a AviSabor, S.A, tem como objetivo o desenvolvimento de um sistema SCADA que viabilize a monitorização do sistema de bombeamento de água. Já que na empresa o funcionamento dos variadores de frequência que controlam o funcionamento das bombas é regulado por autómatos que os ligam e desligam conforme a necessidade de água no processo produtivo, implementou-se em laboratório um sistema que viabilize a monitorização e controlo de variadores de frequência e dos autómatos associados, a sua integração com bases de dados MySQL e a apresentação dos dados recolhidos (valores de frequência, intensidade de corrente e tensão) numa página *web*, recorrendo ao ambiente de programação Node-RED. A implementação de um sistema deste género contribui para uma manutenção preventiva eficaz visto que quando alguma anomalia é detetada, é enviado um alerta via *e-mail* para que a equipa de manutenção possa atuar rapidamente e arranjar ou substituir o equipamento danificado.

Keywords

SCADA System, Modbus-RTU-RS485, Server, Frequency Inverter, Microcontroller, Webpage, Preventive Maintenance

Abstract

In companies operating in the agribusiness industry, water is one of the most requested resources by the various stages of the production process. AviSabor, S.A is a company responsible for poultry slaughter, cutting and dispatch throughout the country. In this factory, there are frequent anomalies in the equipment responsible for pumping water into the plant. As there is no supervision, whenever there's a faulty equipment, the maintenance team is obliged to go to the building where they are located to examine the problem and find a solution. The combination of these factors constitutes costs for the company that can be avoided by implementing a remote supervisory system. Thus, to allow more effective maintenance and prevent damage to these equipment, the proposed internship in collaboration with AviSabor, S.A, aims to develop a SCADA system that enables the monitoring of the water pumping system. Since the operation of the frequency inverters which control the pumps is regulated by PLCs that turn them on and off according to the need for water in the production process, a system has been implemented in laboratory to enable the monitoring and control of frequency inverters and associated PLCs, their integration with MySQL databases and the presentation of the collected data (frequency, current intensity and voltage) on a dedicated webpage, using Node-RED programming environment. The implementation of such a system contributes to an effective preventive maintenance since when an anomaly is detected, an alarm is sent via e-mail so that the maintenance team can act on it quickly and fix or replace damaged equipment.

Índice

1	Introdução	1
1.1	Enquadramento	1
1.2	Objetivos	1
1.3	Organização do Documento	2
2	Caraterização da Empresa	3
2.1	Descrição e História	3
2.2	Processo Produtivo	4
2.2.1	Receção das Aves Vivas	5
2.2.2	Abate	5
2.2.3	Sangria	5
2.2.4	Escaldão e Depenadoras	5
2.2.5	Evisceração	5
2.2.6	Túnel de Refrigeração	6
2.2.7	Calibragem	6
2.2.8	Desmancha	6
2.3	Caraterização do Problema	6
3	Revisão bibliográfica de Sistemas SCADA e Tecnologias IoT	11
3.1	Outras Dissertações	11
3.1.1	Monitorização e controlo remoto de sistemas de rega agrícola . . .	11
3.1.2	Proposta de uma solução SCADA para a Manutenção Preditiva . .	13
3.2	Sistemas SCADA	14
3.2.1	Soluções Comerciais	16
3.3	PLC - <i>Programmable Logic Controller</i>	17
3.4	Variadores de Frequência	18
3.4.1	Conceitos Técnicos Utilizados	19
3.5	Microcontroladores	19
3.6	IoT - <i>Internet Of Things</i>	19
3.6.1	Arquitetura IoT	20
3.6.2	Plataformas IoT	20
3.7	<i>Softwares</i> e Linguagens de Desenvolvimento <i>web</i>	24
4	Solução Proposta	25
4.1	Descrição da Solução	25
4.2	Abordagem Inicial para o Sistema de Aquisição de Dados	27

4.3	Sistema de Aquisição de Dados (Frequência, Intensidade de Corrente, Tensão)	28
4.3.1	Comunicação - Modbus-RTU-RS-485 [1]	29
4.3.2	Comunicação com o Servidor	34
4.4	Servidor (Raspberry Pi)	34
4.4.1	Broker MQTT	34
4.4.2	Node-RED	35
4.4.3	Repositório de Dados - MySQL	36
4.5	Interface do Utilizador para Controlo e Supervisão	38
4.5.1	Comunicação entre a Interface e Servidor Apache	38
4.5.2	Página <i>web</i>	39
4.5.3	Registo de Eventos e Alarmes	39
5	Implementação	41
5.1	Parametrização do Variador de Frequência	41
5.1.1	Configuração dos Terminais	42
5.2	Sistema de Aquisição de Dados (Frequência, Intensidade de Corrente, Tensão)	43
5.2.1	Módulo IoT - ESP32	44
5.2.2	Comunicação entre o Sistema de Aquisição de Dados (FIT) e o Variador de Frequência	45
5.2.3	Comunicação entre o Sistema de Aquisição de Dados e o Servidor (Raspberry Pi)	50
5.2.4	Desenvolvimento da placa PCB	51
5.3	Servidor (Raspberry Pi)	52
5.3.1	Módulo Raspberry Pi 3B	52
5.3.2	Comunicação entre Servidor e Sistema de Aquisição de Dados	53
5.3.3	Repositório de Dados (Adquiridos pelo Sistema de Aquisição e Limites Seleccionados)	53
5.4	Interface Gráfica de Supervisão e Controlo do Variador de Frequência (Página <i>web</i> SCADA)	55
5.4.1	Comunicação entre Servidor e Interface	55
5.4.2	Página <i>web</i> SCADA	55
5.5	Modo Automático de Regulação de Frequência	58
5.5.1	Funcionamento	60
5.5.2	Comunicação do Módulo de Aquisição de Entradas Analógicas (Módulo AI/DO)	60
5.5.3	Sistema de Aquisição de Dados (FIT)	63
5.5.4	Ativação do Modo Automático de Regulação da Frequência	63
5.5.5	Domínio de IP's	64
6	Análise de desempenho	65
6.1	Desempenho do Sistema SCADA	65
6.1.1	Sistema de Aquisição de Dados (Frequência, Intensidade de Corrente, Tensão)	65
6.1.2	Servidor Local (Raspberry Pi)	65
6.1.3	Página <i>web</i>	66

6.1.4	Modo Automático de Regulação de Frequência	69
6.1.5	Modo Remoto vs Modo Automático de Regulação de Frequência	69
7	Conclusões e Trabalhos Futuros	71
7.1	Conclusões	71
7.2	Trabalhos Futuros	74
A	Desenvolvimento	81
A.1	Configuração do Variador	81
A.2	Esquema Elétricos	83
A.2.1	Diagrama de Componentes	83
A.2.2	Esquema Elétrico da PCB	84
A.3	Alterações no Node-RED	85
A.4	Alterações das definições do <i>mail</i>	87
A.5	Diagramas de Sequência	89
A.6	Registo de Alarmes	91
A.7	Fotografias do Sistema na <i>breadboard</i>	94
A.8	Opções de Microcontroladores Implementáveis	95
A.9	Código de programação - ESP32	96
A.9.1	Configuração da Rede Wi-Fi	96
A.9.2	Configuração do <i>broker</i> MQTT	96

Lista de Figuras

2.1	Fluxograma do processo produtivo	4
2.2	Planta síntese da AviSabor	7
2.3	Sala das bombas e os reservatórios de água	7
2.4	(a) Variador de Frequência - Delta C2000, (b) PLC Siemens S7-1200	8
3.1	Arquitetura proposta na dissertação	12
3.2	Esboço do funcionamento da solução implementada	13
3.3	Representação da Solução proposta	13
3.4	Arquitetura geral da solução proposta	14
3.5	Imagem ilustrativa das camadas que compõem um sistema SCADA segundo o modelo ISA95	15
3.6	Imagem ilustrativa do <i>software</i> Siemens Simatic WinCC	16
3.7	Imagem ilustrativa do <i>Software</i> Movicon	17
3.8	Exemplo de um PLC da Siemens	18
3.9	Imagem representativa de uma gama de variadores de frequência Delta	18
3.10	Módulo ESP32	19
3.11	Arquitetura de uma implementação IoT	20
3.12	Arquitetura do serviço Microsoft Azure IoT	21
3.13	Arquitetura do serviço Siemens Mindsphere	22
3.14	Arquitetura do serviço Bosch Suite IoT	23
4.1	Representação esquemática da solução proposta	26
4.2	<i>Hardware</i> da empresa: (a) PLC Siemens S7-1200, (b) Switch Siemens Scalance XB005, (c) Siemens KTP400, (d) Variador de Frequência - Delta C2000	27
4.3	Arquitetura conceptual do Sistema de Aquisição de Dados	29
4.4	Comunicação entre o microcontrolador e o variador	29
4.5	Relação entre o comprimento do cabo e a velocidade de comunicação RS-485	30
4.6	Tensões das linhas A e B no envio de um <i>byte</i>	31
4.7	Estrutura de uma resposta ao envio de uma mensagem série	31
4.8	Exemplo de leitura de um registo	31
4.9	Exemplo de escrita de valor de frequência num registo	32
4.10	Resistências de terminação, <i>pull-up</i> e <i>pull-down</i>	32
4.11	Arquitetura conceptual do Servidor	34
4.12	Diagrama de comunicação de um <i>broker MQTT</i>	35
4.13	Programação visual usando o Node-RED	36
4.14	Exemplo da organização e estrutura de tabelas	37

4.15	Exemplo de <i>design</i> para uma página web para aplicações SCADA	39
4.16	Exemplo de uma tabela de registo de alarmes em Excel	39
5.1	(a) Terminais do variador, (b) Esquema da alimentação dos terminais do variador	42
5.2	Exemplo de leitura de um registo	43
5.3	Ligação Modbus-RTU-RS-485 entre o conector do Sistema de Aquisição de Dados e o conector PU do variador de frequência	43
5.4	Ligações do Sistema de Aquisição de Dados na <i>breadboard</i>	44
5.5	Disposição dos pinos do ESP32	45
5.6	(a) Conversor de níveis TTL para RS-485, (b) Disposição dos pinos do conector do Olimex MOD-RS-485 (UEXT)	46
5.7	Fluxograma de aquisição de dados e escrita nos registos do variador	48
5.8	Fluxograma correspondente à leitura de registos do variador	49
5.9	Modelo 3D do protótipo desenvolvido em placa PCB	51
5.10	Várias vistas da PCB	51
5.11	Raspberry Pi Model 3B+	52
5.12	Diagrama de comunicação entre o Sistema de Aquisição de Dados, o Servidor e o <i>broker</i> MQTT	53
5.13	Código Node-RED para inserir valores na base de dados MySQL	54
5.14	Caixa de controlo dos modos de funcionamento do variador de frequência	55
5.15	Estados de funcionamento do variador	56
5.16	Disposição dos gráficos de Frequência e Tensão (em função do tempo) no separador "Vista Comprimida" na página <i>web</i>	56
5.17	Exemplo de alarme acompanhado por um <i>popup</i>	57
5.18	<i>Flows</i> do Node-RED e o exemplo de um alarme recebido via <i>e-mail</i>	57
5.19	Arquitetura do Modo Automático de Regulação de Frequência segundo a norma ISA95	58
5.20	<i>Hardware</i> do Modo Automático: (a) ADAM 6017, (b) PLC Siemens ET200s, (c) Variador de Frequência Mitsubishi D720S, (d) Sistema de Aquisição de Dados, (e) Motor Trifásico, (f) Potenciómetro, (g) <i>Router</i> TP-LINK	59
5.21	Gráfico da aplicação <i>web</i> do Módulo de Aquisição I/O	61
5.22	Tensão das entradas analógicas do Módulo de Aquisição de Entradas Analógicas	61
5.23	<i>Flow</i> em Node-RED para aquisição do valor analógico	62
5.24	<i>Flow</i> de publicação do valor da frequência de comando num tópico MQTT	62
5.25	Fluxograma do programa <i>ladder</i> responsável pelo Ciclo Automático	63
5.26	Caixa do Modo Automático na página <i>web</i>	64
6.1	Nós de comunicação com a base de dados	66
6.2	Vários separadores presentes na interface	67
6.3	<i>Gauges</i> associados a cada variável	67
6.4	Exemplo da aba de "Controlo" da página <i>web</i>	68
6.5	Conteúdo do separador de alarmes	69
7.1	Esquema representativo do funcionamento de um <i>chip</i> LoRa	74
A.1	<i>Pinout</i> do conector PU (igual ao RJ45) do variador de frequência.	81

A.2	Conector de três pinos da PCB do Sistema de Aquisição de Dados.	82
A.3	Variador de Frequência utilizado (Mitsubishi FR-D720S).	82
A.4	Ligação dos fios condutores entre o variador e o adaptador.	82
A.5	Diagrama de componentes.	83
A.6	Esquema de ligações da placa de circuito impresso.	84
A.7	Alteração das credenciais da base de dados.	85
A.8	Alteração do <i>mail</i>	86
A.9	Alteração dos dados do <i>broker</i> MQTT.	86
A.10	1º passo: Gerir a sua Conta Google.	87
A.11	2º passo: Opção de Segurança.	87
A.12	3º passo: Ativar o acesso em Acesso a apps menos seguras.	88
A.13	4º passo: Ativar a opção Permitir aplicações menos seguras.	88
A.14	Diagrama de sequência de controlo e monitorização.	90
A.15	1º passo - abrir o ficheiro .txt em Excel.	91
A.16	2º passo - Várias opções dos caracteres delimitadores de colunas.	91
A.17	3º passo - Escolher a "vírgula" como carater delimitador.	92
A.18	4º passo - Escolher o formato de cada coluna.	92
A.19	5º passo - Exemplo de uma tabela em Excel.	92
A.20	Guardar o ficheiro num formato .xlsx.	93
A.21	Sistema de Aquisição de Dados desenvolvido na placa de prototipagem (<i>breadboard</i>) e na PCB	94
A.22	Opções de Microcontroladores Implementáveis: (a) ESP32, (b) Arduino + <i>Ethernet Shield</i>	95

Lista de Tabelas

2.1	Especificações Técnicas das bombas	9
4.1	Potencial da linha com e sem atividade	30
4.2	Funções do <i>Quality of Service</i>	35
4.3	Credenciais MySQL	36
4.4	Exemplos de queries MySQL	37
4.5	Camadas do Modelo OSI do protocolo TCP/IP	38
5.1	Especificações Técnicas do variador Mitsubishi FR-D720S	41
5.2	Configuração dos terminais do variador	42
5.3	Especificações do ESP32 e Arduino Uno + Ethernet Shield	45
5.4	Designação e descrição dos pinos do conector	46
5.5	Especificações do modelo do Raspberry Pi	52
6.1	Tabelas criadas na base de dados	66
6.2	Tabelas de comparação dos modos	70

Lista de Acrónimos

- AC** Corrente Alternada (em Inglês, Alternate Current)
- ADC** Analog-to-Digital Converter
- AI** Entrada Analógica (em Inglês, Analog Input)
- AO** Saída Analógica (em Inglês, Analog Output)
- API** Application Programming Interface
- AP** Access Point
- ASCII** Código Padrão Americano para Intercâmbio de Informações (em inglês, American Standard Code for Information Interchange)
- CPS** Cyber-Physical System
- CRC** Cyclic Redundancy Check
- CSS** Cascading Style Sheets
- DC** Corrente Contínua (em Inglês, Direct Current)
- DI** Entrada Digital (em Inglês, Digital Input)
- DO** Saída Digital (em Inglês, Digital Output)
- EIA** Electronics Industry Alliance
- ERP** Planejamento de Recursos Empresariais (em Inglês, Enterprise Resource Planning)
- FTP** File Transfer Protocol
- GND** Malha de terra (em Inglês, Ground)
- GSM** Groupe Special Mobile
- HMI** Human Machine Interface
- HTML** Hypertext Markup Language
- HTTPS** Hyper Text Transfer Protocol Secure
- HTTP** Protocolo de Transferência de Hipertexto (em inglês, HyperText Transfer Protocol)

IDE Integrated Development Environment

IEEE Instituto de Engenheiros Eletricistas e Eletrônicos (em inglês, Institute of Electrical and Electronic Engineers)

IoS Internet das Serviços (em Inglês, Internet of Services)

IoT Internet das Coisas (em Inglês, Internet of Things)

IP Internet Protocol

IT Tecnologia da Informação Technology (em Inglês, Information Technology)

JS Javascript

LAN Local Area Network

MCU Microcontroller Unit

MQTT Message Queuing Telemetry Transport

Mbps Unidade de transmissão de dados Megabits por segundo

OBDC Open Database Connectivity

OPC Open Process Control

OT Tecnologia de Operação Technology (em Inglês, Operational Technology)

OTA Over The Air

PCB Printed Circuit Board

PHP Personal Home Page

PLC Programmable Logic Controller

QoS Quality of Service

RAM Random Access Memory

RTU Remote Terminal Unit

SA Sociedade Anônima

SCADA Supervisory Control and Data Acquisition

SCTP Stream Control Transmission Protocol

SMTP Simple Mail Transfer Protocol

SMT Surface-Mount Technology

SQL Structured Query Language

SSID Service Set Identifier

STA Station
TCP Transmission Control Protocol
THT Through-Hole Technology
TIA Totally Integrated Automation
TTL Transistor–Transistor Logic
UART Universal Asynchronous Receiver-Transmitter
UDP User Datagram Protocol
USB Universal Serial Bus
WAN Wide Area Network

Capítulo 1

Introdução

1.1 Enquadramento

A Indústria 4.0 promove a ligação entre objetos físicos como sensores, dispositivos e recursos empresariais à *internet*. Baseia-se em sistemas ciber-físicos (*Cyber-Physical Systems - CPS*), que não são mais do que maquinaria e equipamentos integrados e interligados num sistema. Geralmente, os CPS são percebidos como a capacidade de interação entre o mundo virtual e os elementos físicos, sendo fundamentais para dotar um sistema de inteligência e capacidade de decisão e dessa forma permitir, por exemplo, uma manutenção eficaz [2]. A manutenção é uma atividade crítica que tem lugar no chão de fábrica. Quando esta não é devidamente realizada, quer por falta de qualificação ou falhas técnicas, tem impacto tanto no desempenho do processo produtivo como no produto acabado. A imprevisibilidade criada pela falta de manutenção regular dos equipamentos pode culminar paragens de linha não programadas assim como em consequências potencialmente perigosas como acidentes e falta de segurança dos trabalhadores [3].

A monitorização em tempo real tem assumido um papel fundamental na indústria, nomeadamente para supervisão e controlo interno da qualidade dos processos de fabrico para, desta forma, garantir a qualidade do produto final. Como na AviSabor não existe supervisão dos equipamentos que fazem parte do sistema de bombeamento de água para o interior da unidade fabril, este projeto visa o desenvolvimento de um sistema baseado num microcontrolador capaz de adquirir dados relevantes - frequência, intensidade de corrente - para dessa forma avaliar em tempo real o estado destes equipamentos.

Apesar de já haver alguns sistemas concebidos exclusivamente para efeitos SCADA, estes revelam-se muitas vezes limitados e com problemas de integração, devido à existência de diversos protocolos de comunicação entre os sensores, variadores de frequência, autómatos, bases de dados e outros.

1.2 Objetivos

Para que a AviSabor, S.A consiga cumprir todos os objetivos a que se propõe anualmente para com os seus clientes, é de extrema importância que o departamento de Engenharia e de Qualidade faça um acompanhamento e uma análise constante das necessidades das linhas de produção. Um acompanhamento permanente permite reagir rapidamente na prevenção e correção dos mais diversos tipos de falhas, desde má ges-

tão de *stock*, falhas na maquinaria (devido à falta de manutenção ou antiguidade dos equipamentos utilizados), utilização inapropriada dos recursos da empresa, entre outros. Desta forma, evita-se a subida dos custos de manutenção e a qualidade do produto é assegurada.

Adotando uma perspectiva técnica, pode-se constatar que com equipamentos danificados ou no fim do ciclo de vida, pode, em casos extremos, dar-se a paragem das linhas de produção para que a equipa de manutenção possa intervir no problema, o que culmina em custos extraordinários e desnecessários para a empresa. Este projeto insere-se no âmbito da dissertação do presente autor em ambiente industrial, para apoio à monitorização do processo de bombeamento de água nas instalações da AviSabor. O principal objetivo é o desenvolvimento de um sistema SCADA de equipamentos associados ao bombeamento de água para as linhas de produção como é o caso dos variadores de frequência (que estão ligados a bombas e motores para regular a sua velocidade, explicado com maior detalhe na Secção 3.4) e bombas que possa ser acedido remotamente. A consulta e controlo em tempo real de parâmetros como : tensão debitada, intensidade de corrente, frequência de comando, permite uma supervisão por parte dos técnicos de operação no seu posto de trabalho através de um monitor informativo ou um dispositivo semelhante com a mesma finalidade. Dados os pressupostos supramencionados, os objetivos para este projeto são então:

- Desenvolvimento de um protótipo que faça a recolha de alguns dos parâmetros supramencionados;
- Desenvolvimento de uma página *web* (*dashboard*) onde seja possível monitorizar os dados recolhidos;
- Sistema de alarmes por *e-mail* e *popup* automático para aviso dos colaboradores.

1.3 Organização do Documento

Este documento encontra-se dividido em seis capítulos:

- No Capítulo 1 é introduzido o tema e a motivação do projeto, assim como os seus objetivos;
- No Capítulo 2 é feita uma breve descrição do processo produtivo da empresa e a caracterização do problema;
- No Capítulo 3 é feita uma revisão bibliográfica de alguns sistemas SCADA e de tecnologias IoT;
- No Capítulo 4 é apresentada a solução proposta;
- No Capítulo 5 é apresentada uma proposta de implementação da solução;
- No Capítulo 6 é realizada uma análise de desempenho do sistema desenvolvido;
- No Capítulo 7 são apresentadas as conclusões que se retiraram da conclusão deste trabalho, assim como propostas de possíveis trabalhos futuros.

Capítulo 2

Caraterização da Empresa

2.1 Descrição e História

Fundada a 19 de maio de 1980, com a denominação de Hilário & Gomes, Lda, tinha como objetivo a produção, abate e comercialização avícola e similares. A 29 de setembro de 1987, o pacto social da empresa foi parcialmente alterado, quer na denominação da firma, quantidade e valor das quotas, quer no capital social e gerência da empresa. A sociedade adotou a denominação de Hilário H. M. Santos & Filhos, Produção e abate de aves, Lda. A 2 de Fevereiro de 2001, a sociedade então por quotas foi transformada em sociedade anónima, passando a usar a atual denominação Hilário Santos & Filhos, S. A. com o capital de um milhão e setenta e cinco mil euros. Em novembro de 2006, 51% do capital social foi adquirido pela Lusiaves S.A., sendo os restantes 49% adquiridos em novembro de 2007, passando a fazer parte do Grupo Lusiaves. Em abril de 2014 alterou a sua designação para AviSabor - Indústria Agroalimentar, S.A. Em janeiro de 2015 finalizou as obras de aumento do centro de abate, o que permitiu aumentar cerca de três vezes o número de frangos abatidos para 12.000 frangos/hora. Foi ainda instalada uma linha de desmancha automática que permite desmanchar até 6.000 frangos/hora.

2.2 Processo Produtivo

O processo produtivo da empresa é ilustrado pelo fluxograma da Figura 2.1, bem como os recursos associados a cada etapa.

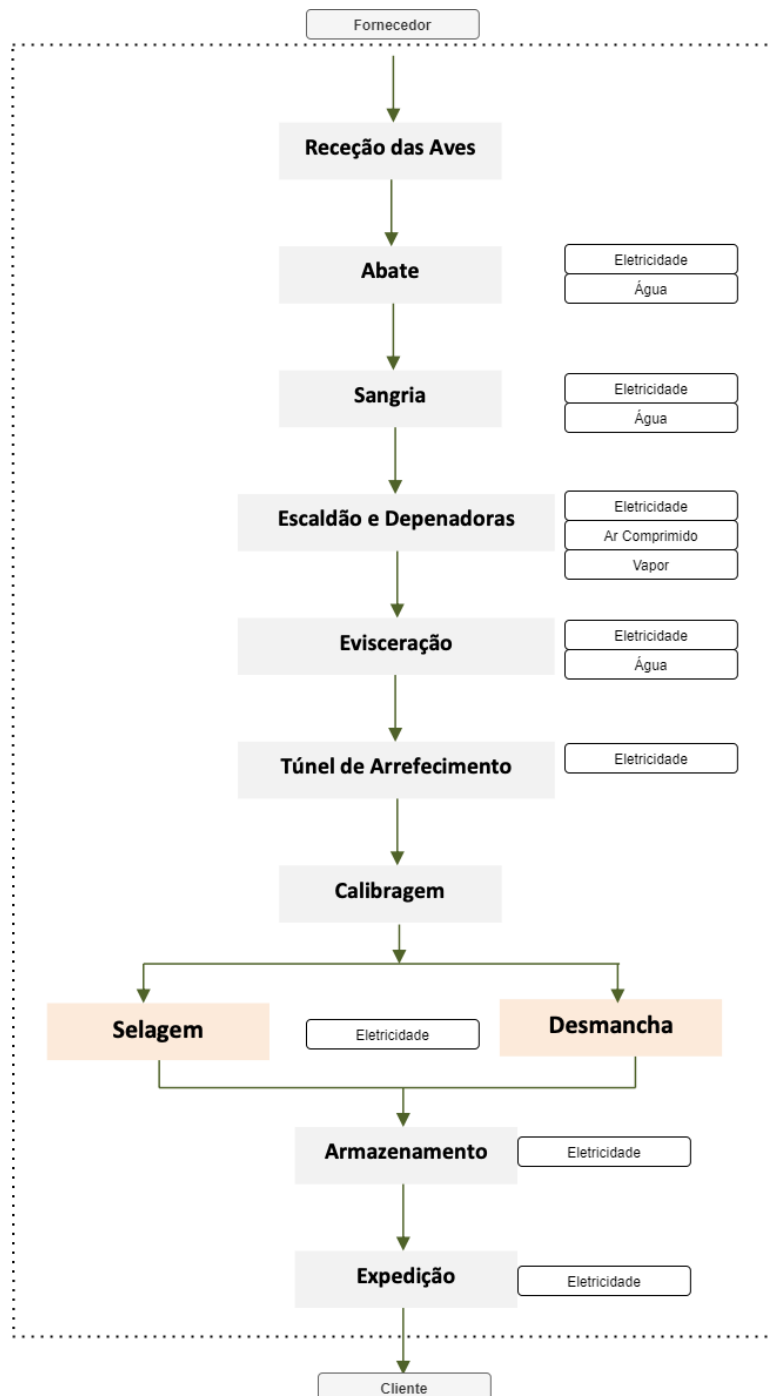


Figura 2.1: Fluxograma do processo produtivo.

2.2.1 Receção das Aves Vivas

As aves vivas são rececionadas em contentores no cais do frango vivo, que por sua vez, são descarregados e colocados na linha de transporte para posterior retirada das gavetas.

2.2.2 Abate

No setor do abate, as aves vivas são retiradas das gavetas e penduradas na linha de transporte aéreo de abate. Ao mesmo tempo os contentores e as gavetas são higienizados.

2.2.3 Sangria

De seguida, as aves são encaminhadas para a eletrocussão, que provoca a insensibilização das aves por corrente através da água, passando pelo corte das carótidas, e sangria completa do frango.

2.2.4 Escaldão e Depenadoras

Após o processo de sangria, as aves mortas são escaldadas através da imersão em tanques de água quente (49-53°C), que se encontram em constante agitação. Posteriormente, são retiradas as penas por meio mecânico, nas depenadoras, as cabeças e as patas.

As patas, por sua vez, são escaldadas de modo a permitir a remoção da pele através de borrachas, e as patas selecionadas são mergulhas em água fria para provocar uma redução de temperatura mais rápida. Após o respetivo armazenamento seguem para a câmara de refrigeração (0-4°C).

2.2.5 Evisceração

Antes da retirada das vísceras, é realizado um furo vertical junto à cloaca, e um corte ao longo do abdómen de forma a facilitar a evisceração. De seguida, são removidas automaticamente as vísceras para pratos que acompanham a respetiva carcaça. Após a limpeza e seleção das vísceras (fígados, corações e moelas), são mergulhadas em água fria (4-12°C) para provocar uma redução térmica mais rápida, colocadas em caixas e armazenadas na câmara de refrigeração (0-4°C). As tripas são encaminhadas para alinha dos subprodutos. Posteriormente, os pescoços são removidos, mergulhados em água fria (4-12°C), lavados, e armazenados na câmara de refrigeração. Por último, e para finalizar a fase do abate, as peles dos pescoços do frango são removidas da carcaça, e os pulmões aspirados do seu interior, seguindo para os subprodutos. As carcaças são lavadas, por dentro e por fora, antes da sua transferência aérea automática para a linha do túnel de refrigeração. Após o término da fase de abate, o frango é encaminhado para a calibragem, após o túnel de refrigeração.

2.2.6 Túnel de Refrigeração

O frango é encaminhado para o túnel de refrigeração para arrefecimento e estabilização da temperatura, permanecendo cerca de 150min a uma temperatura entre 0 e 2°C.

2.2.7 Calibragem

Na calibradora o frango é classificado como Classe A e B, conforme software da *Meyn*. O frango classificado como A, é automaticamente selado, acondicionado e armazenado na câmara de armazenamento (0-4°C), enquanto que, o da Classe B segue para a Desmancha.

2.2.8 Desmancha

O frango classificado como da Classe B, é transferido automaticamente da linha da calibradora para a linha da desmancha, onde as asas são automaticamente cortadas, assim como o peito. A pele é retirada e o peito é desossado. O peito é selecionado por observação visual (remoção do sangue, gordura e osso). Da limpeza do peito resulta a produção de aparas e *trimmings* que são posteriormente comercializados. O peito passa de seguida pelo Raio-X para que se possa detetar a presença de osso. Segue-se o corte automático da carcaça e da perna (com desossa da coxa).

Por fim, o produto é acondicionado em caixas, pesado e identificado sendo posteriormente armazenado na câmara de armazenamento (4-10°C). De referir que todas as caixas e paletes são devidamente higienizadas, e posteriormente armazenadas de forma a serem reutilizadas.

2.3 Caraterização do Problema

Na indústria agropecuária, um dos recursos mais importantes é a água. Como tal, é fundamental fazer uma gestão eficiente da mesma, por forma a evitar desperdícios.

Como se pode ver pela planta da AviSabor representada na Figura 2.2, a sala das bombas da Figura 2.3, é o local no qual existem os equipamentos responsáveis pelo bombeamento de água com base nos quais se desenvolveu o sistema pretendido.

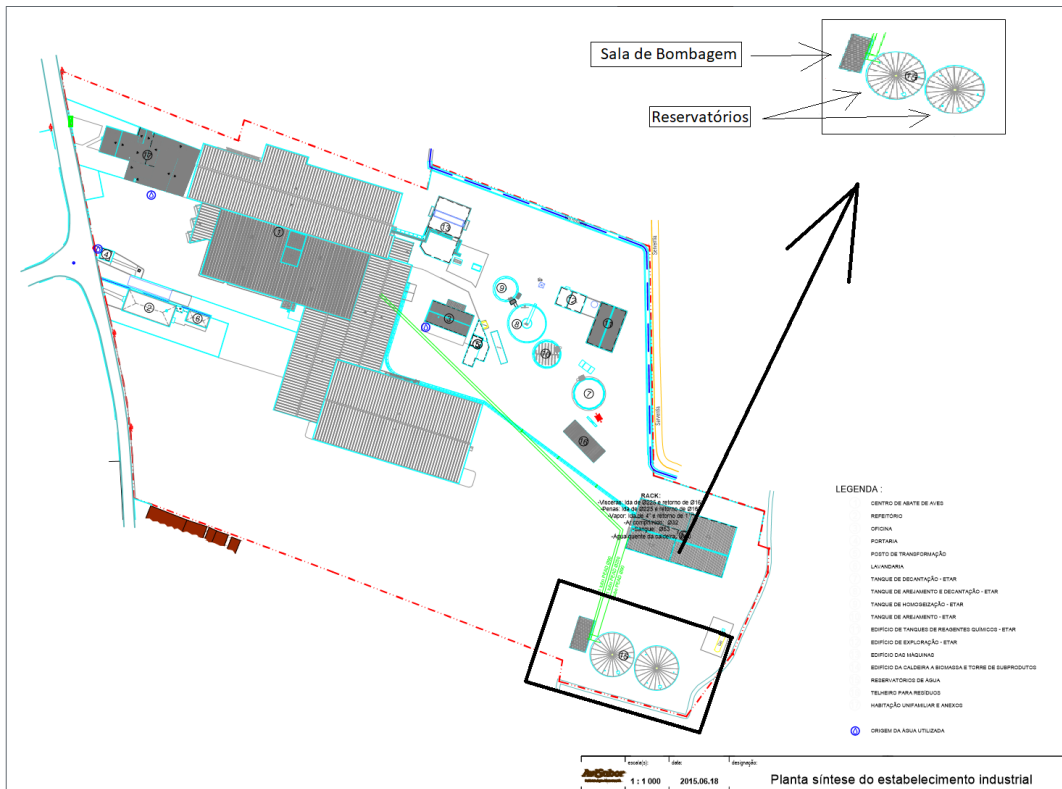


Figura 2.2: Planta síntese da AviSabor.

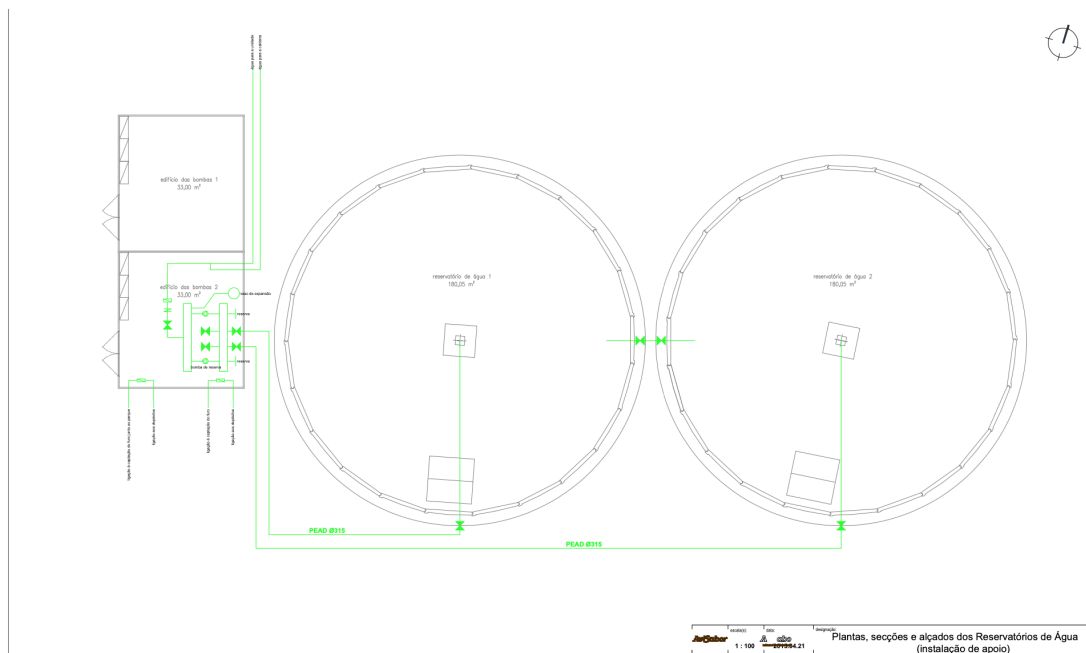


Figura 2.3: Sala das bombas (à esquerda na Figura) e os resevatórios de água (à direita na Figura).

Nesta sala existe um sistema de bombagem que funciona da seguinte forma: a água presente em dois reservatórios (com capacidade para um milhão de litros cada) é puxada por bombas ligadas a variadores de frequência da marca Delta (sirva de exemplo a Imagem (a) da Figura 2.4), ligados, por sua vez, a PLC's Siemens S7-1200 (observe-se a Imagem (b) da mesma Figura) que através da leitura dos sensores de nível ligados às entradas analógicas do autômato, ativa ou desativa as bombas.



(a)



(b)

Figura 2.4: (a) Variador de Frequência - Delta C2000, (b) PLC Siemens S7-1200.

Em suma, as condições deste projeto são:

- N^o de bombas: 3;
- N^o de variadores de frequência: 3;
- N^o de autômatos: 2.

Com a consulta da Tabela 2.1 pretende-se dar a conhecer com maior detalhe as especificações técnicas das bombas com que a empresa trabalha e dessa forma entender melhor as características do problema em análise.

Tabela 2.1: Especificações Técnicas das bombas.

	Bomba 1	Bomba 2	Bomba 3
Marca	EFAFLU	EFAFLU	LOWARA
Potência [kW]	11	15	18,5
Frequência [Hz]	50	50	60
Rotações Máximas [rpm]	1450	1800	3650
Tensão [V]	400	400	480

Neste sentido, a AviSabor pretende que a equipa de manutenção tenha acesso remoto a alguns dos parâmetros registados pelo *hardware* desta sala: intensidade de corrente, potência debitada e frequência (no caso dos variadores) e pressão, recorrendo para isso a uma interface gráfica (*dashboard*). Esta deve fazer uma exibição estruturada e organizada dos dados que se pretendem monitorizar ao utilizador.

Capítulo 3

Revisão bibliográfica de Sistemas SCADA e Tecnologias IoT

Este capítulo é fundamental para o desenvolvimento do presente projeto, pois assenta numa pesquisa detalhada sobre as tecnologias de supervisão existentes atualmente no mercado. Também recorre a outras dissertações desenvolvidas nesta área, dando oportunidade ao autor da presente dissertação de conhecer e aprender metodologias e abordagens distintas e dessa forma enriquecer o projeto.

3.1 Outras Dissertações

3.1.1 Monitorização e controlo remoto de sistemas de rega agrícola

Nesta dissertação de mestrado [4] foi desenvolvido um Sistema de Monitorização e Controlo de Rega. Esta dissertação foi motivada pelo facto de não existirem sistemas de rega automáticos deste género de baixo custo, eficientes e que não exijam mão-de-obra especializada. A sua dissertação consiste num sistema dotado de possibilidade de monitorização e controlo remoto de um sistema de irrigação. Como se pode observar na Figura 3.1, o trabalho desenvolvido era composto por um dispositivo *Master*, que desempenha um papel de servidor encarregue de guardar informações relativas aos horários de rega, criação páginas *web* e gestão da base de dados, definindo os valores máximos e mínimos das variáveis de rega a controlar. O sistema de retransmissão de dados é efetuado pelo *Master* de cada campo de cultivo que funciona, também, como um ponto de ligação à *internet* (*Access Point*).

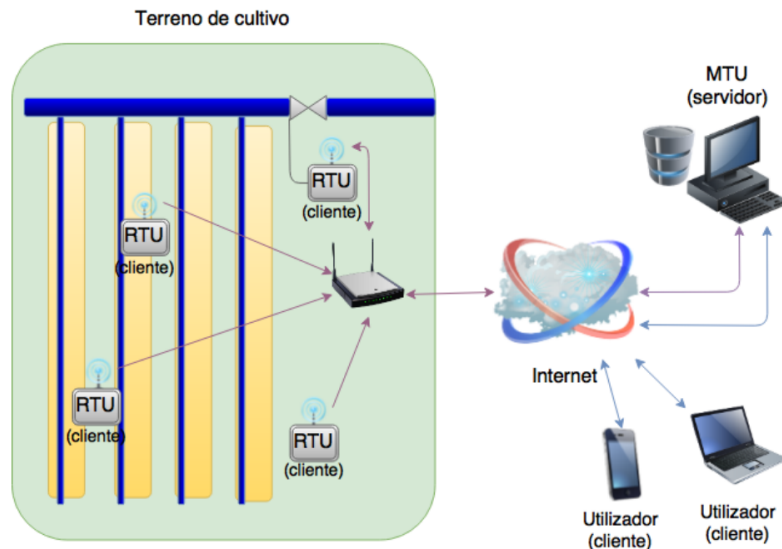


Figura 3.1: Arquitetura proposta na dissertação [4].

Por fim, o sistema é ainda composto por módulos de sensores (temperatura e humidade) e atuadores (para atuar as válvulas de rega) responsáveis pela aquisição contínua de dados e atuação em válvulas de rega, respetivamente. Os protocolos de comunicação implementados foram os seguintes:

- Modbus RTU TCP/IP ou impulsos elétricos entre os sensores e os autómatos de cada campo (*Slave*);
- HTTP entre os autómatos de cada campo e o servidor (*Master*);
- ODBC - um padrão que define um conjunto de interfaces para comunicação com bases de dados recorrendo a linguagens como C++, Java, Visual Basic [5] - entre o servidor e a base de dados.

A Figura 3.2 mostra o resultado final da arquitetura do sistema implementado. No terreno os módulos sensores foram instalados em locais em que os agricultores necessitam de recolher informação sobre a humidade e temperatura do ar e do solo. O módulo atuador foi instalado na linha de rega principal. Periodicamente os módulos comunicavam com a unidade mestre de forma a atualizar o estado do terreno e verificar se é necessário iniciar um ciclo de rega. Por outro lado, a partir de qualquer localização com acesso à *internet*, o agricultor pode observar o estado de um terreno à escolha e alterar o seu horário de rega.

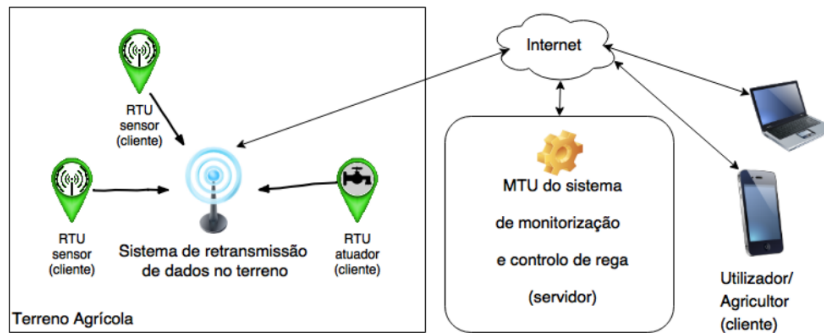


Figura 3.2: Esboço do funcionamento da solução implementada [4].

3.1.2 Proposta de uma solução SCADA para a Manutenção Preditiva

Nesta dissertação de mestrado [3], foi desenvolvido um Sistema de Monitorização SCADA para Manutenção Preditiva.

O autor desta dissertação pretendia com ela interligar os níveis de gestão mencionados na Figura 3.3, para facilitar o acesso à informação de redes industriais a partir do "chão de fábrica" (*Shop Floor*), nomeadamente sensores, atuadores, HMI, passando pelos dispositivos de controlo e supervisão até à gestão da produção. Esta solução pretendia integrar os respetivos níveis com o intuito de tornar a manutenção mais eficaz e com capacidade de previsão de falhas nos equipamentos.

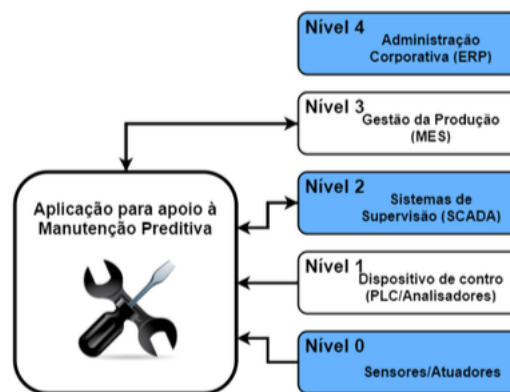


Figura 3.3: Representação da Solução proposta [3].

A Figura 3.4 é um esquema representativo da arquitetura da solução implementada.

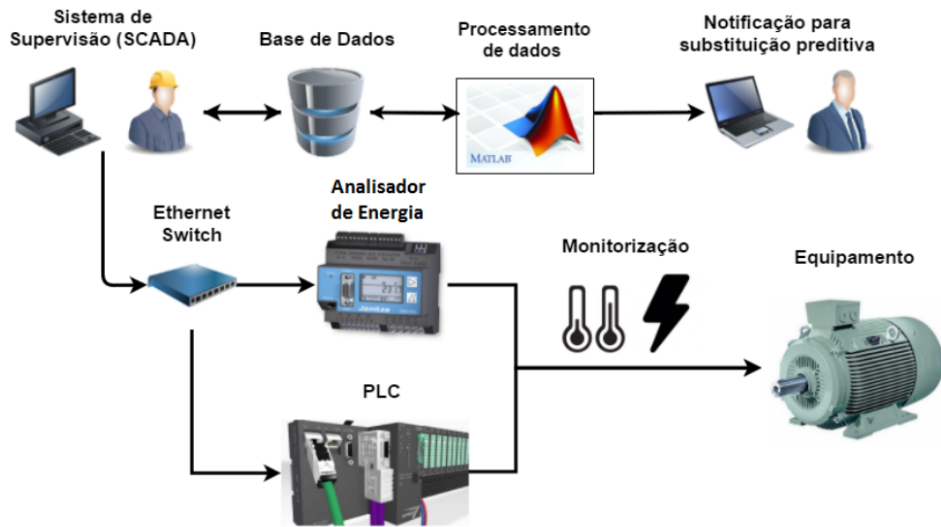


Figura 3.4: Arquitetura geral da solução proposta [3].

O trabalho começou com o desenvolvimento de pequenas aplicações SCADA recorrendo ao *software* Movicon que permite comunicações usando diversos protocolos de comunicação como TCP/IP, Siemens S7 TCP, IEC870, IEC850, Ethernet/IP entre outros. Seguiu-se a escolha do equipamento, um motor elétrico assíncrono trifásico para a realização dos testes de manutenção: testes térmicos (através de sensores de temperatura ligados ao autómato *VIPA Slio 015*) e elétricos (através do analisador de energia *Janitza UMG 604* da Figura 3.4), onde se adquiriram dados como intensidade de corrente e tensão, para serem tratados por um algoritmo em Matlab baseado em Redes Neurais e fazer assim a previsão do comportamento do motor.

3.2 Sistemas SCADA

Os sistemas SCADA (acrónimo para *Supervisory Control and Data Acquisition*) são utilizados para monitorizar e controlar diversos equipamentos com diferentes fins: gestão de matéria-prima, controlo de estrangulamentos, comunicações, desperdícios, entre outros. A lógica de um sistema consiste em reunir informação, transferindo-a para o repositório principal de uma empresa, por exemplo o seu ERP - *software* de gestão de processos de negócio que gere e integra as os recursos financeiros, cadeias de abastecimento, operações, relatórios, fabrico e recursos humanos de uma empresa [6] - fazendo a sua análise e controlo, mostrando a informação recolhida de uma forma estruturada e de simples interpretação. No início, estes sistemas permitiam informar periodicamente o estado do processo industrial, monitorizando sinais representativos de medidas e estados de dispositivos, através de um painel de lâmpadas e indicadores [7].

Com a perceção da sua utilidade e o seu contínuo progresso, estes sistemas começaram a abranger aplicações cada vez mais diversificadas, estando presentes em diversas áreas como: a indústria de celulose, a indústria petrolífera, a indústria têxtil, a indústria metalúrgica, a indústria automóvel, a indústria electrónica, entre outras [8]. A Figura 3.5 mostra os níveis de processo de um sistema de integração de processos. No nível cinco

encontra-se a administração dos recursos da empresa, nomeadamente a gestão de vendas e gestão financeira. No nível 4 encontra-se o planeamento e o controlo da produção, realizado pela gestão da cadeia logística. Ambos os níveis dependem das informações recolhidas e armazenadas no repositório de dados do sistema SCADA, que estão relacionadas com os processos inerentes aos níveis um e dois, compostos por elementos de controlo automático das atividades da empresa, como PLC's, máquinas e atuadores e os dispositivos de entrada de sinais, como sensores [9]. Estes sistemas possibilitam a integração entre homem e máquina, permitindo ao utilizador o acesso a todas as informações do processo, assim como a possibilidade de paragens de emergência e rearme do equipamento.

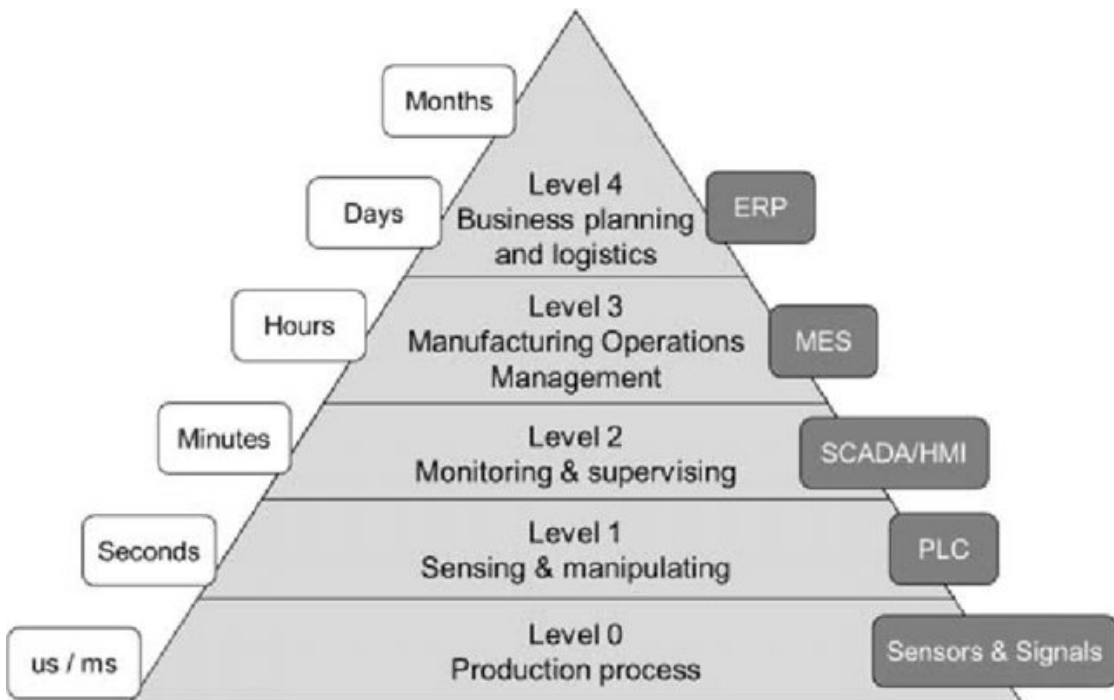


Figura 3.5: Imagem ilustrativa das camadas que compõem um sistema SCADA segundo o modelo ISA95 [10].

Os sistemas SCADA melhoram a eficiência de qualquer processo onde sejam aplicados, disponibilizando em tempo real o estado de qualquer processo, por meio de um conjunto de gráficos e relatórios, que permitem a tomada de decisões apropriadas, quer automaticamente, quer por iniciativa do operador, contribuindo desta forma para um aumento da segurança nos processos e diminuição de custos [8]. São o topo de uma arquitetura que se desenvolve desde os processos propriamente ditos até ao utilizador em qualquer lugar, sendo compostos por diversas partes que incluem normalmente *hardware* de entrada e de saída (dispositivos I/O), controladores, redes de comunicação, interface gráfica, comunicações, equipamentos e *software*.

3.2.1 Soluções Comerciais

Atualmente, existem diversos *softwares* de supervisão que se caracterizam pela vasta componente gráfica e recursos disponíveis. Grande parte destes contém uma biblioteca de protocolos de comunicação para que seja possível realizar controlo de qualquer tipo de equipamentos existentes. Os *softwares* mais conhecidos são:

- **Siemens Simatic WinCC:** Simatic WinCC é uma aplicação desenvolvida pela Siemens para visualização de sistemas, com funções para controlo e automatização de processos. Com o Simatic WinCC são criados processos de visualização perfeitos com funcionalidades completas em controlo e monitorização para todos os segmentos da indústria. A Figura 3.6 mostra um exemplo da aparência de um programa concebido neste *software*.

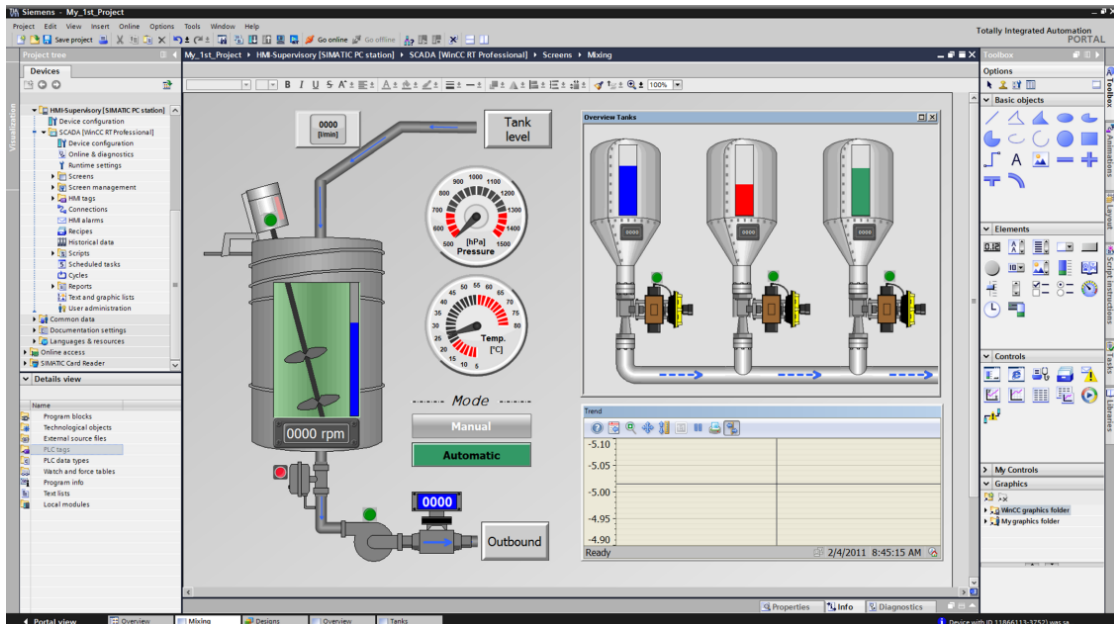


Figura 3.6: Imagem ilustrativa do *software* Siemens Simatic WinCC [11].

- **Movicon:** *Monitoring, Vision and Control* é um *software* concebido para criar interfaces. O Movicon, desenvolvido pela Progea, permite uma fácil comunicação com o processo com o qual se pretende interagir. Os componentes utilizados na gestão do processo, tais como PLC's, sensores, atuadores, robôs, etc, constituem o sistema onde o Movicon está integrado, comunicando entre si seguindo as normas dos protocolos de comunicação específicos. O intuito desta aplicação consiste em monitorizar os processos, usando animações, *synoptic Windows*, ou controlar o processo através da utilização de *dialog boxes*, bem como uma vasta gama de outras funções que permitem um controlo completo do processo fabril. A Figura 3.7 é o exemplo de um programa em execução desenvolvido no Movicon.



Figura 3.7: Imagem ilustrativa do *Software Movicon* [12].

3.3 PLC - *Programmable Logic Controller*

Um PLC (ou autômato) é um controlador preparado para desempenhar funções de controlo e automação de máquinas ou processos industriais, que funcionam a partir de um programa neles instalado. Com alimentação, processador, entradas e saídas analógicas ou digitais e sistema operativo, um PLC usa uma memória programável para armazenar instruções e para implementar funções de sequenciamento e aritmética para controlar máquinas e processos associados. Os autômatos adquirem continuamente os valores de entrada de vários dispositivos de entrada e ativa a(s) saída(s) correspondente, dependendo do programa em execução. É um aparelho concebido especificamente para funcionar em ambientes industriais exigentes: como temperaturas elevadas, humidade, peiras, etc. Desempenham um papel crucial no campo da automação e estão presentes em grande parte dos sistemas SCADA.



Figura 3.8: Exemplo de um PLC da Siemens [13].

3.4 Variadores de Frequência

Um variador de frequência [14] é um aparelho semelhante aos da Figura 3.9. Um variador controla a frequência da potência fornecida a um motor AC para controlar a velocidade de rotação (normalmente dada pelo número de revoluções por minuto - **RPM**) e também a aceleração do veio acoplado. Sem um variador, um motor AC operaria na sua velocidade nominal logo que se ligasse a sua fonte de alimentação. Assim, um variador tem como objetivo o ajuste da velocidade e aceleração de um motor AC.



Figura 3.9: Imagem representativa de uma gama de variadores de frequência Delta [15].

3.4.1 Conceitos Técnicos Utilizados

Esta secção pretende descrever alguns conceitos que são discutidos e utilizados posteriormente neste projeto.

- **Tensão de Saída:** a tensão aos terminais de um variador;
- **Corrente de Saída:** intensidade de corrente que flui aos terminais de um variador;
- **Frequência de Saída:** frequência da tensão aos terminais de um variador.

3.5 Microcontroladores

Com a introdução do conceito da Indústria 4.0, veio a necessidade de comunicação entre sistemas de produção no chão de fábrica e o mundo virtual, uma lacuna que empresas como a Espressif Systems vieram preencher, em que os seus dispositivos se destacam pela sua velocidade e custos reduzidos. A Espressif Systems produz microcontroladores, idênticos aos da Figura 3.10, estes são pequenos dispositivos (idênticos aos Arduinos e também compatíveis com o *software* ArduinoIDE) mais baratos que os tradicionais PLC's, mais simples, flexíveis e versáteis, ideais para aplicações IoT. São dotados de capacidades de comunicação via Wi-Fi e *bluetooth* para que qualquer utilizador os possa utilizar para a concretização dos mais variados tipos de projetos.



Figura 3.10: Módulo ESP32 [16].

3.6 IoT - *Internet Of Things*

A Internet das Coisas IoT está a transformar a maneira como as organizações contactam com os clientes, fornecedores, sócios e outros, representando uma mudança e oportunidade significativas em qualquer indústria. O avanço na tecnologia das comunicações abriu portas para a integração da tecnologia operacional tradicional (OT - *Operational Technology*) de uma empresa com o sistema de tecnologia da informação (IT - *Information Technology*) da mesma, contribuindo para uma maior flexibilidade face aos requisitos dos clientes [17].

Cada sistema IoT é diferente, no entanto, a arquitetura do sistema é transversal às suas diversas aplicações. Resumidamente, consiste num objeto ligado à rede que, via sensores, reúne informações específicas sobre o ambiente que o rodeia que são depois passadas aos *gateways* (que atuam como "intermediário" entre os dispositivos e redes com diferentes protocolos de comunicação). A fase seguinte é a aquisição, em que se reúne uma grande quantidade de informação não processada, convertendo-a num fluxo digital, filtrado e pré-processado, pronto a ser analisado. A terceira e última fase é

representada por *edge devices* (equipamentos que servem como ponto de entrada nas redes de comunicação de uma empresa) responsáveis por um processamento e amostragem de dados processados. Todos estes dados são posteriormente guardados numa base de dados que pode ser local (servidor local) ou numa *cloud*. A arquitetura é explicada com maior detalhe na Secção 3.6.1.

3.6.1 Arquitetura IoT

A tecnologia IoT possibilita a ligação de objetos do dia-a-dia, como: eletrodomésticos, carros, máquinas de café, termostatos, à *internet* através de dispositivos para o efeito, procurando desta forma uma simbiose entre pessoas, processos e objetos.

Através de computação de baixo custo, *cloud*, *big data*, análise e tecnologias móveis, os objetos físicos podem partilhar e armazenar informação com uma intervenção humana mínima. Esta realidade permite uma comunicação constante, onde os sistemas digitais podem registar, monitorizar e ajustar cada interação entre objetos ligados. Um exemplo de uma solução conceptual comum, esquematizada na Figura 3.11 é caracterizada por vários dispositivos que usam um *gateway* (atua como um ponto de acesso para sensores e atuadores e gere as comunicações inter-dispositivos e com uma rede externa e "traduz" de forma bidirecional os dados trocados) para comunicar entre si numa rede e com um servidor que execute uma plataforma IoT que ajuda a integrar todos os dados existentes [18].

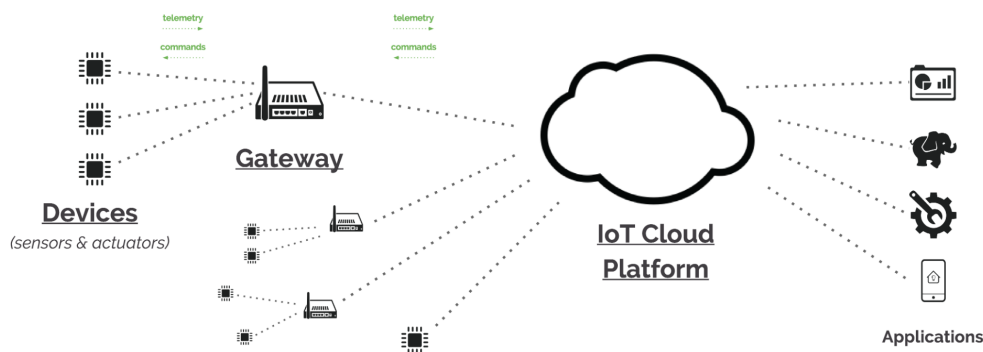


Figura 3.11: Arquitetura de uma implementação IoT [19].

3.6.2 Plataformas IoT

Uma plataforma IoT é uma tecnologia que permite a provisão, gestão e automação de dispositivos ligados dentro do universo da Internet das Coisas. Pode-se considerar um *middleware* no que toca à forma sobre como se liga os dispositivos remotos às aplicações do utilizador e gere todas as interações entre o *hardware* e as camadas da aplicação. Para programadores, uma plataforma IoT fornece um conjunto de recursos prontos a ser utilizados que aceleram o desenvolvimento de aplicações.

3.6.2.1 Microsoft Azure IoT Suite

A Microsoft Azure [20] é uma ferramenta de computação na *cloud* que fornece de serviços de análise, armazenamento e comunicações. Veja-se a Figura 3.12.

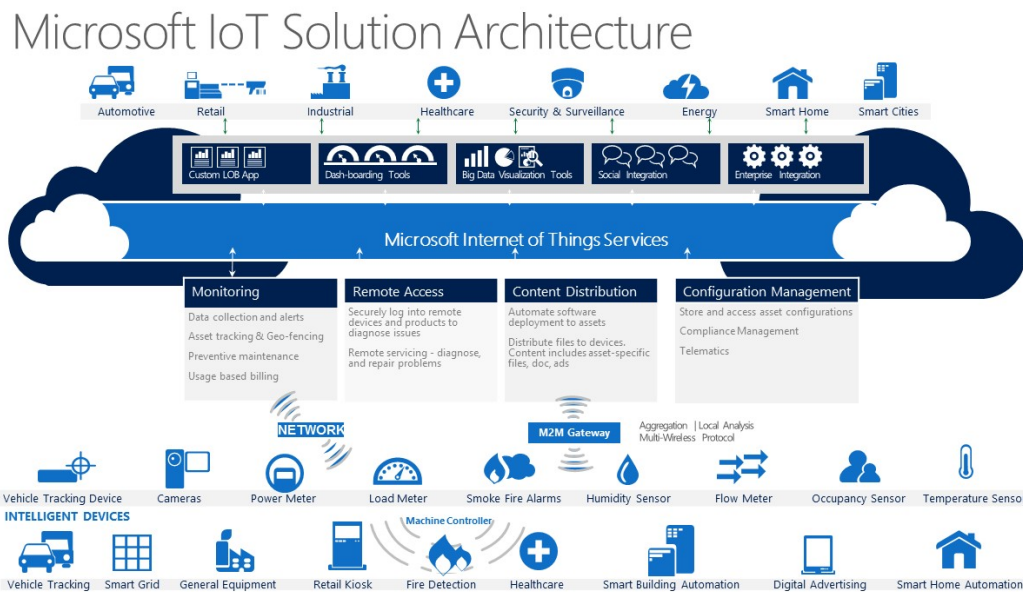


Figura 3.12: Arquitetura do serviço Microsoft Azure IoT [21].

Uma das soluções mais interessantes da Azure IoT Suite é a monitorização remota, que simplifica a monitorização dos dados obtidos pelos dispositivos, a pesquisa de características específicas nos dados adquiridos e a execução de processos. Com base nesta solução, são criadas instâncias dos seguintes serviços da Azure:

- **IoT Hub:** é a peça central de uma solução IoT da Azure. Serve como *cloud gateway* (serve de "intermediário" que traduz a informação trocada de forma bidirecional, não especifica nenhum protocolo de comunicação) para estabelecer a ligação com uma grande quantidade de dispositivos, assim como para processar essa quantidade de dados. Suporta protocolos de comunicação como o **HTTP** e o **MQTT**;
- **Stream Analytics:** é um serviço de processamento de dados em tempo real que deteta incongruências e arquiva dados dos dispositivos IoT. Os resultados podem ser partilhados com outros serviços, tais como *Event Hubs*, *Power BI* ou serviços de armazenamento;
- **Blob Storage:** é um local para armazenamento dos dados que os dispositivos recolhem e enviam para a *cloud*;
- **DocumentDB:** gere o estado dos dispositivos, tais como configurações, estado e propriedades de segurança;
- **Web App:** encarregue de alojar uma aplicação *web* que analisa o painel de dados do dispositivo. Configura e envia comandos para os dispositivos, cria e atualiza a lógica de negócios e executa ações orientadas a eventos, como o envio de alarmes quando determinados limites forem atingidos;
- **Logic App:** ajuda a integrar a solução IoT na infraestrutura existente e automatizar o processo de fluxo de trabalho. Este serviço permite que a equipa de

desenvolvimento projete fluxos de trabalho que se iniciam com um *trigger* e executam uma série de etapas.

3.6.2.2 Siemens MindSphere

O Siemens MindSphere [22] é uma plataforma IoT aberta e baseada na *cloud* da Siemens que interliga os seus produtos, fábricas, sistemas e máquinas, permitindo o aproveitamento dos dados gerados pela Internet das Coisas (IoT), veja-se a Figura 3.13. Este guarda todo o tipo de informação associada a uma indústria e disponibiliza-a em aplicações, as MindApps, dando a liberdade aos clientes de tomarem decisões baseadas em valores reais. Esta pode ser usada para otimização de produtos, no decorrer da produção, em processos de fabrico, entre outras aplicações que possam beneficiar dos dados recolhidos.

O MindSphere é um sistema usado de forma recorrente no ramo da automação industrial e na gestão da frota de automóveis.

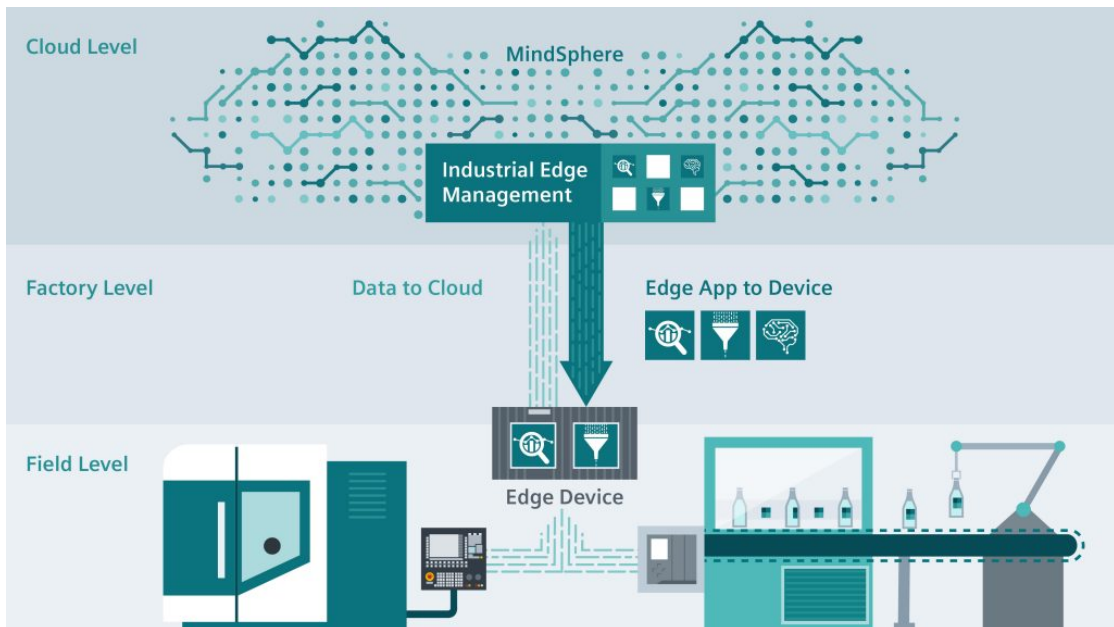


Figura 3.13: Arquitetura do serviço Siemens MindSphere [23].

3.6.2.3 Bosch IoT Suite

A Bosch IoT Suite [24] é a plataforma IoT da Bosch baseada em ferramentas *open source*. O seu núcleo é construído sobre os projetos do Eclipse IoT, que fornecem a tecnologia necessária para criar uma plataforma de nível comercial. Observe-se a Figura 3.14, para se perceber as interações que ocorrem entre todos os dispositivos que operam no seu conjunto para formar o Bosch IoT Suite.

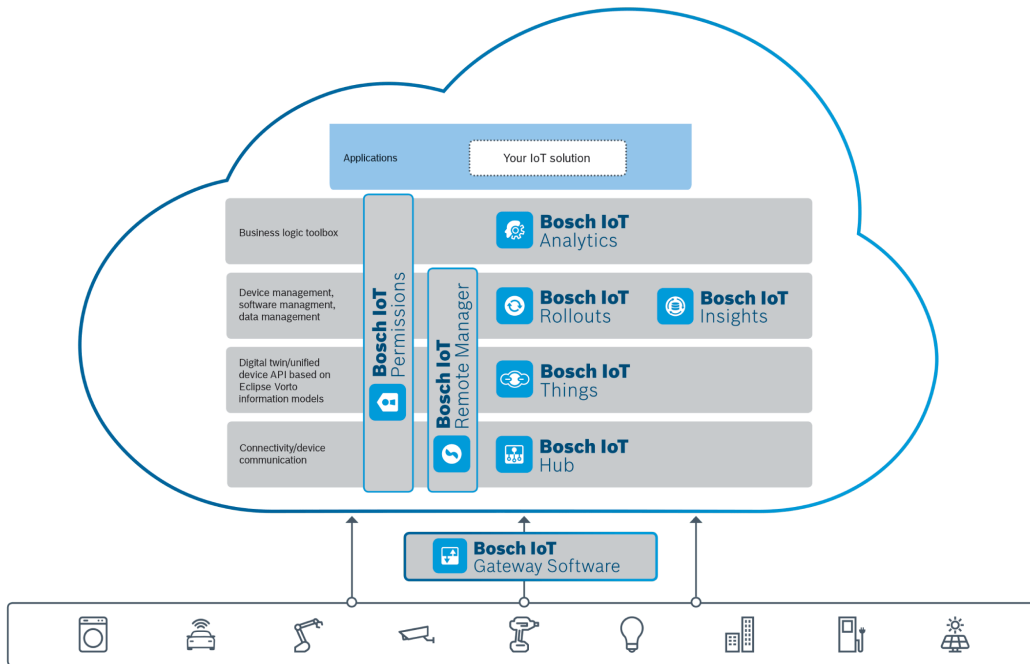


Figura 3.14: Arquitetura do serviço Bosch Suite IoT [25].

A partir desta plataforma a Bosch, os seus clientes e parceiros podem criar uma ampla variedade de soluções, serviços e projetos IoT, nomeadamente:

- **Eclipse Ditto:** é o projeto base onde os dispositivos IoT e os seus *digital-twins* se reúnem.
- **Eclipse hawkBit:** consiste numa solução para implementar atualizações de *software*. É a base do Bosch IoT Rollouts;
- **Eclipse Hono:** consiste em interfaces de serviço remoto às quais se pode ligar um grande número de dispositivos.
- **Eclipse Vorto:** permite descrever os recursos abstratos e a funcionalidade dos dispositivos como *Information Models*. A Bosch IoT Suite usa este modelo para normalizar os dados adquiridos pelos dispositivos na utilização de APIs.

Observe-se a Figura 3.14, para se perceber as interações que ocorrem entre todos os dispositivos que operam no seu conjunto para formar o Bosch IoT Suite. A partir desta plataforma a Bosch, os seus clientes e parceiros podem criar uma ampla variedade de soluções, serviços e projetos IoT.

3.7 *Softwares e Linguagens de Desenvolvimento web*

- **Arduino IDE:** é uma plataforma aberta (*open source*) que possui uma linguagem própria com base em C. Existem inúmeras bibliotecas livres que aceleram o desenvolvimento de produto para a resolução de problemas mundanos. Uma vez que é aberto a uma comunidade *online* C/C++, e disponibiliza ainda um ambiente integrado de desenvolvimento (IDE - *Integrated Development Environment*) para facilitar a programação de microcontroladores compatíveis [26].
- **CSS:** (*Cascading Style Sheets*), é uma linguagem para adicionar um estilo (cores, tipo de letra, espaçamento) a documentos *web* [27].
- **HTML:** *HyperText Markup Language*, é a linguagem utilizada para o desenvolvimento de páginas *web*. Foi criada por Tim Berners-Lee e formalizada em 1990. É um documento composto por *tags* que é interpretado pelos navegadores *web* de forma a criar no ecrã uma página legível e organizada. Atualmente é utilizada a versão HTML5 que é comumente utilizada em conjunto com **Javascript** e **CSS** [28].
- **HTTP:** *Hypertext Transfer Protocol* é a base para a comunicação de dados, sendo usado desde 1990 na World-Wide Web. Este protocolo funciona com base no modelo de solicitação e resposta. Um cliente envia uma solicitação ao servidor, composta pelo tipo de solicitação, URI (*Uniform Resource Identifier*) e a versão do protocolo. A solicitação pode conter ainda informações do cliente e um corpo com conteúdo. Por sua vez, o servidor responde enviando uma *status line* composta pela versão do protocolo e o código de sucesso ou de erro. A resposta pode ainda ser constituída por informações do servidor e pelo conteúdo solicitado pelo cliente [29].
- **JavaScript:** é uma linguagem de programação interpretada estruturada de alto nível. Juntamente com HTML e CSS, o JavaScript é uma das três principais tecnologias da World Wide Web. Permite o desenvolvimento páginas da Web interativas e é assim uma parte fundamental de aplicações *web*. A grande maioria dos sites usa, e todos os principais navegadores têm um mecanismo JavaScript dedicado para a sua execução [30]. Depois de enviada a resposta a ligação é terminada.
- **phpMyAdmin :** é um aplicação *web* livre e de código aberto desenvolvido em PHP para administração de uma base de dados MySQL pela *internet*. A partir deste sistema é possível criar e remover bases de dados, criar, remover e alterar tabelas, inserir, remover e editar campos, executar códigos SQL e manipular campos chaves. O phpMyAdmin é muito utilizado por programadores que, frequentemente, necessitam manipular bases de dados [31].

Capítulo 4

Solução Proposta

4.1 Descrição da Solução

Neste capítulo é idealizada uma solução conceptual para o desafio proposto de monitorização e controlo que dê resposta às necessidades da equipa de manutenção da AviSabor, S.A.

A Figura 4.1 representa a arquitetura do funcionamento da solução conceptual. Mostra como os dispositivos interagem uns com outros, segundo que protocolos e com que finalidade. Começando pela camada inferior, o Sistema de Aquisição (Secção 5.3) extrai os dados de frequência, intensidade de corrente e tensão contidos em registos específicos do variador de frequência a partir do módulo IoT (ESP32). Estes dados seguem via **MQTT** para o servidor (representado na camada do meio), mais concretamente para o ambiente de programação Node-RED, no qual são processados e armazenados numa base de dados MySQL. O utilizador, veja-se a camada superior, tem acesso a estes dados através de uma página *web* alojada no Node-RED, desenvolvida com a *framework bootstrap vue*. A camada do meio é ainda composta por um Modo Automático de Regulação de Frequência na qual se pretende estudar o desempenho do sistema em funcionamento autónomo, recorrendo a um *input* que é o valor analógico de um potenciómetro (para simular um sensor de pressão). Cada parte do sistema é explicada com maior detalhe nas Secções que se seguem.

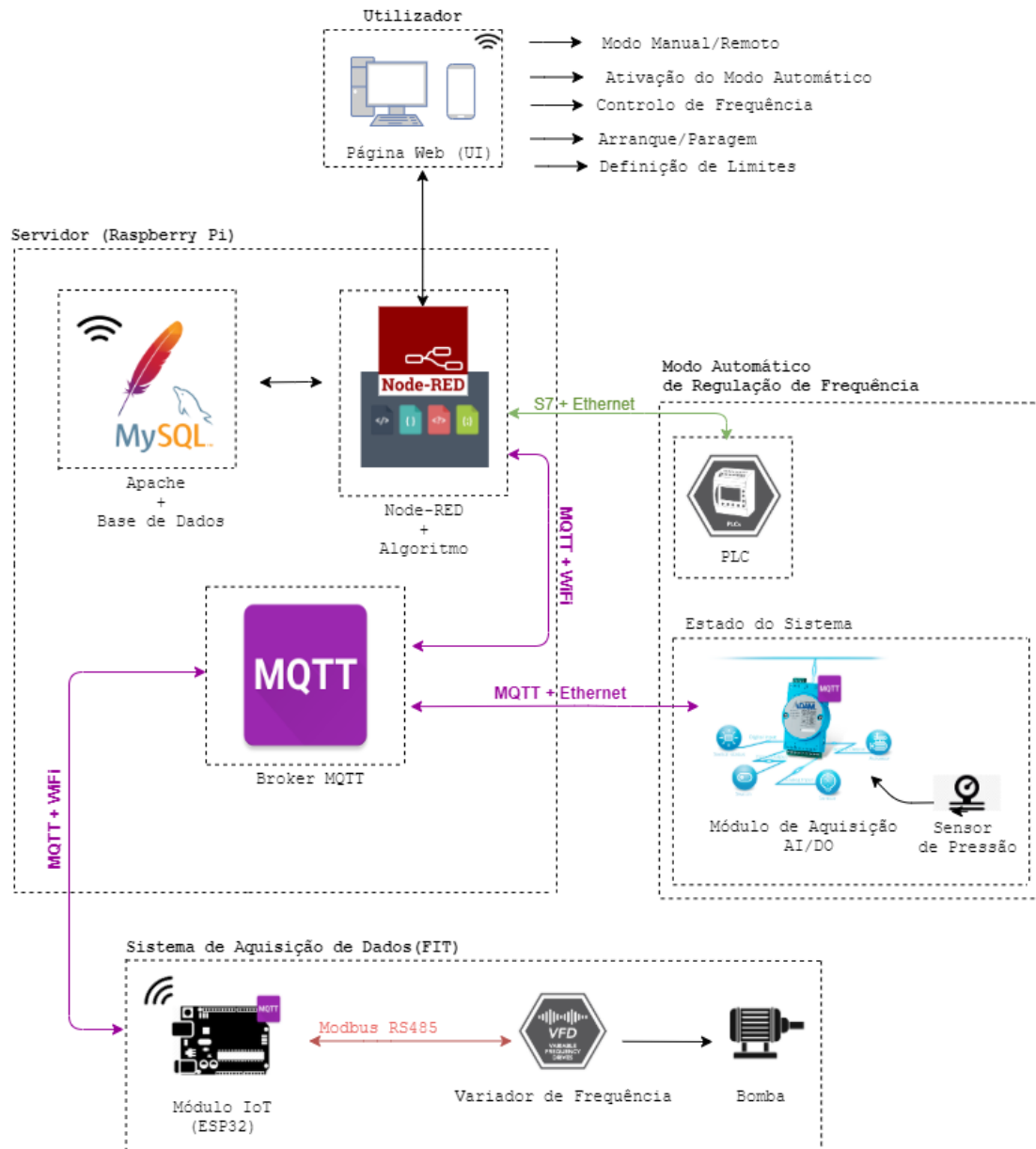


Figura 4.1: Representação esquemática da solução proposta.

4.2 Abordagem Inicial para o Sistema de Aquisição de Dados

Em ambiente industrial há um conjunto de variáveis que podem interferir no funcionamento de qualquer aparelho e portanto no sistema do qual ele faz parte, uma supervisão e controlo permanente permitem uma manutenção mais eficaz, com menores tempos de reação no processo produtivo e facilita a resolução atempada de quaisquer problemas que possam surgir, *troubleshooting*.

A solução idealizada para este projeto assenta nos mesmos princípios da solução implementada na dissertação [4], que propõe um sistema de supervisão e controlo. No caso das bombas, dados como o caudal, a pressão de saída, o nível dos reservatórios, são dispostos num painel HMI da Siemens, ligado a um *switch Scalance XB005* que gere as comunicações entre um PLC S7-1200 da mesma marca e variadores de frequência da Delta.

Inicialmente, a solução passava pela tentativa de interseção dos sinais que chegam ao autómato usando o *software Wireshark*, um programa que analisa o tráfego de rede, e o organiza por protocolos, permitindo controlar a entrada e saída de dados do computador, segundo diversos protocolos, ou da rede à qual o computador está ligado [32]. Outra solução seria o desenvolvimento de um programa para um microcontrolador e, ligando-o ao barramento de dispositivos, obter os dados pretendidos, armazená-los num servidor e mostrá-los numa página *web*. O *hardware* da empresa com que se pretendia trabalhar inicialmente seria:

1. PLC: Siemens S7-1200 - Imagem (a) da Figura 4.2;
2. *Switch*: Siemens Scalance XB005 - Imagem (b) da Figura 4.2;
3. HMI: Siemens KTP400 Basic - Imagem (c) da Figura 4.2;
4. Variador de Frequência: Delta C2000 - Imagem (d) da Figura 4.2.

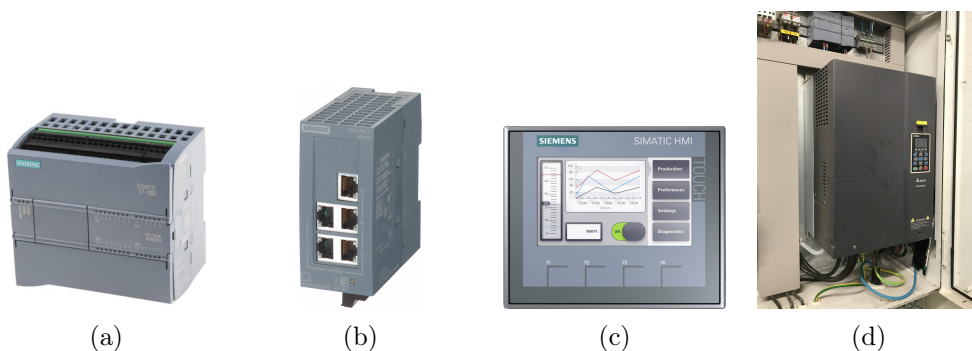


Figura 4.2: *Hardware* da empresa: (a) PLC Siemens S7-1200, (b) Switch Siemens Scalance XB005, (c) Siemens KTP400, (d) Variador de Frequência - Delta C2000.

No entanto, chegou-se à conclusão que para avançar com o projeto e se conseguir simular o problema proposto, dever-se-ia utilizar material idêntico disponível em labo-

ratório (explicado detalhadamente na Secção 5.5), pelo que se substituiu o equipamento supramencionado por:

1. PLC: Siemens ET200S - Imagem (b) da Figura 5.20;
2. *Router*: TP-LINK WR-841N - Imagem (g) da Figura 5.20;
3. Variador de Frequência: Mitsubishi FR-D720S - Imagem (c) da Figura 5.20.

Omitiu-se o painel HMI uma vez que este pode ser facilmente substituído por uma página *web online*.

A evolução tecnológica tem seguido uma tendência cada vez mais marcante, a IoT, cujo objetivo consiste em dotar os objetos mundanos de capacidade de processamento e comunicação. Os microcontroladores (μC) vieram responder a esta necessidade por serem dispositivos de pequenas dimensões com entradas e saídas digitais e com possibilidade de comunicação *wireless*.

Na Figura 4.1 da arquitetura da solução proposta está omitido o *router*. No entanto, todos os aparelhos estão interligados a uma rede local (criada pelo *router*) para que possam comunicar entre si, sempre que necessário, sem recorrer a ligações físicas. O sistema a desenvolver deverá apresentar capacidades para:

- aquisição e interpretação de mensagens série Modbus-RTU-RS-485 do variador de frequência do sistema de bombeamento;
- armazenamento de dados na *web* dos valores de frequência, intensidade de corrente, tensão e limites que fazem disparar os alarmes;
- mostrar os dados recolhidos numa interface gráfica multi-plataforma para o utilizador, baseada em linguagens *web* ;
- envio de alarmes via *e-mail* para os técnicos no caso de irregularidades no funcionamento dos dispositivos.

4.3 Sistema de Aquisição de Dados (Frequência, Intensidade de Corrente, Tensão)

O Sistema de Aquisição de Dados da Figura 4.3 deve ser capaz de comunicar com o variador de frequência por forma a obter os valores de frequência de comando, intensidade de corrente e tensão debitada armazenados nos registos internos do mesmo, enviando, por sua vez, esses dados para um servidor. Toda a programação deste sistema é escrita na memória do microcontrolador cujo funcionamento se rege por um algoritmo concebido para o efeito.



Figura 4.3: Arquitetura conceitual do Sistema de Aquisição de Dados.

4.3.1 Comunicação - Modbus-RTU-RS-485 [1]

A Figura 4.4 representa as interação física que ocorre a este nível.

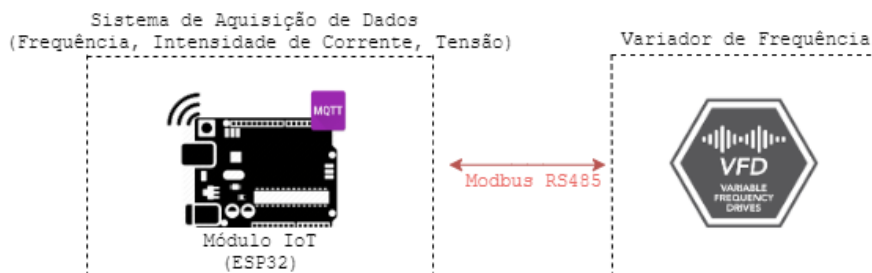


Figura 4.4: Comunicação entre o microcontrolador e o variador.

O protocolo Modbus foi proposto em 1979 pela Modicon. Caracteriza-se por não definir um meio físico de transmissão da informação, mas sim a forma como a informação entre *Master* e *Slave* é trocada, ou seja, este protocolo define como as mensagens são trocadas pelos equipamentos ligados no barramento.

Este protocolo apresenta ainda três formas de envio de mensagens: RTU, ASCII e TCP. A nível industrial é muito comum a utilização do padrão RS-485 para definir a estrutura física das mensagens série. Neste projeto é utilizado somente Modbus-RTU, uma vez que é protocolo segundo o qual o variador comunica, veja-se a Figura 4.4.

4.3.1.1 Meio de transmissão

A norma RS-485 enuncia que devem ser utilizados, no mínimo, um par de fios entrelaçados para uma comunicação do tipo *Half-Duplex* ou dois pares para uma comunicação *Full-Duplex*. No tipo *Half-Duplex*, existe apenas um equipamento a enviar dados num determinado instante, enquanto que no segundo, *Full-Duplex* podem ser utilizados múltiplos equipamentos para enviar dados ao mesmo tempo. O tipo de comunicação mais frequente é a *Half-Duplex*, recorrendo a três fios (A, B e GND) que podem estar ligados até trinta e dois equipamentos num barramento. Esta norma estabelece que a velocidade de comunicação que pode ser usada pode atingir a taxa de transferência máxima de 10

Mbits/s para cerca de 15 m, sendo que o comprimento máximo de um barramento é 1200 m (4000 ft, seguindo a linha azul da Figura 4.5).

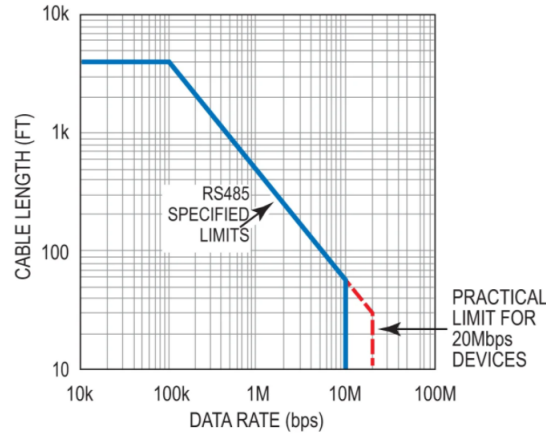


Figura 4.5: Relação entre o comprimento do cabo e a velocidade de comunicação RS-485 [33].

4.3.1.2 Tensões

Os equipamentos devem aplicar uma tensão positiva para enviar um *bit* com o valor lógico "0" e uma tensão negativa para enviar um *bit* com o valor lógico "1". O valor de tensão deve pertencer ao intervalo entre +1,5 e +6 Volt. Considera-se que um emissor envia um *bit* com o valor lógico "1" quando se aplica uma tensão no condutor U+ inferior à tensão que aplica no condutor U- pertencente ao intervalo entre -1,5 e -6 volt. Devido à atenuação de sinal, a diferença de potencial entre os condutores pode diminuir, no entanto, o seu módulo não deve ser inferior a 1,5V.

A norma RS-485 determina que a diferença entre a tensão do fio A (V_A) e a tensão do fio B (V_B) não deve exceder os 200 mV quando não existe transmissão de informação, para que o barramento possa tolerar ruído e o recetor ignorar o sinal.

4.3.1.3 Palavras Séries

Na Tabela 4.1 descreve o potencial da linha de transmissão de dados nas várias situações que acontecem.

Tabela 4.1: Potencial da linha com e sem atividade.

Estado	Potencial
<i>Idle</i>	Não há atividade na linha, a diferença de potencial é de 200 mV.
<i>Start Bit</i>	A tensão do condutor U+ é inferior à tensão do condutor U-.
<i>Bit a 1</i>	A tensão do condutor U+ é inferior à tensão do condutor U-.
<i>Bit a 0</i>	A tensão do condutor U+ é superior à tensão do condutor U-.
<i>Stop Bit</i>	A tensão do condutor U+ é superior à tensão do condutor U-.

A Figura 4.6 mostra a diferença de potencial entre os condutores **A** e **B** no envio de uma mensagem série.

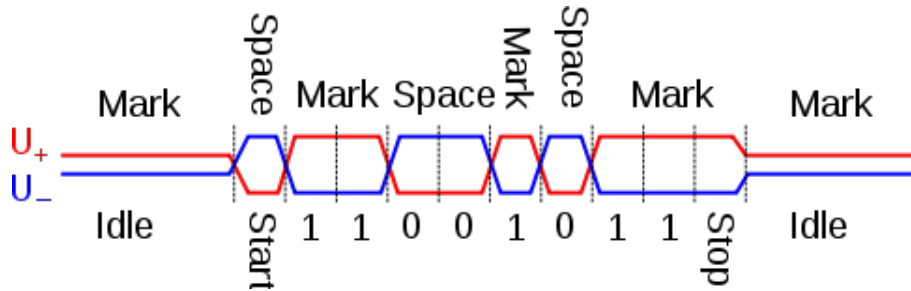


Figura 4.6: Tensões das linhas A e B no envio de um *byte* [34].

Na Figura 4.7 pode-se ver a estrutura das mensagens série trocadas: o primeiro *byte* corresponde à identificação do *slave* para o qual a mensagem é enviada, o segundo *byte* corresponde à função da mensagem (leitura - 03_H e escrita - 06_H) e os restantes contêm os dados a ser transmitidos e os últimos dois *bytes* correspondem ao *CRC* (*Cyclic Redundancy Check*) ou Verificação Cíclica de Redundância, para que os equipamentos saibam se receberam a mensagem sem erros. Este *CRC* é calculado usando os restantes *bytes* da mensagem.

Endereço do Slave	Função	Dados		CRC	
		L	H	L	H
8 bits	8 bits	8 bits	8 bits	8 bits	8 bits

Figura 4.7: Estrutura de uma resposta ao envio de uma mensagem série.

Seguindo um exemplo do manual de um variador Mitsubishi, para ler o valor da frequência de comando (endereço do registo - 000D_H e somente esse registo - 0001_H) com endereço de *slave* 1, deverá ser enviado o conteúdo da seguinte figura:

Endereço do Slave	Função	Endereço do Registo		Valor		CRC	
		H00	H0D	H00	H01	H15	HC9
H01	H03	H00	H0D	H00	H01	H15	HC9

Figura 4.8: Exemplo de leitura de um registo.

Seguindo outro exemplo do manual, para escrever um valor de 60 Hz (1770_H, valor hexadecimal) no registo 40014 (endereço do registo da frequência de comando - 000D_H) no endereço de *slave* 5, seria enviado o conteúdo da Figura 4.9:

Endereço do Slave	Função	Endereço do Registro		Valor		CRC	
H05	H06	H00	H0D	H17	H70	H17	H99

Figura 4.9: Exemplo de escrita de valor de frequência num registro.

4.3.1.4 Resistências

Resistências de Terminação

Para reduzir a distorção do sinal transmitido são utilizadas resistências na extremidade dos dois condutores do par entrelaçado (R_c e R_b), em que cada resistência liga um condutor ao outro.

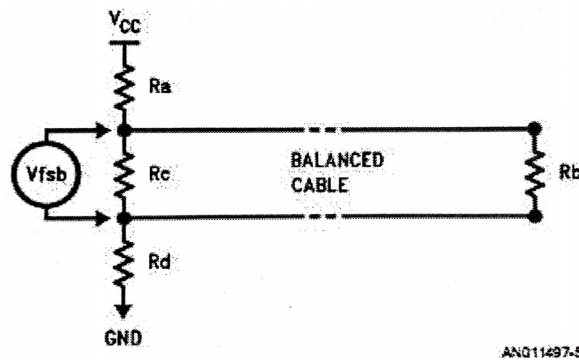


Figura 4.10: Resistências de terminação, *pull-up* e *pull-down* [1].

Resistências de *pull-up* e *pull-down*

Enquanto nenhum equipamento enviar dados os seus amplificadores operacionais de envio mantêm-se num estado de alta impedância, ou seja, tudo se passa como não estivessem eletricamente ligados ao par de condutores.

$$V_{R_c//R_b} = I \times (R_a//R_b) = 200mV \quad (4.1)$$

De acordo com a Lei de Ohm, pode-se calcular a corrente que atravessa estas resistências. Considerando que todos os equipamentos estão num estado de alta impedância, e assumindo uma tensão de alimentação V_{cc} igual a 5V, para que a diferença de potencial seja inferior a 200mV as resistências R_a e R_b devem ter um valor superior a 727Ω , por exemplo, cada uma delas deve valer 820Ω .

A corrente que deve passar no paralelo $R_a//R_b$ para que a tensão aos seus terminais seja igual a 200mV, é dada pela expressão:

$$I = \frac{200}{R_a//R_b} = \frac{0,2}{60} = 3,3mA \quad (4.2)$$

Em que $R_a = R_b = 120\Omega$ e $R_a//R_b = 60\Omega$, através da seguinte expressão:

$$R_{\text{eq}} = \frac{1}{\left(\frac{1}{R_1}\right) + \left(\frac{1}{R_2}\right) + \dots + \left(\frac{1}{R_n}\right)} \quad (4.3)$$

A tensão aos terminais da resistência *pull-up* V_{R_a} deve ser igual à tensão aos terminais da resistência de *pull-down* V_{R_d} e no seu conjunto a soma da tensão aos terminais das resistências de *pull-up* e *pull-down* e resistências de terminação tem de ser igual a V_{cc} . Veja-se as seguintes expressões:

$$V_{cc} = V_{R_a} + V_{R_b//R_c} + V_{R_d} \quad (4.4)$$

$$V_{R_a} = \frac{(V_{cc} + (V_{R_b//R_c}))}{2} = \frac{5 - 0,2}{2} = 2,4V \quad (4.5)$$

Para que a tensão aos terminais da resistência de *pull-up* seja igual a 2,4V, quando percorrida por uma corrente 3,3mA a percorre, o seu valor tem que ser igual a:

$$R_a = \frac{U}{I} = \frac{2,4}{0,0033} = 727\Omega \quad (4.6)$$

4.3.1.5 Tempos

Tempo de Envio de um *byte*

Cada *byte* de uma mensagem ModBus demora um tempo conhecido a ser enviado que depende da taxa de transferência. Para além dos *bits* de dados, é enviado ainda um *start bit*, um *bit* de paridade um *stop bit*. Assim o tempo de envio será dado pela seguinte equação:

$$T_{\text{byte}} = \frac{n_{\text{bits}} + 3}{T_{\text{Transferência}}} \quad (4.7)$$

Tempo de Espera entre *bytes*

Todos os *bytes* da mensagem têm de ser enviados consecutivamente, e preferencialmente sem tempo de espera entre eles. Se o tempo decorrido entre o envio de um *byte* e o *byte* seguinte exceder 1.5 vezes o tempo de envio, essa mensagem é ignorada. Por exemplo, com uma taxa de transferência de 9600 bps, o tempo máximo de espera é 1,71 ms.

$$T_{\text{Espera entre mensagens}} \leq 1,5 \times T_{\text{byte}} \leq 1,71ms \quad (4.8)$$

Tempo mínimo de espera entre mensagens

O protocolo preconiza que deve existir um tempo de silêncio igual ou superior a 3.5 vezes o tempo de envio de um *byte* Modbus. Com uma taxa de transferência de 9600bps o tempo mínimo de espera entre mensagens é 4 ms.

$$T_{\text{Espera entre bytes}} > 3,5 \times T_{\text{byte}} > 4ms \quad (4.9)$$

4.3.2 Comunicação com o Servidor

A comunicação entre o Sistema de Aquisição de Dados e o Servidor é feita através de uma ligação Wi-Fi, ou física usando um cabo *ethernet*. Nas comunicações Wi-Fi (IEEE 802.11) os dispositivos que se queiram ligar à rede, designados *station* (STA), têm que se ligar a dispositivos que funcionem como *Access Point* (Pontos de Acesso), ou *routers*. Estes requerem credenciais de acesso, o Service Set Identifier (SSID) e a *password* do ponto de acesso ao qual se pretenda ligar.

4.4 Servidor (Raspberry Pi)

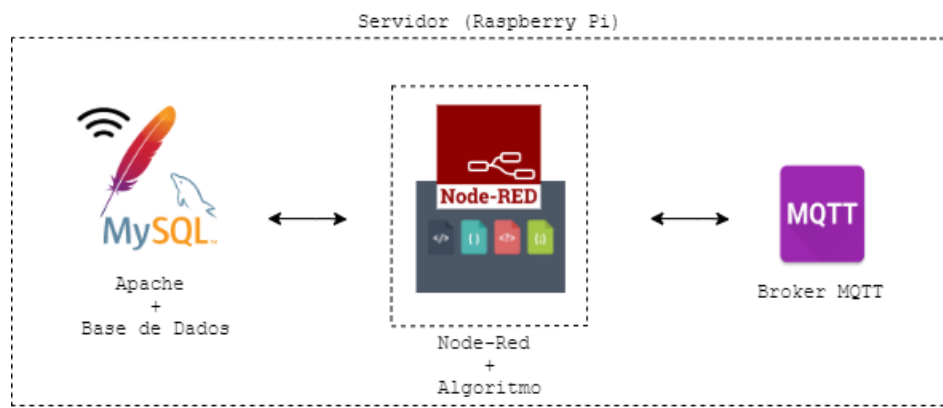


Figura 4.11: Arquitetura sonceptual do Servidor.

O servidor (Figura 4.11) deve receber os dados enviados pelo Sistema de Aquisição de Dados da Secção 4.3, de armazenar esses valores e os mostrar ao utilizador na página *web*, que servirá de *UI* (*User Interface* - Interface do Utilizador, descrita com maior detalhe na Secção 4.5). Deve ainda ser capaz de analisar e processar os dados recebidos e, quando necessário, enviar alarmes para os utilizadores via e-mail. Para que os utilizadores possam visualizar os dados na Interface do Utilizador, o servidor terá que conter os ficheiros necessários para a criação dessa interface. Dadas as condições supramencionadas, optou-se pela utilização um RaspberryPI 3 para servir este propósito, visto reunir um conjunto de caraterísticas que o tornam adequado para o efeito.

4.4.1 Broker MQTT

Por forma a tornar a comunicação com o Sistema de Aquisição possível, é utilizado um *broker MQTT*, ou seja, um intermediário que permite uma comunicação bidirecional entre dois ou mais dispositivos, através da subscrição de um ou mais tópicos.

O **MQTT**, acrónimo para *Message Queuing Telemetry Transport* é um protocolo de mensagens baseado na publicação/subscrição de tópicos via TCP/IP, desenvolvido para dispositivos com restrições ou redes de baixa largura de banda (*bandwidth*), alta latência e pouco seguros, ou seja, é o protocolo ideal para qualquer aplicação cuja comunicação se mostra difícil ou instável, sendo muito comum em aplicações IoT. Um *Broker* é o intermediário entre, no mínimo, dois dispositivos e baseia-se no protocolo, veja-se a Figura 5.12.

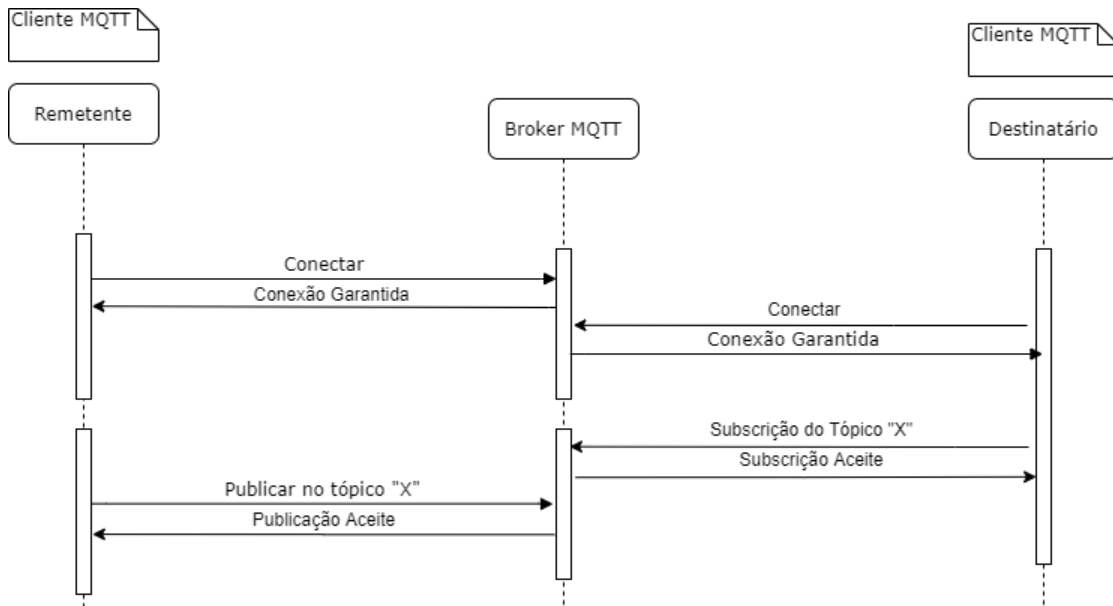


Figura 4.12: Diagrama de comunicação de um *broker* MQTT.

Com este protocolo é também possível definir o QoS (*Quality of Service*) para a troca de mensagens entre os clientes do intermediário (*broker* MQTT), ou seja, é possível definir o nível de garantia de entrega de uma determinada mensagem, havendo três níveis, como mostra a Tabela 4.2:

Tabela 4.2: Funções do *Quality of Service* .

QoS	Cadência de Envio	de	Descrição
0	No máximo uma vez		A mensagem é enviada apenas 1 vez e tanto o destinatário como o <i>broker</i> não confirmam a entrega.
1	No mínimo uma vez		A mensagem é enviada multiplas vezes até que haja confirmação de que a mensagem foi recebida.
2	Uma vez		O destinatário e o remetente executam um <i>handshake</i> para garantir que a mensagem chega ao destino uma só vez.

No caso deste Sistema, tanto o Sistema de Aquisição como o Servidor, são remetentes e destinatários no *broker* MQTT.

4.4.2 Node-RED

O Node-RED é uma ferramenta de programação visual, que pode ser acedida a partir de um *browser*, como se pode ver na Figura 4.13. Desenvolvida em Node.js, executa os fluxos ou *flows* em função de eventos. Foi concebida para implementação de aplicações IoT, sendo uma forma simples e rápida de teste. O Node.js pode ser designado como o ambiente de execução *Javascript* no lado do servidor (*back-end*), ao contrário de outros

softwares desenvolvidos em *Javascript* para o desenvolvimento de *websites* que têm como destino o lado do cliente (*client-side*). Através da instalação dos pacotes (*palletes* no Node-RED) adequados e recorrendo aos seus nós, facilmente se constrói um fluxo básico de informação, sem grandes bases de programação.

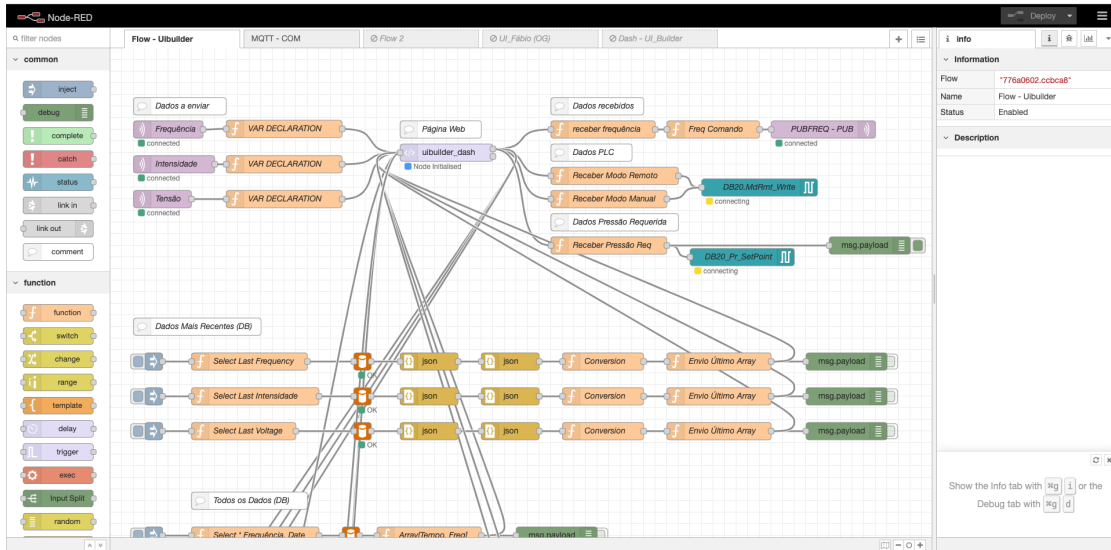


Figura 4.13: Programação visual usando o Node-RED.

4.4.3 Repositório de Dados - MySQL

O sistema de gestão de bases de dados MySQL é um sistema relacional, ou seja, dispõe os dados em tabelas (observe-se a coluna esquerda da Figura 4.14 a organização da informação em várias tabelas), as quais podem estar relacionados entre si, sendo essas relações responsáveis a estruturação dos dados. O MySQL permite o uso de credenciais para a segurança das bases de dados, sendo que o utilizador que queira aceder às tabelas e aos seus dados, terá que inserir essas credenciais, que podem ser:

Tabela 4.3: Credenciais MySQL .

Credenciais	Descrição	Valor de Origem
Username	Nome do utilizador	root
Password	Senha do utilizador	-

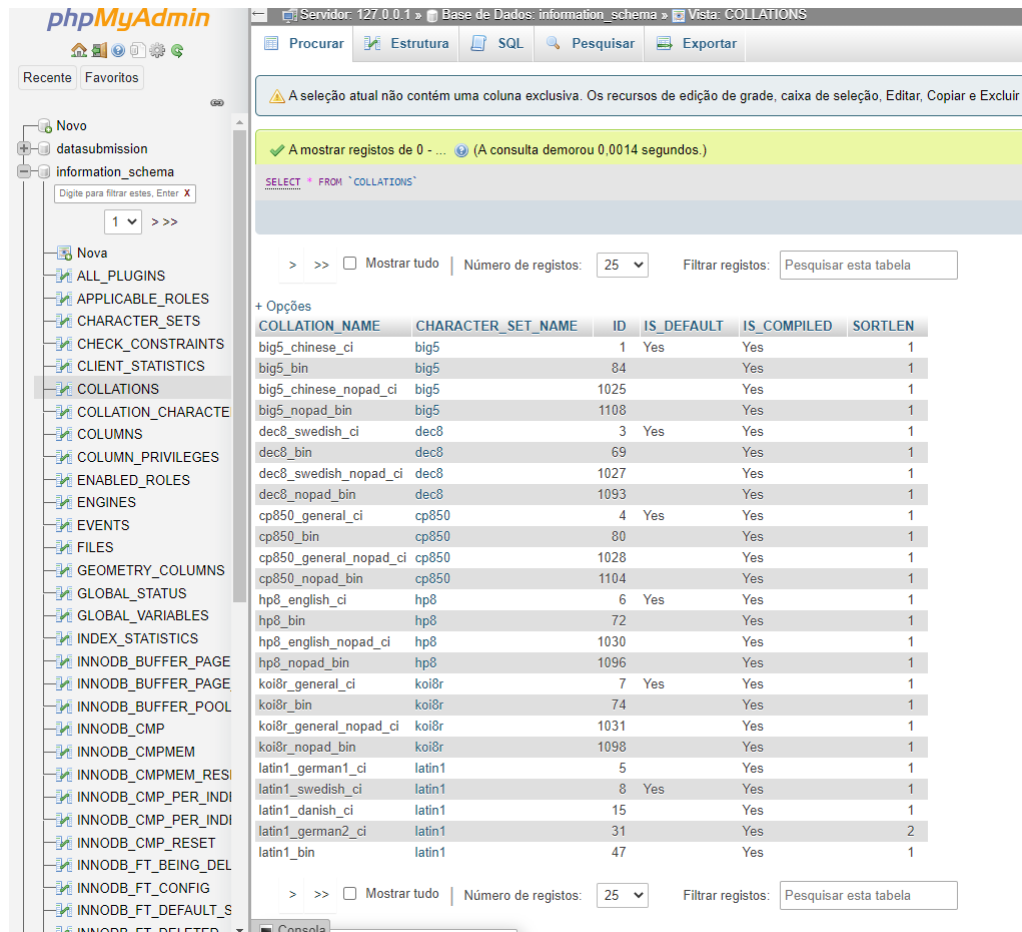


Figura 4.14: Exemplo da organização e estrutura de tabelas.

A linguagem SQL ou Linguagem de Consulta Estruturada é uma linguagem desenvolvida para criação, alteração e consulta de dados guardados em bases de dados relacionais. Esta linguagem usa *queries* específicas de acordo com a finalidade, como se pode ver nos três exemplos apresentados na Tabela 4.4. As *queries* aqui apresentadas são apenas exemplos, podendo conter mais conteúdo para refinar o seu objetivo, como por exemplo, para ordenar os dados numa determinada ordem.

Tabela 4.4: Exemplos de queries MySQL.

Função	Query
Adicionar Linha	INSERT INTO table (column1, column2) VALUES (value1, value2);
Alterar Valor	UPDATE table SET column1 = value1 WHERE condition;
Selecionar	SELECT column1, column2, ... FROM table;

4.5 Interface do Utilizador para Controlo e Supervisão

Para a criação de uma interface gráfica do utilizador, neste caso uma página *Web* são usados vários tipos de ficheiros que, servindo diferentes propósitos, contribuem para o mesmo fim. Por exemplo, para o caso do sistema desenvolvido um ficheiro **HTML** define a estrutura gráfica de uma página, um ficheiro **CSS** define detalhes visuais dos objetos da página, um ficheiro **Javascript** gere as interações entre os dados que chegam ou saiem da interface e o servidor.

4.5.1 Comunicação entre a Interface e Servidor Apache

Um servidor Apache é um servidor **HTTP** que recebe pedidos de clientes, normalmente *browsers* alojados em computadores e responde também com mensagens **HTTP**. Recorre ao protocolo **HTTP** para que um utilizador consiga remotamente aceder a documentos contidos nesse servidor, através da *internet*. A *internet* é um sistema global responsável pelo controlo da ligação entre computadores e servidores. O conjunto de protocolos **TCP/IP** usa outros protocolos para especificar como a informação é trocada. A parte **TCP** define como as aplicações podem criar canais de comunicação na rede, assim como a divisão da mensagem em blocos de informação de menor tamanho. A parte **IP** define o endereçamento e o trajeto desses blocos até chegarem ao destino correto [35]. Por exemplo, o protocolo o **SMTP** (*Simple Mail Transfer Protocol*) para envio e receção de *e-mails*, **FTP** (*File Transfer Protocol*) para a transferência de documentos e o **HTTP** para navegar. Segundo o Modelo OSI (*Open Systems Interconnection*) [36] o protocolo **TCP/IP** é uma estrutura conceptual utilizada para descrever as operações que ocorrem numa rede. As comunicações entre um sistema de computação são divididas em sete camadas diferentes: Física, Enlace, Rede, Transporte, Sessão, Apresentação e Aplicação, cada uma associada a um conjunto de protocolos específicos, veja-se a Tabela 4.5.

Tabela 4.5: Camadas do Modelo OSI do protocolo TCP/IP [36] .

Camada	Protocolos Utilizados
7 - Aplicação	HTTP, RTP, SMTP, FTP, SSH, Telnet, SIP, RDP, IRC, SNMP, NNTP, POP3, IMAP, DNS
6 - Apresentação	XDR, TLS
5 - Sessão	NetBIOS
4 - Transporte	NetBEUI, TCP, UDP, SCTP, DCCP, RIP
3 - Rede	IP (IPv4, IPv6), IPsec, ICMP, ARP, RARP, NAT
2 - Data Link	Ethernet, IEEE 802.1Q, HDLC, Token ring, FDDI, PPP, Switch, ATM
1 - Física	Modem, 802.11 Wi-Fi, RDIS, RS-485, RS-232, EIA-422, RS-449, Bluetooth, USB, 10BASE-T, 100BASE-TX, ISDN, SONET, DSL

4.5.2 Página web

Uma forma simples de construir uma interface consiste na criação de uma página *Web*. Esta permite que o utilizador aceda a essa interface em qualquer dispositivo desde que tenha acesso à *internet*. A imagem da Figura 4.15 é um exemplo de um *design* para uma página web SCADA do *software* "i4designer" da SPA [37].

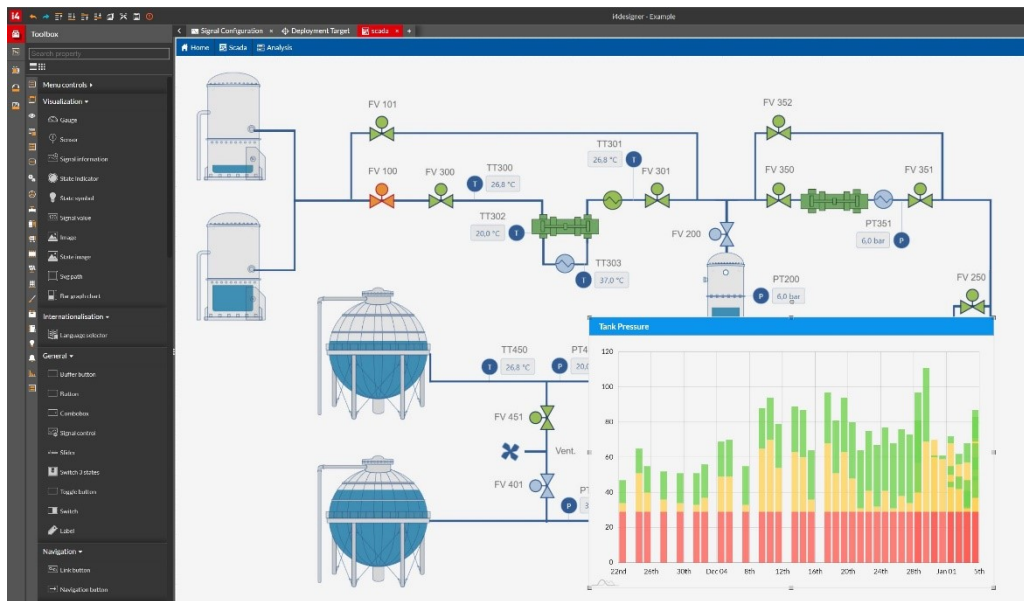


Figura 4.15: Exemplo de *design* para uma página web para aplicações SCADA [37].

4.5.3 Registo de Eventos e Alarmes

Na Figura 4.16 pode-se ver um exemplo retirado deste projeto, no qual o Excel é utilizado para criar um registo de eventos e alarmes, assim como a data e hora em que estes foram acionados. Pretende-se criar um comando para a geração de um ficheiro texto (extensão *.txt*) que, sendo aberto com o Excel seguindo os passos da Secção A.6, permite a organização e estruturação dos vários registos por data e hora de acontecimento.

	Modo Remoto ativado.	02/09/2020	11:23:24
	O motor foi iniciado.	02/09/2020	11:24:12
	Valor de frequência enviado.	02/09/2020	11:25:00
	Frequência ultrapassou valor limite.	02/09/2020	11:26:20
	O motor foi parado.	02/09/2020	11:30:02
	Modo Automático ativado.	02/09/2020	11:35:24
	Valor de tensão ultrapassou o limite.	02/09/2020	11:45:07

Figura 4.16: Exemplo de uma tabela de registo de alarmes em Excel.

Capítulo 5

Implementação

Neste capítulo é apresentada uma descrição mais pormenorizada da solução proposta para o Sistema de Monitorização e Controlo, estando esta dividida em duas secções: a primeira aborda a camada inferior do sistema, o Sistema de Aquisição de Dados e a parametrização do variador de frequência, a segunda referente à camada superior, tanto a interface como as interações entre sistema e o servidor.

Desta forma, é importante contextualizar o problema e referir o fluxo de informação real que ocorre nas instalações da AviSabor. A água entra continuamente nos reservatórios até o autómato dar a informação de nível máximo. Assim que este é atingido, as bombas param. A água vai entrando na unidade fabril conforme as necessidades, sendo que as máquinas controlam automaticamente o consumo de água e dando indicação para abrir ou fechar as válvulas para cortar o fluxo de água.

Para que se perceba melhor a dinâmica das comunicações do projeto desenvolvido, consulte-se o Diagrama de Sequência da Figura A.14 do Apêndice A.5, onde se encontram representados os vários passos desde o *input* de um valor de frequência na página *web* da Secção 5.4.2 até à alteração da frequência de comando da bomba.

5.1 Parametrização do Variador de Frequência

O variador FR-D720S da Mitsubishi está preparado para receber as mensagens seguindo a estrutura própria do protocolo Modbus RTU, sendo visto no barramento como um *Slave*. Após a consulta do *datasheet* para saber tanto os parâmetros de comunicação a configurar assim como um esquema das ligações necessárias para efetuar a comunicação podem ser consultados na Tabela 5.2 e na Figura A.6 do Apêndice A.

Tabela 5.1: Especificações Técnicas do variador Mitsubishi FR-D720S [38].

	Potência [kW]	Alimentação (50/60 Hz) [V]	Frequência de Saída [Hz]
Mitsubishi FR-D720S	0.1 - 2.2	Monofásica 200-240	0.2 - 400

5.1.1 Configuração dos Terminais

Neste projeto, pretende-se que exista a possibilidade de comunicação remota através da página *web* ou localmente, através do painel do variador de frequência. Como tal, os terminais do mesmo, mostrados na Figura 5.1 devem servir propósitos diferentes, que precisam de ser parametrizados usando o painel do variador. Na configuração utilizada, o terminal **PC** alimenta os restantes em função do objetivo pretendido: rotação horário ou anti-horária, tipo de comunicação, paragem, entre outros.

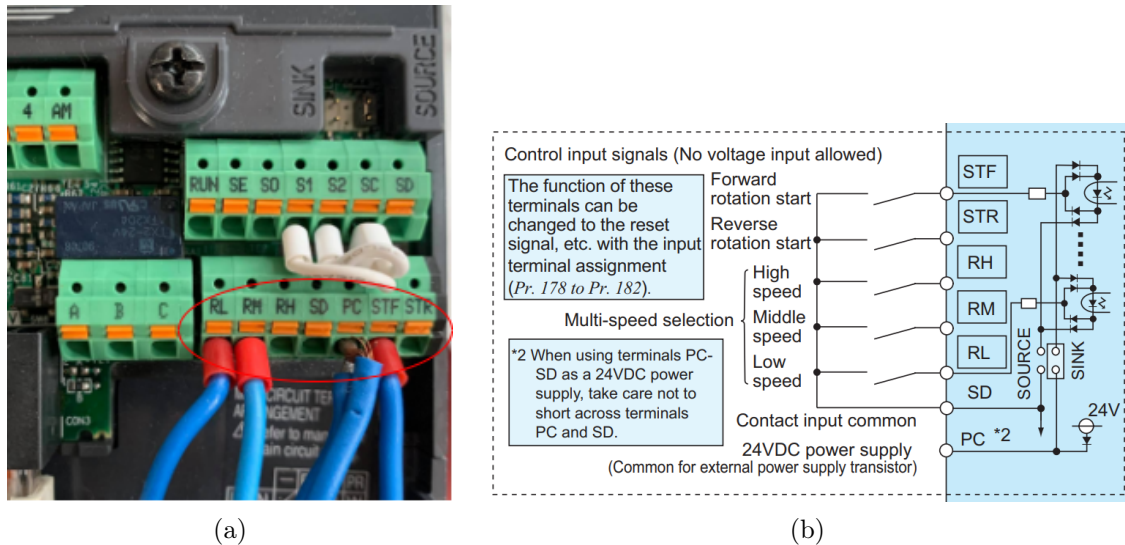


Figura 5.1: (a) Terminais do variador, (b) Esquema da alimentação dos terminais do variador [39].

Veja-se a Tabela 5.2:

Tabela 5.2: Configuração dos terminais do variador.

Parâmetros	Descrição	Valor
79	Modo de Operação - Comutável	6
117	Número da Estação de Comunicação (<i>Slave</i>)	1
118	<i>Baud Rate</i> - Taxa de Transferência = 9600 bits/s	96
119	<i>Stop Bit</i> = 1	0
120	Paridade = Ímpar	1
123	Tempo de Espera	9999
124	Seleção CR/LF = Inexistente	0
178	Terminal STF - Rotação no sentido horário	60
179	Terminal STR - Rotação no sentido anti-horário	61
180	Terminal RL - Comuta entre controlo através do painel e externo	16
181	Terminal RM - Comuta entre controlo externo e remoto	66
549	Seleção do Protocolo - Modbus RTU	1

Os parâmetros intrínsecos ao protocolo de comunicação como: o endereço do (*Slave*), a taxa de transferência de informação (*baudrate*) e bit de paridade (*parity bit*), definiram-se seguindo a documentação do variador, conforme a Tabela 5.2 acima.

Após uma leitura cuidadosa da documentação, é possível construir a seguinte estrutura de mensagens, representada na Figura 5.2. Repare-se que o endereço do *Slave*, a *Function Code*, o *Number of Points Hi* e o *Number of Points Lo* são os mesmos para qualquer registo que se pretenda ler. Já parâmetros como (*Starting Adress Hi* e *Starting Adress Lo*) são únicos para cada registo, e por isso o *CRC* também será único.

Seguindo um exemplo do manual do variador, para ler o valor da frequência de comando de um equipamento com endereço de *slave* 1, deverá ser enviado a mensagem da Figura 5.2:

Endereço do Slave	Função	Endereço do Registo		Valor		CRC	
H01	H03	H00	H0D	H00	H01	H15	HC9

Figura 5.2: Exemplo de leitura de um registo.

A informação que este envia para o *Master* é codificada, para que seja possível enviar os valores com casas decimais. A codificação feita pelo variador necessita de uma posterior descodificação no ESP, para que o valor da variável a ler seja apresentada no formato decimal em vez do formato hexadecimal, observe-se o fluxograma da Figura 5.8.

5.2 Sistema de Aquisição de Dados (Frequência, Intensidade de Corrente, Tensão)

O Sistema de Aquisição de Dados tem como objetivo a recolha dos parâmetros contidos em certos registos internos (de frequência, intensidade de corrente e tensão) do variador de frequência, seguindo as normas do protocolo Modbus-RTU e ligando corretamente os terminais dos dois aparelhos, como ilustra a Figura 5.3. Utilizou-se um cabo *ethernet* descarnado para a comunicação entre o conector de três pinos da Figura A.2 do Apêndice A.1 e o conector PU da Figura A.1 do Apêndice A.1.

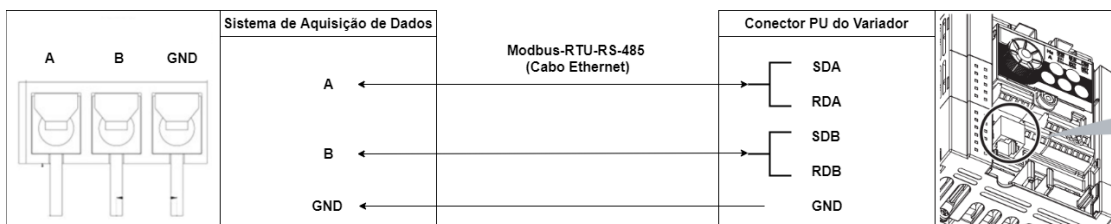


Figura 5.3: Ligação Modbus-RTU-RS-485 entre o conector do Sistema de Aquisição de Dados e o conector PU do variador de frequência.

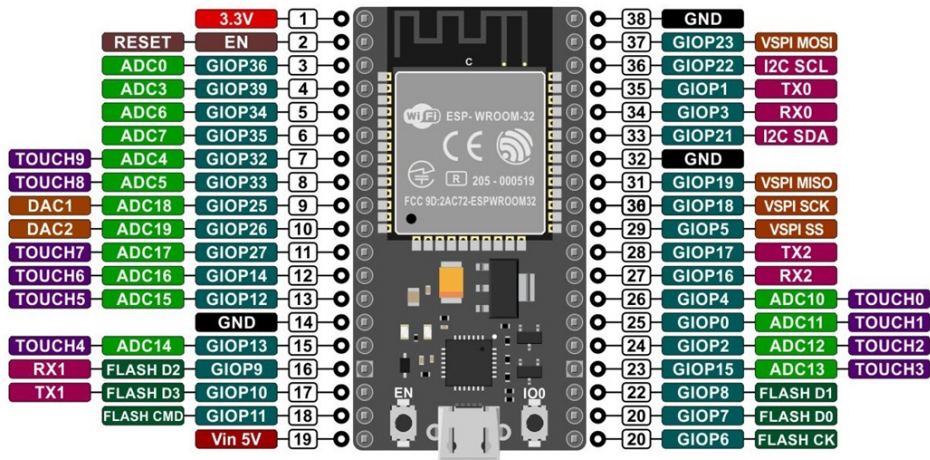


Figura 5.5: Disposição dos pinos do ESP32.

Tabela 5.3: Especificações do ESP32 e Arduino Uno + Ethernet Shield.

	ESP32	Arduino UNO R3 + Ethernet Shield
Cores (Núcleos)	2	1
Arquitetura	32 bits	8 bits
Clock (Frequência)	160 MHz (em cada núcleo)	16 MHz
Wi-Fi	Sim	Não
Ethernet	Não	Sim
Bluetooth	Em alguns casos	Não
RAM	512 KB	2KB
FLASH	16 MB	32 KB
GPIO	36 pinos	14 pinos
ADC	18 pinos	6 pinos
DAC	2 pinos	0 pinos
PWM	36 pinos	6 pinos
Interfaces	SPI/I2C/UART/I2S/CAN	SPI/I2C/UART
Com. Série	3 (Tx + Rx)	1 (Tx + Rx)
Tensão Pinos	3.3V	5V

5.2.2 Comunicação entre o Sistema de Aquisição de Dados (FIT) e o Variador de Frequência

O Sistema de Aquisição de Dados deverá ser capaz de ler e escrever os valores contidos nos registos internos do variador de frequência. Como mencionado na Secção 4.3.1.2, a tensão dos pinos do ESP32 é de apenas 3.3V. Assim, será necessário converter essa tensão com recurso a um conversor de níveis TTL (*Logic Level Shifter*), ou seja, de níveis lógicos (3.3V/0V para 5V/0V) para que seja possível interpretar as mensagens enviadas e

recebidas pelos equipamentos nos 5V de uma comunicação Modbus. O conversor Olimex MOD-RS485 representado na Imagem (a) da Figura 5.6 é utilizado para regular a tensão dos sinais **DE** (*Drive Output Enable*) e **/RE** (*Receiver Enable*), caso se queira enviar ou receber mensagens série para/do variador. Visto que o conversor controla a tensão desses sinais através do ajuste da tensão dos pinos **#SS** e **SCK** do conector, deve-se ajustar a tensão do sinal **DE** para 5V, ou seja, dos pino **#SS** e **SCK** para 5V (**preTransmission** da Apêndice A.9) e para 0v para o dispositivo ficar à "escuta" de mensagens de resposta (**postTransmission** da Apêndice A.9). Os pinos do conector estão representados na Imagem (b) da Figura 5.6.

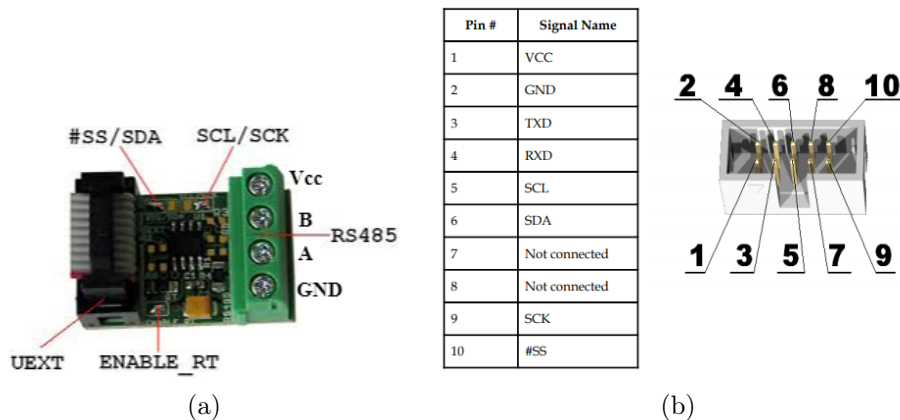


Figura 5.6: (a) Conversor de níveis TTL para RS-485, (b) Disposição dos pinos do conector do Olimex MOD-RS-485 (UEXT).

Veja-se a Tabela 5.4 com a descrição da função dos pinos da Imagem (b) da Figura 5.6 utilizados para este projeto:

Tabela 5.4: Designação e descrição dos pinos do conector.

Pino nº	Descrição
1 - V_{cc}	Alimentação da placa.
2 - Gnd	Ligação à malha de referência terra.
3 - Tx	Ligação ao GPIO Tx do microcontrolador.
4 - Rx	Ligação ao GPIO Rx do microcontrolador.
9 - SCK	Emissão ou recepção de mensagens consoante o ajuste de tensão.
10 - SS	Emissão ou recepção de mensagens consoante o ajuste de tensão.

Utilizou-se apenas uma resistência de terminação prevista pelo protocolo entre os terminais *A* e *B* do equipamento com o valor de 120Ω indicados pelo manual do variador. Na programação do microcontrolador é usado o comando *pinMode* que indica que o pino escolhido para a leitura e escrita funcionará como *output*.

5.2.2.1 Modbus - RTU

Na leitura e escrita dos valores de frequência, tensão e intensidade de corrente, o Sistema de Aquisição de Dados seguirá a norma RS-485 do protocolo Modbus-RTU. Para o efeito utilizou-se um conversor de níveis lógicos TTL para níveis de tensões coincidentes com as da norma utilizada, um conversor Olimex MOD-RS485. Como os dispositivos que comunicam segundo este padrão têm níveis de tensão na ordem dos 5V, será necessário que o conversor seja alimentado com 5V e a sua comunicação de níveis lógicos TTL seja igualmente de 5V, ou seja, será necessário aplicar um conversor de tensões entre 3.3V e 5V para que o microcontrolador consiga comunicar com o variador sem erros.

Observe-se na Figura 5.4 as ligações entre os três dispositivos encontram-se representadas, sendo necessário utilizar duas bibliotecas na programação do microcontrolador: **ModbusMaster.h**¹ e **HardwareSerial.h** para a comunicação.

Para o uso da biblioteca **ModbusMaster.h** deve-se indicar o nome do objeto a ser usado, utilizando o comando **ModbusMaster**. É com este objeto que se indica à biblioteca o ID do *slave* e quais os pinos utilizados para a comunicação (**GPIO16** e **GPIO17** da Figura 5.5), bem como a taxa de transmissão de informação (*baudrate*). Usando os seguintes comandos e funções: abertura das portas série para comunicar (**Serial.begin()**), as funções para serem processadas antes e depois de uma transmissão de dados (**preTransmission** e **postTransmission**) por forma a regular a tensão do pino de ativação da recepção e emissão (**GPIO21** da Figura 5.5) dá-se início à comunicação. O fluxograma da Figura 5.7 mostra a sequência de processos para escrever num registo do variador.

¹As expressões a negrito fazem referência a bibliotecas, funções, comandos e tipos de variáveis do código que se encontra na Secção A.9.

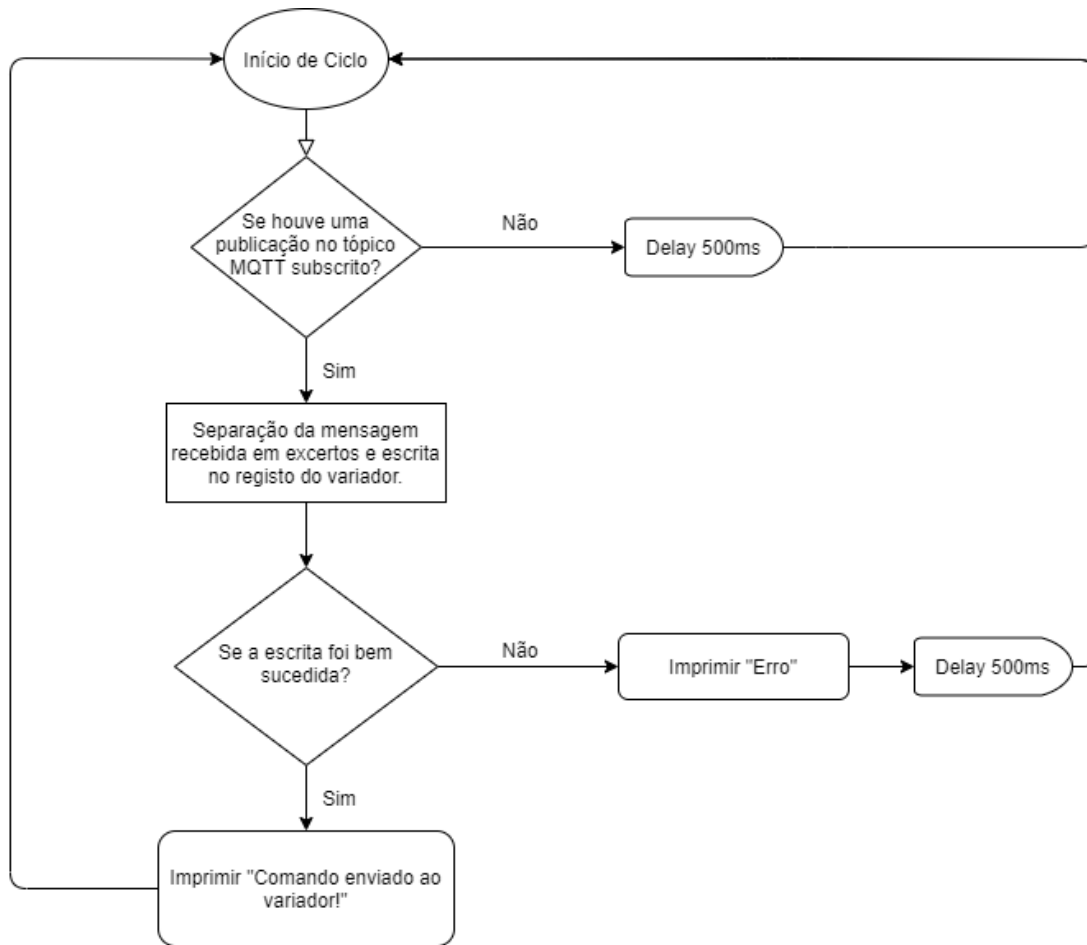


Figura 5.7: Fluxograma de aquisição de dados e escrita nos registos do variador.

Com a biblioteca **ModbusMaster.h**, para que o microcontrolador consiga escrever num registo de memória do variador usa-se o comando de escrita num registo - **writeSingleRegister** - onde se indica o endereço hexadecimal do registo. Este comando retorna um valor do tipo **uint8_t**, que no caso da comunicação ter sido bem sucedida, será igual a **ku8MBSuccess** e, conseqüentemente, alterará a frequência de comando do variador. Para a leitura de registos, utilizou-se a biblioteca **HardwareSerial.h**, que funciona da seguinte forma: para configurar o objeto e o tipo de comunicação, o procedimento é idêntico ao supramencionado para a biblioteca anterior. Utiliza-se o comando de **write()**, no qual se especifica um *array* com a mensagem série de leitura de um registo e cuja estrutura se rege pela do protocolo. Depois de enviada, o ESP32 deverá receber uma mensagem série proveniente do variador com a mesma estrutura, com a informação pretendida nos *bits* de dados do *frame* de resposta da Figura 4.7. Através do comando (**read()**), o algoritmo lê ciclicamente *byte* a *byte* o conteúdo da mensagem, e armazena num *buffer* temporário. A informação útil encontra-se na terceira e quarta posição desse *buffer* e após conversão do formato hexadecimal para *float*, o resultado pretendido é devolvido em formato decimal:

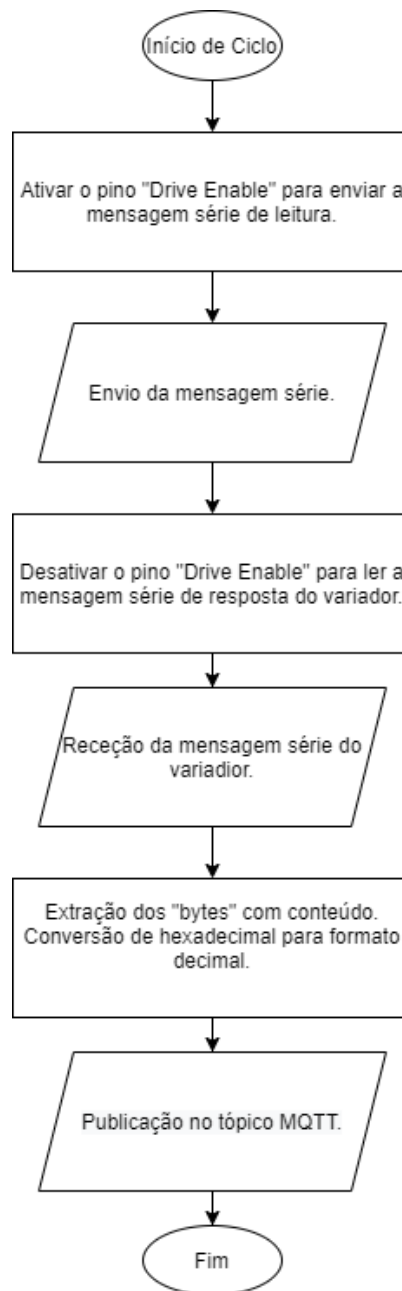


Figura 5.8: Fluxograma correspondente à leitura de registos do variador.

Para que a comunicação seja estabelecida, é necessário um par de fios entrelaçados que liguem os terminais **A** e **B** do conversor.

5.2.3 Comunicação entre o Sistema de Aquisição de Dados e o Servidor (Raspberry Pi)

5.2.3.1 WiFi & MQTT

O microcontrolador ESP32 tem uma placa Wi-Fi integrada, como se pode ver na Imagem (a) da Figura A.22 do Apêndice A.8, permitindo o desenvolvimento de projetos no âmbito da IoT, faltando ao utilizador configurar os parâmetros da rede à qual se tenciona ligar, (SSID (*Service Set Identifier*) e *Password*). Para tal, basta incluir a biblioteca **Wifi.h**.

Para a transmissão de dados, o Sistema de Aquisição de Dados (FIT) subscreve um tópico do *broker MQTT* para trocar mensagens e por isso torna-se necessário incluir a biblioteca **PubSubClient.h**. Esta biblioteca requer que se defina o tipo de comunicação criando um cliente se ligue a um IP específico (**WiFiClient** - linha 2) e um objeto do tipo **PubSubClient** - linha 3 para estabelecer comunicação com um *broker MQTT* com o cliente WiFi definido antes (**WiFiClient**), o IP do *broker* e a porta (linha 1 e 3).

Por forma a entender esta secção, segue-se um excerto do código utilizado na programação do microcontrolador:

```
1 const char* mqtt_server = "192.168.0.102";  
2 WiFiClient espClient;  
3 PubSubClient client(mqtt_server, 1883, callback, espClient);
```

onde a *callback* é uma função chamada sempre que se pretende publicar conteúdo em algum tópico do *broker*. Os tópicos do *broker* são subscritos utilizando o comando **subscribe** e nestes pode ser publicado conteúdo recorrendo ao comando **publish**, bastando definir o tópico e a mensagem.

5.2.4 Desenvolvimento da placa PCB

Na Figura 5.9 encontra-se representado o modelo tridimensional desenvolvido numa placa PCB.

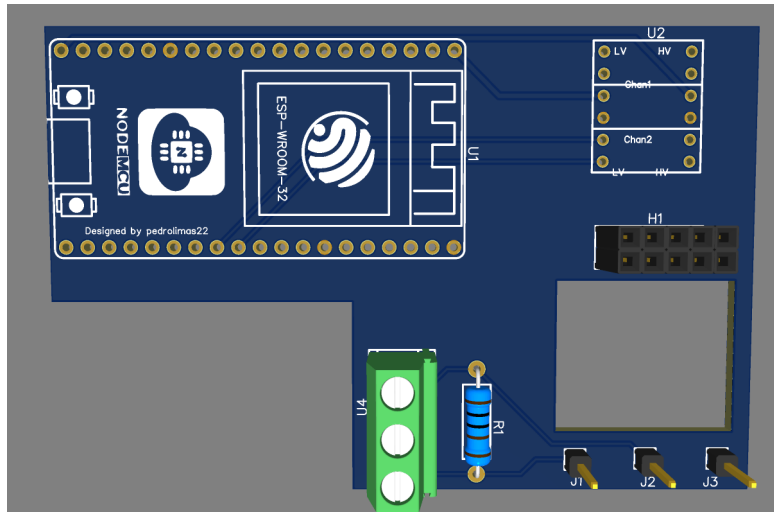


Figura 5.9: Modelo 3D do protótipo desenvolvido em placa **PCB**.

Para passar de uma placa *breadboard* para uma placa **PCB** é necessário desenhar as camadas que compõem a mesma, tornando-se para isso necessário a utilização de um *software* próprio. Para este projeto utilizou-se o **EasyEDA**, que contém várias bibliotecas de componentes e uma função de *auto-routing* que faz automaticamente o desenho do traçado de cobre na placa, seguindo o esquema elétrico que lhe serve de base. As imagens da Figura 5.10 seguintes mostram a **PCB** com e sem componentes.

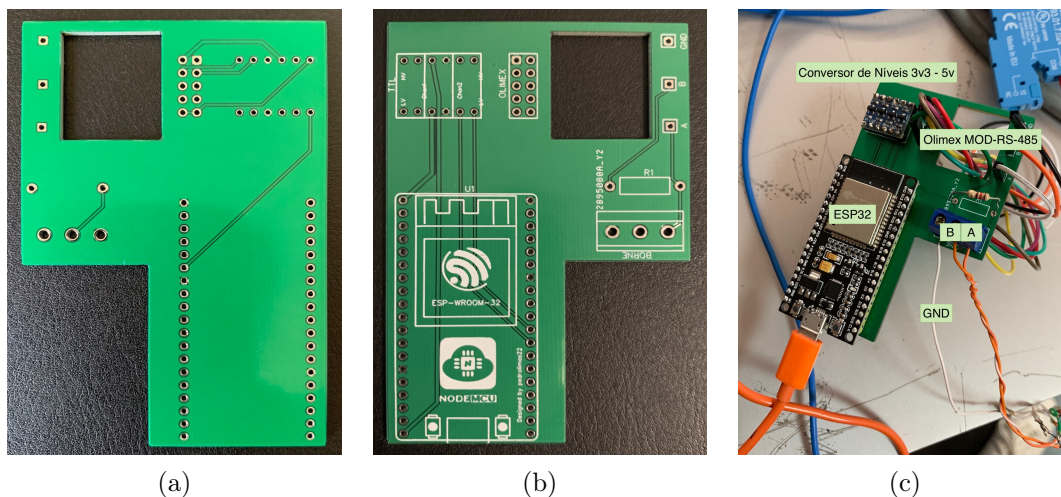


Figura 5.10: PCB desenvolvida para o projeto: (a) Vista traseira da **PCB**, (b) Vista frontal da **PCB**, (c) Vista da **PCB** com os componentes.

5.3 Servidor (Raspberry Pi)

Nesta secção aborda-se detalhadamente as interações que ocorrem entre o servidor e o restante sistema, por forma a entender o seu comportamento.

5.3.1 Módulo Raspberry Pi 3B

O equipamento utilizado para simular o comportamento de um servidor foi um Raspberry Pi 3 Model B.



Figura 5.11: Raspberry Pi Model 3B+.

A principal função deste equipamento é oferecer uma alternativa prática de baixo custo para testar aplicações que não exijam elevado poder computacional. Apesar das pequenas dimensões e do seu aspeto pouco convencional, o Raspberry permite efetuar praticamente todas as tarefas que se realizam noutros computadores, como por exemplo navegar na Internet, criar textos ou reproduzir conteúdo multimédia. O Raspberry Pi Model 3 B apresenta especificações que o tornam numa escolha adequada, p ser consultadas na Tabela 5.5 [40]:

Tabela 5.5: Especificações do modelo do Raspberry Pi.

Componentes	Especificações
Processador	Broadcom BCM2837B0, Cortex-A53 (ARMv8) 64-bit SoC @ 1.4GHz
Memória RAM	1GB LPDDR2 SDRAM
Conectividade <i>wireless</i>	2.4GHz and 5GHz IEEE 802.11.b/g/n/ac wireless LAN, Bluetooth 4.2, BLE
Conectividade <i>c/ fios</i>	Gigabit Ethernet over USB 2.0
Entradas	4 x Portas USB 2.0, 1 x HDMI
Alimentação	5.1V / 2.5A DC

5.3.2 Comunicação entre Servidor e Sistema de Aquisição de Dados

Já foi mencionado anteriormente que o objetivo do servidor consiste na comunicação bidirecional com o Sistema de Aquisição de Dados (FIT) da **Secção 5.3**. Este deve ser capaz de receber os valores enviados pelo variador, assim como de disponibilizar ao utilizador dados mais específicos de interesse para o mesmo, por exemplo, gráficos com todos os valores armazenados de qualquer registo, guardar os alarmes mais importantes num formato **CSV** ou **XML** compatíveis com Excel (procedimento explicado com maior detalhe na Secção A.6, do Apêndice A), o estado do variador, entre outros.

O *broker* utilizado para o desenvolvimento deste projeto foi o **Mosquitto** em que a ligação ao mesmo é feita através do Node-Red. Na Figura 5.12 pode-se ver um diagrama de sequência com o fluxo de informação e na Figura 5.13 o código em Node-RED necessário para subscrever e/ou publicar em tópicos **MQTT**. Na figura 5.12 exemplo pode-se observar a subscrição do tópico "Frequência" e a publicação do valor do *payload* no tópico "Frequência", sendo esta publicação concretizada quando o utilizador efetuar a *input* da frequência de comando.

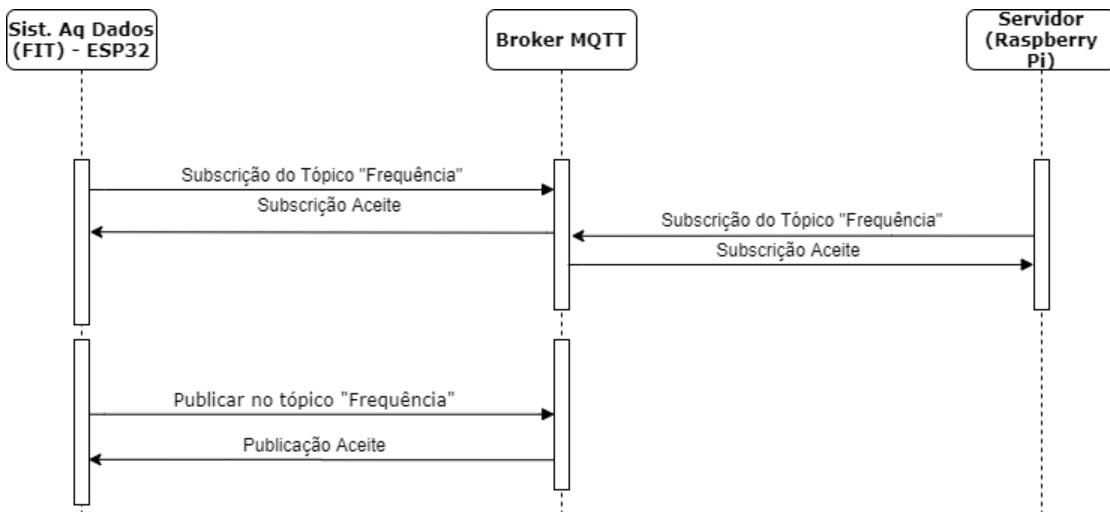


Figura 5.12: Diagrama de comunicação entre o Sistema de Aquisição de Dados, o Servidor e o *broker* MQTT.

5.3.3 Repositório de Dados (Adquiridos pelo Sistema de Aquisição e Limites Selecionados)

Para a concretização deste projeto, optou-se por uma base de dados MySQL.

Para instalar a base de dados MySQL no módulo do servidor, deve-se instalar o Apache pela linha de comandos, que criará um servidor **HTTP**. Todos os valores relevantes são enviados para a base através de nós MySQL do Node-RED.

Interpretando a Figura 5.13 de cima para baixo, os nós **MQTT** a roxo estão à escuta de mensagens publicadas nos tópicos que subscrevem: Frequência, Intensidade (de Corrente) e Tensão. O conteúdo dessas mensagens é convertido numa variável local (com o comando **move**) para serem utilizadas por outros nós desse *flow* (deixando de haver necessidade de ligar outros nós a esse para utilizar o seu conteúdo). O nó **timestamp** indica um intervalo temporal de ativação da sequência de nós que o seguem. O nó

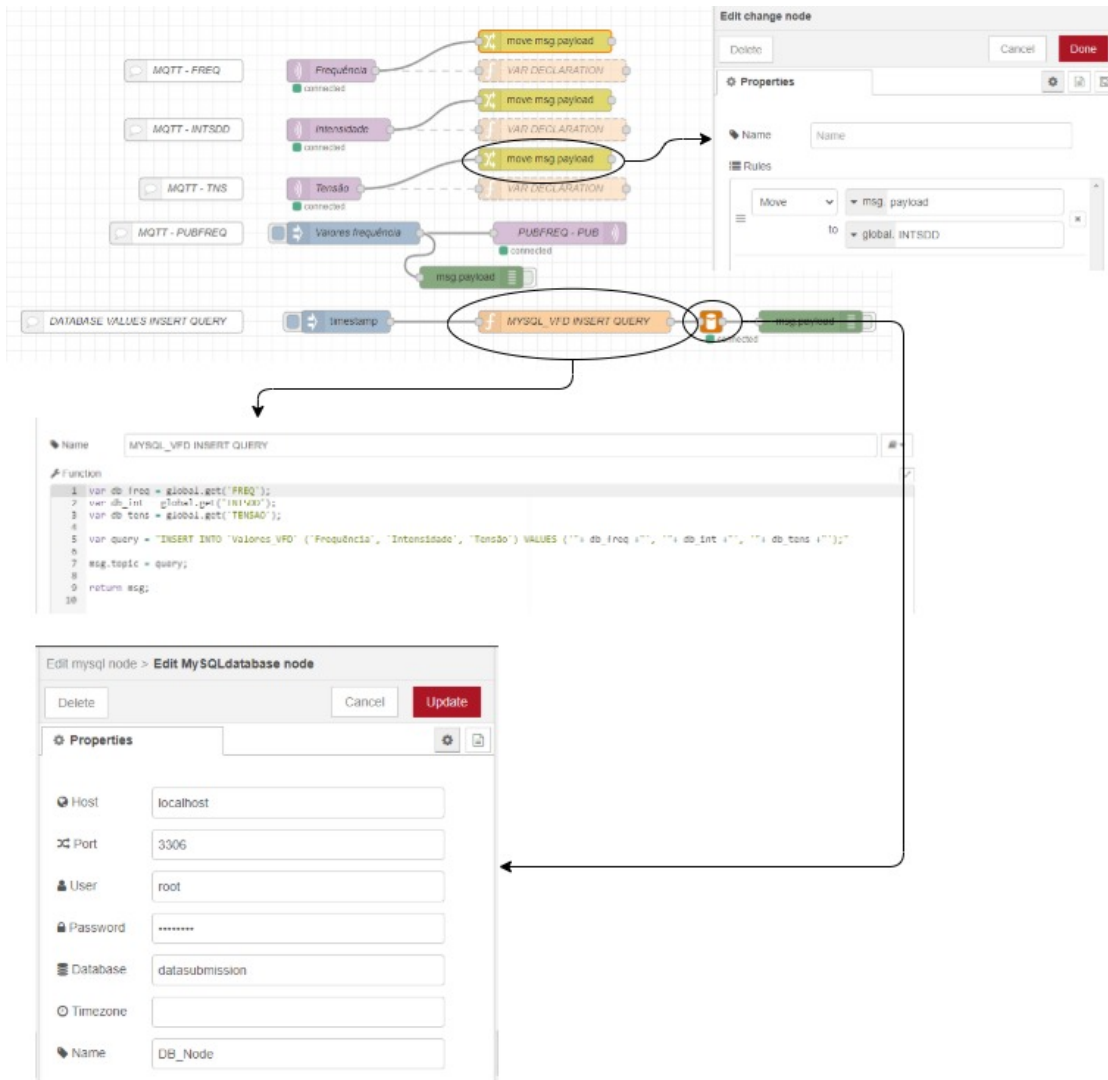


Figura 5.13: Código Node-RED para inserir valores na base de dados MySQL.

function adquire os valores globais supramencionados e seguindo uma **INSERT query** (Tabela 4.4), são inseridos os valores recolhidos numa tabela (nas colunas "Frequência", "Intensidade" e "Tensão" da tabela "Valores_VFD") configurada para os receber com o nó **MySQL**.

Este repositório foi criado para que os valores recolhidos pelo Sistema de Aquisição de Dados (FIT) da **Secção 5.2** e limites escolhidos pelo utilizador na Interface Gráfica da **Secção 5.4**, por forma a haver um registo estruturado de toda a informação recolhida na globalidade do sistema. Os dados armazenados são discutidos com maior detalhe na **Secção 6.1.2**.

5.4 Interface Gráfica de Supervisão e Controlo do Variador de Frequência (Página *web* SCADA)

Esta secção aborda a parte gráfica responsável por qualquer interação entre o utilizador e o sistema.

5.4.1 Comunicação entre Servidor e Interface

A interface foi desenvolvida para permitir flexibilidade na supervisão dos equipamentos, com o intuito de ser acedida em qualquer parte e a partir de qualquer equipamento com ligação à *internet*. Para que o servidor e a interface comuniquem corretamente entre si e os dados possam ser acedidos e amostrados, é necessário que o Apache e o Node-RED corram sempre que o módulo do servidor se encontre ligado. É necessário configurar estes *softwares* para iniciarem automaticamente com o ligar do módulo.

5.4.2 Página *web* SCADA

O desenvolvimento da página assenta na programação de ficheiros **HTML** e **CSS**, para a estrutura gráfica e disposição de objetos da mesma. Os eventos intrínsecos à página são moderados através de um ficheiro **JavaScript** que, em conjunto com os nós do Node-RED, acede à base de dados para retirar ou colocar dados e mostrar informação útil na página. Os ficheiros de criação estão alojados e divididos no nó *UIbuilder*, dando oportunidade e flexibilidade a eventuais alterações futuras.

5.4.2.1 Modo Manual e Modo Remoto de Controlo

No separador "Controlo" existe a opção de escolher entre definir a frequência de comando através do painel do variador, ativando o Modo Manual, ou remotamente através da página *web*, ativando o Modo Remoto, como mostra a Figura 5.14.

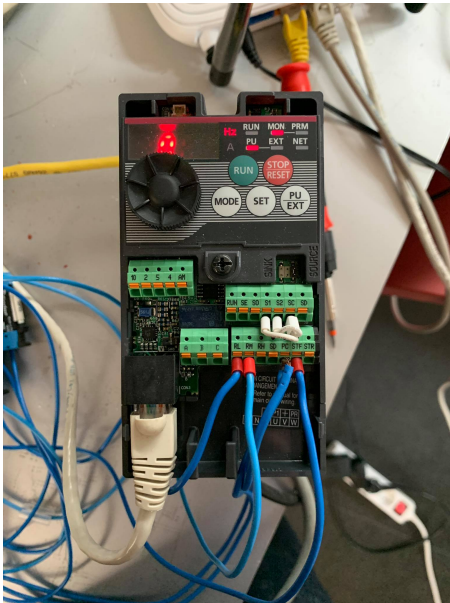
Assim como o Modo Manual é utilizado para controlar os parâmetros do variador (frequência de comando, frequência limite, aceleração, alarmes, entre outros) através do painel embutido, o Modo Remoto permite que o parâmetros da frequência de controlo seja controlada externamente através da ligação RS-485 com o módulo IoT (ESP32).

A Imagem (a) da Figura 5.15 representa o variador no Modo Manual em que o LED **PU** está aceso. A Imagem (b) da mesma Figura representa o variador em Modo Remoto em que o LED **NET** está aceso.

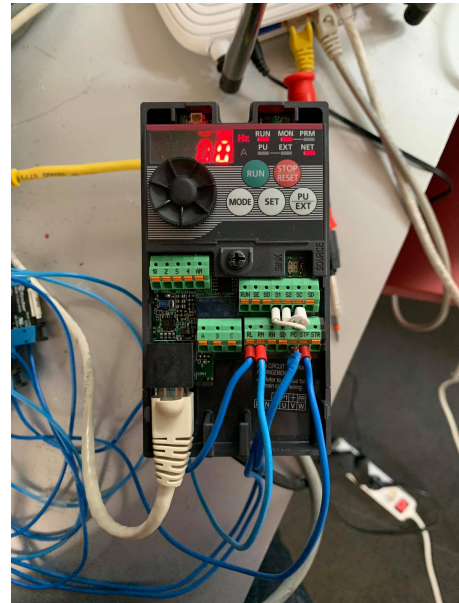
Estes dois modos são alcançados através da parametrização do variador (já mencionada na Secção 5.1) e os estados são ativados consoante a energização dos terminais configurados para o efeito (veja-se a Tabela 5.2).



Figura 5.14: Caixa de controlo dos modos de funcionamento do variador de frequência.



(a) Variador em Modo Manual

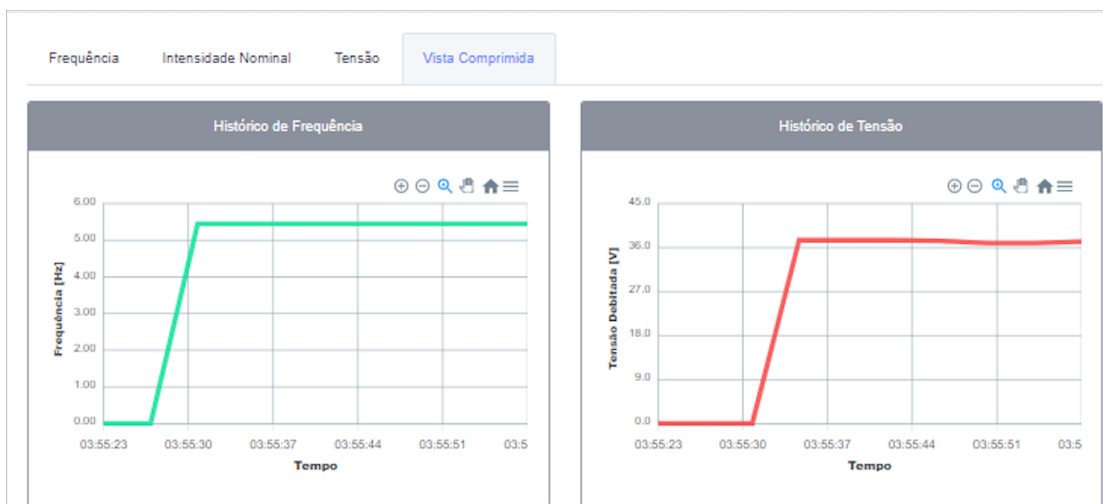


(b) Variador em Modo Remoto

Figura 5.15: Estados de funcionamento do variador.

5.4.2.2 Gráficos de Frequência, Intensidade de Corrente e Tensão

Um dos principais objetivos da página *web* é a visualização simples e intuitiva dos valores recolhidos em tempo real. Para tal, a solução que melhor se adequava seria a presença de um medidor (*gauge* na Figura 6.5) do Capítulo 5 acompanhado de um gráfico de monitorização em tempo real, que mostra o valor adquirido e a data/hora de aquisição, como mostra a Figura 5.16, onde está representada uma imagem dos gráficos de Frequência e Tensão em execução em tempo real:

Figura 5.16: Disposição dos gráficos de Frequência e Tensão (em função do tempo) no separador "Vista Comprimida" na página *web*.

5.4.2.3 Alarmes de Limite Atingido

A interface criada faz um registo dos eventos mais importantes que nela ocorrem. Esses eventos são registados no separador "Alarmes" e a página oferece a possibilidade de descarregar o ficheiro com a extensão `.txt`. É igualmente responsável por alertar por *e-mail* os utilizadores da mesma, caso se ultrapassem os limites definidos.

As opções de controlo que a interface oferece são registadas no separador, e os alarmes que surgem são acompanhados de um *popup*, como na Figura 5.18 que implica que o utilizador carregue no botão "OK" para poder prosseguir, obrigando desta forma ao conhecimento do alarme.

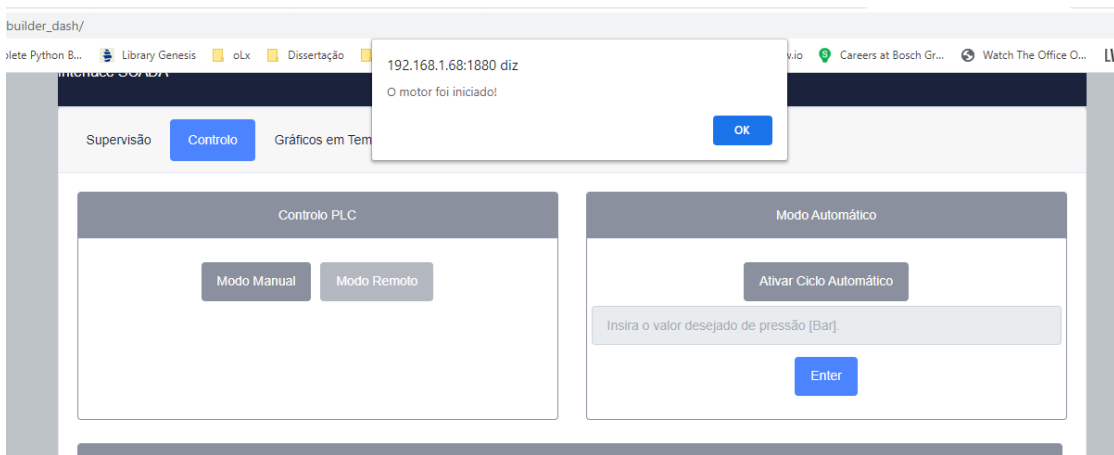


Figura 5.17: Exemplo de alarme acompanhado por um *popup*.

A interface está encarregue da gestão dos limites dos valores que disparam os alarmes, e, por meio do nó *email* do Node-RED enviam por *e-mail* os alertas de que os limites foram ultrapassados, de acordo com a Figura seguinte.

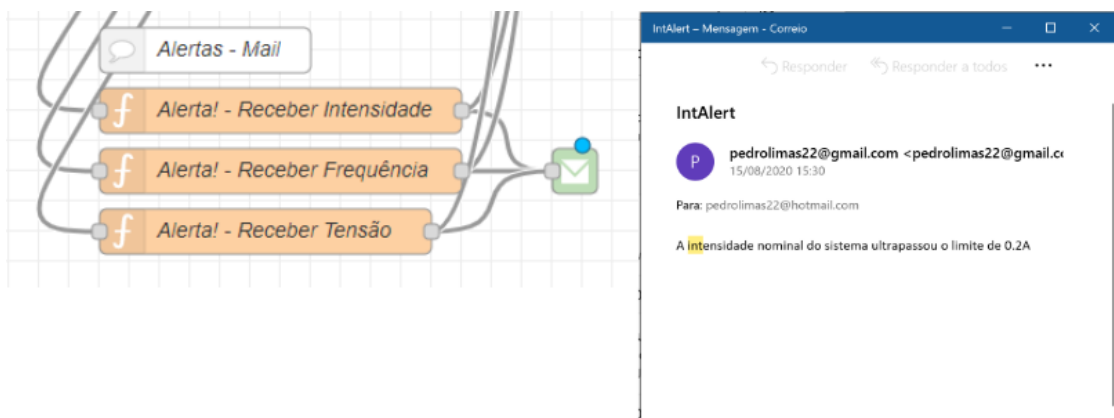


Figura 5.18: *Flows* do Node-RED e o exemplo de um alarme recebido via *e-mail*.

5.5 Modo Automático de Regulação de Frequência

Com o objetivo de mostrar a aplicabilidade prática deste projeto, desenvolveu-se um sistema automático de controlo e monitorização dos valores de frequência. Para o efeito, utilizou-se um módulo ADAM de aquisição de entradas analógicas e saídas digitais (**módulo AI/DO**) ADAM 6017, representado na Imagem (a) da Figura 5.20, para aquisição de sinais externos. A Figura 5.19 ilustra a arquitetura do funcionamento deste modo segundo o estilo da norma ISA95 [41].

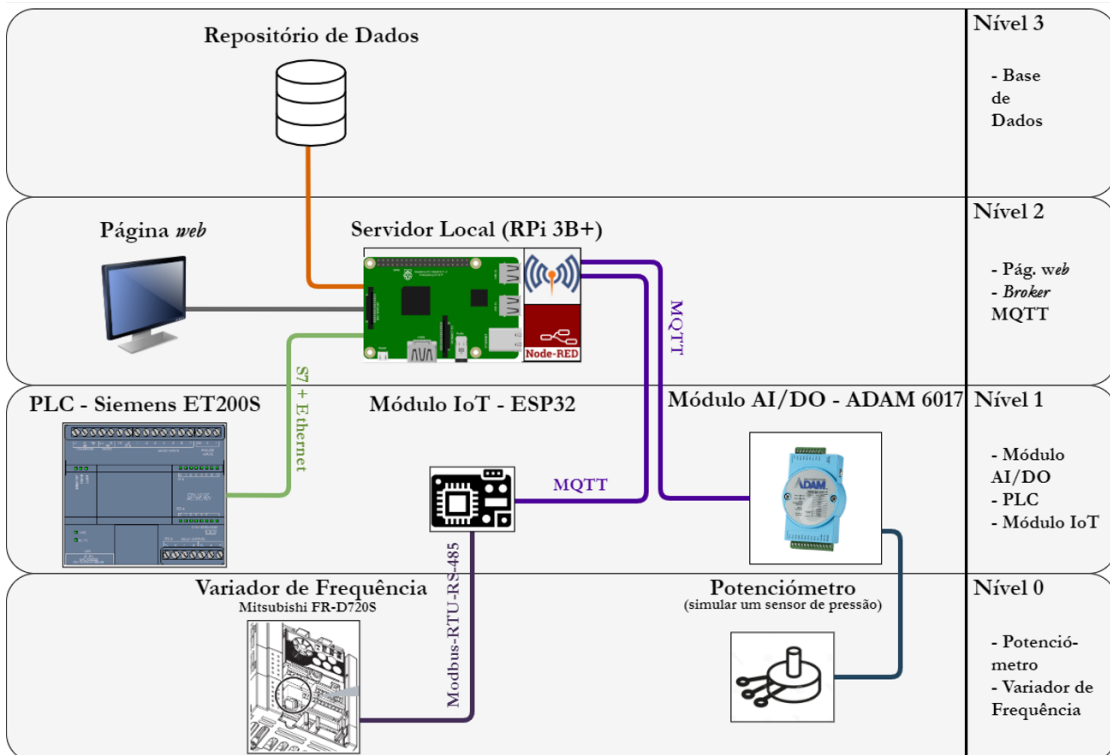


Figura 5.19: Arquitetura do Modo Automático de Regulação de Frequência segundo a norma ISA95 [41].

Para além do módulo de aquisição AI/DO (Imagem (a)), são necessários outros dispositivos, representados na Figura 5.20 para a realização da simulação:

- PLC Siemens ET200S - Imagem (b);
- Variador de Frequência Mitsubishi D720S - Imagem(c);
- Sistema de Aquisição de Dados- Imagem (d);
- Potenciômetro - Imagem (f) (para simular um sensor de pressão analógico) ;
- Motor Elétrico Trifásico - Imagem (e);
- Router TP-LINK WR-841N - Imagem (g).

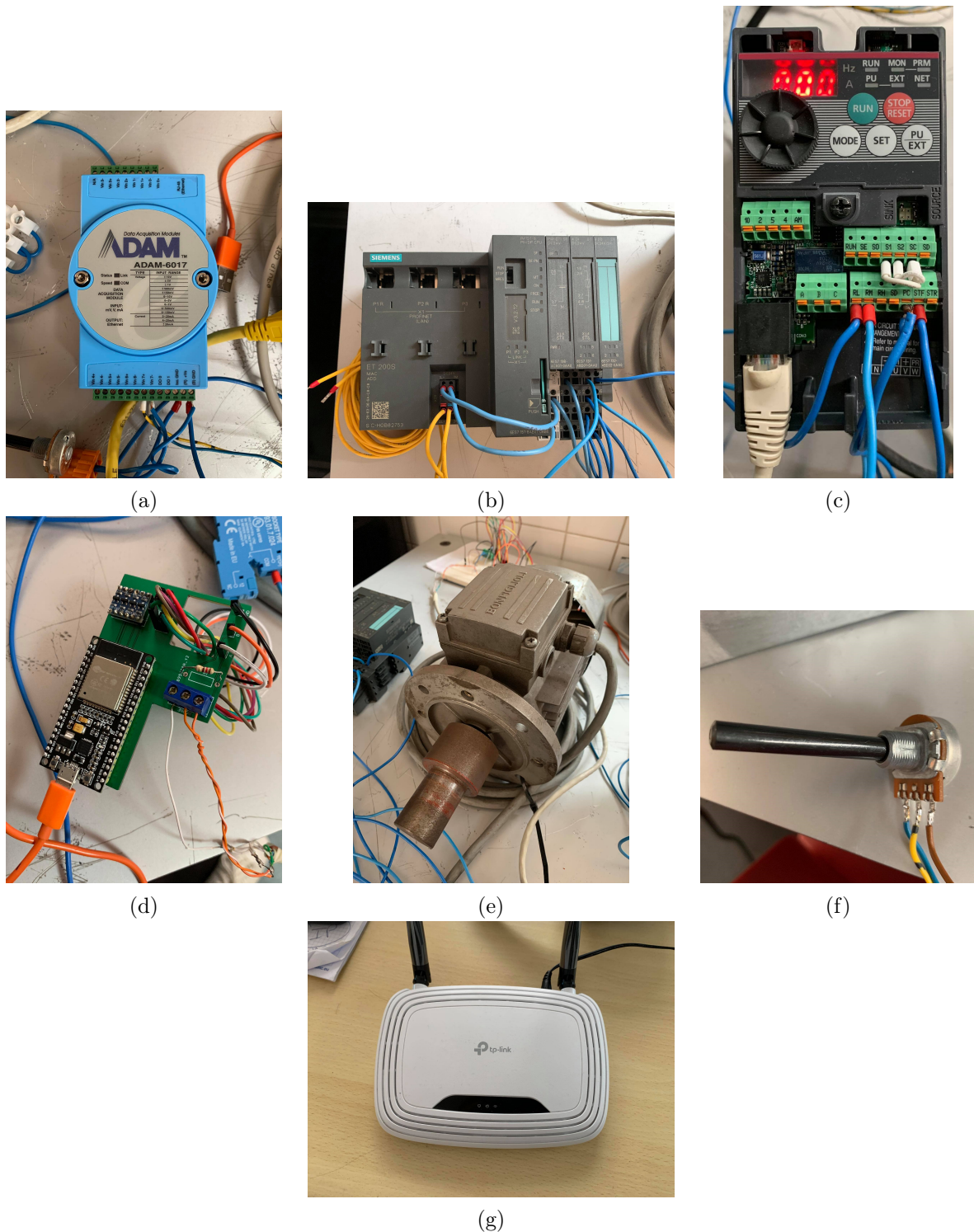


Figura 5.20: *Hardware* do Modo Automático: (a) ADAM 6017, (b) PLC Siemens ET200s, (c) Variador de Frequência Mitsubishi D720S, (d) Sistema de Aquisição de Dados, (e) Motor Trifásico, (f) Potenciômetro, (g) *Router* TP-LINK.

5.5.1 Funcionamento

Nesta subsecção explicar-se-á o funcionamento do modo automático desenvolvido. Começando pela camada mais baixa, a aquisição do valor analógico debitado pelo potenciômetro, é utilizado para simular um sensor de pressão à saída de uma bomba. Ligando o potenciômetro ao módulo e regulando o mesmo, a resistência altera o valor da tensão adquirida, que é então processada pelo módulo de aquisição de entradas analógicas. O módulo de aquisição possui ainda a vantagem de poder comunicar via **MQTT**, facilitando assim o envio e recepção de valores através do Node-RED.

5.5.2 Comunicação do Módulo de Aquisição de Entradas Analógicas (Módulo AI/DO)

A nível industrial, o controlo de aparelhos como variadores de frequência faz-se, geralmente, através da programação de autómatos, que são equipamentos dedicados a este tipo de aplicações. Desenvolveu-se um código em Node-RED e um programa *ladder* no TIA Portal numa tentativa de reproduzir as interações que acontecem num sistema real desde a aquisição de sinais até à reação do sistema face a esses *inputs*.

A comunicação com este módulo é feita através da sua porta *ethernet* e necessita de uma configuração prévia que é feita no *software*: ***AdamApax.NET Utility***. O *software* confere flexibilidade ao módulo, no sentido em que permite que este comunique segundo o protocolo Modbus ou através de uma ligação **MQTT**, disponibilizando, ainda, a possibilidade de consultar o estado das suas entradas analógicas, assim como o das suas saídas digitais através de uma página *web*, representada nas Figuras 5.21 (a curva ascendente a rosa representa o valor da tensão em função do tempo da **AI-7**) e 5.22 (onde se podem consultar os valores analógicos exatos) que é acedida inserindo no *browser* o IP do módulo.



Figura 5.21: Gráfico da aplicação *web* do Módulo de Aquisição I/O.

Analog Input Values			
Polling 43 times...			
AI-0	AI-1	AI-2	AI-3
0.045 V	0.003 V	0.002 V	0.001 V
AI-4	AI-5	AI-6	AI-7
0.001 V	-0.000 V	0.001 V	7.280 V
Digital Output Values			

Figura 5.22: Tensão das entradas analógicas do Módulo de Aquisição de Entradas Analógicas.

Na configuração deve-se definir o IP do dispositivo, o IP do *broker MQTT* e aplicar as alterações para que seja estabelecida comunicação.

5.5.2.1 Comunicação com o Node-RED

Desenvolveu-se um *flow* que subscrevesse o tópico **MQTT** onde os valores são publicados pelo módulo ADAM já devidamente configurado. Analisando a Figura 5.24 entende-se, de forma muito intuitiva, a lógica associada.

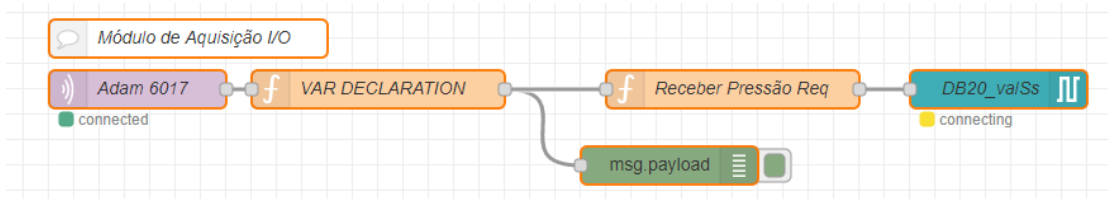


Figura 5.23: *Flow* em Node-RED para aquisição do valor analógico.

O valor analógico é adquirido subscrevendo o tópico **MQTT**. Este passa por um nó de funções onde é processado para ser convertido num valor adequado a esta aplicação, ficando, dessa forma, apto a ser escrito num *bit* de um *Datablock* do programa autómato.

5.5.2.2 Programação do Autómato no TIA-Portal

Recorrendo ao *software* **TIA-Portal** escreveu-se um programa *ladder* para fazer a gestão da frequência de comando do variador e, conseqüentemente, da velocidade do motor, em função de um *input* recebido, que é neste caso o valor da tensão analógica aos terminais do potenciómetro. O uso de um PLC para o controlo do valor da frequência de comando foi motivado por dois fatores: o controlo dos variadores de frequência na AviSabor é feito por autómatos e estudar a eficácia de um autómato num sistema automático neste projeto. Como já foi mencionado anteriormente, o Node-RED pode escrever ou ler valores contidos em *bits* de um autómato Siemens, através do nó **S7-Comm** disponibilizado.

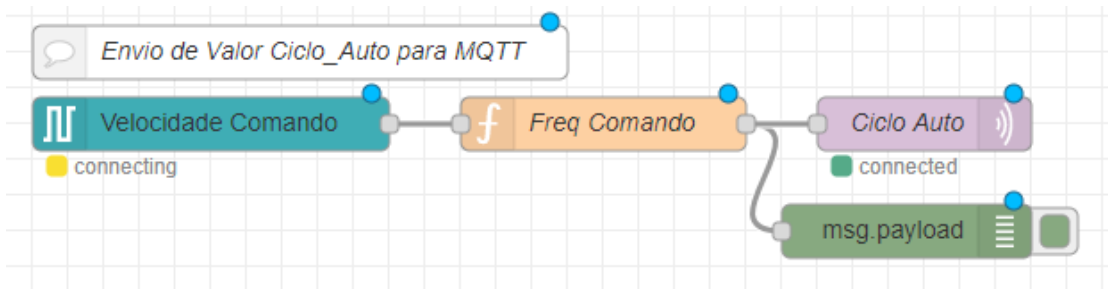


Figura 5.24: *Flow* de publicação do valor da frequência de comando num tópico MQTT.

Seguindo a lógica da Figura 5.24, consoante o valor da pressão à saída da bomba (simulada pelo valor analógico do potenciómetro), o autómato envia ao Node-RED um comando para aumentar ou diminuir a frequência de comando do variador para valores definidos pelo utilizador na interface. Este processa o valor enviado pelo autómato e usando um nó *function* para converter o valor recebido numa mensagem pronta a ser interpretada pelo variador, publicando-a num tópico **MQTT** exclusivo para este modo.

O ESP deverá estar igualmente subscrito a este tópico e, assim que enviada a mensagem, esta deverá ser convertida numa mensagem série e enviada ao variador, como se pode ver no fluxograma da Figura 5.25.

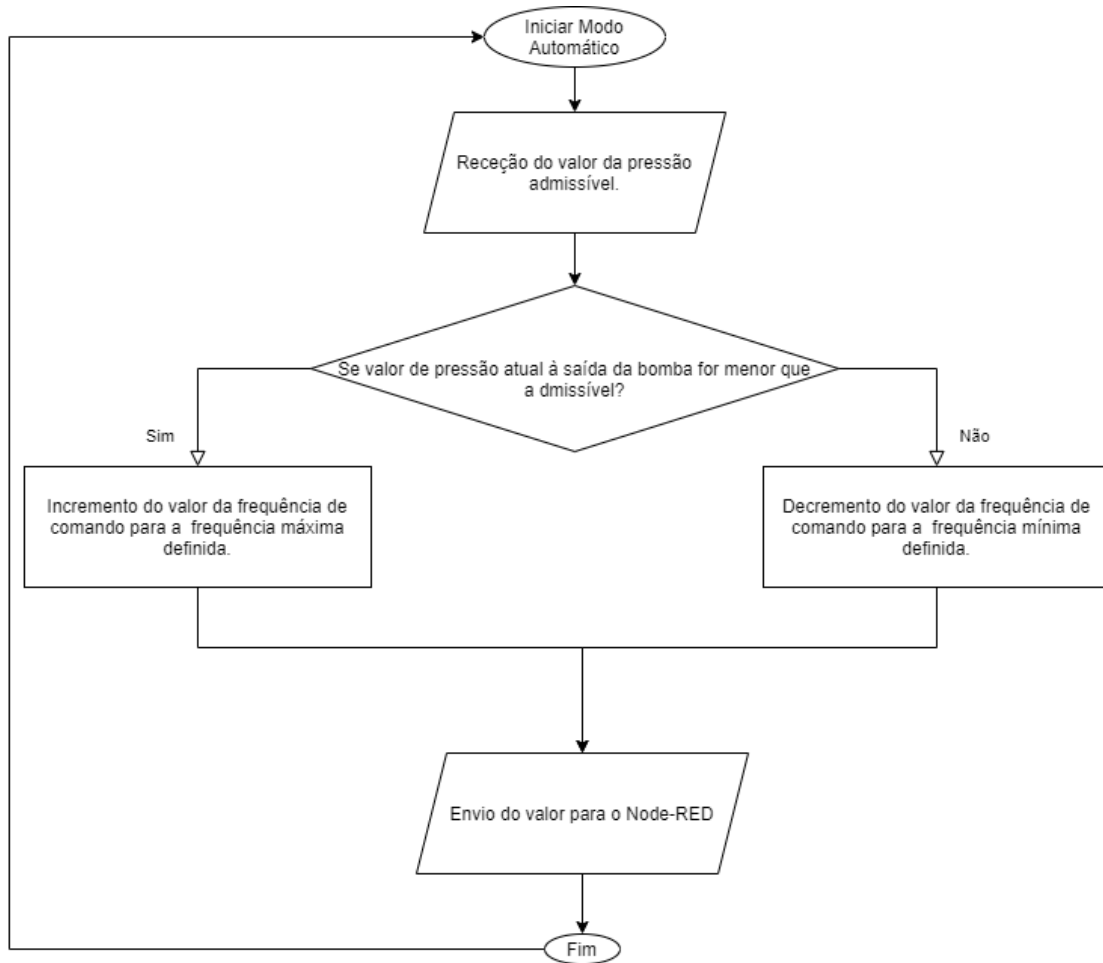


Figura 5.25: Fluxograma do programa *ladder* responsável pelo Ciclo Automático.

5.5.3 Sistema de Aquisição de Dados (FIT)

O seu funcionamento é igual ao já abordado na Secção 4.3, pelo que fica encarregue de estar à escuta de publicações no tópico **MQTT** onde o módulo publica. A mensagem recebida é então processada por um algoritmo que converte os dados extraídos numa mensagem série própria do protocolo Modbus-RTU, para ser interpretada pelo variador de frequência.

5.5.4 Ativação do Modo Automático de Regulação da Frequência

O Modo Automático é controlado a partir da caixa "Modo Automático" da página *web* da Figura 5.26, onde pode ser ativado ou desativado. Após a sua ativação, o utilizador deve definir o limite da pressão de saída admissível e os limites superior e inferior da frequência. O resto do processo é automático, pelo que o sistema reage em função do valor analógico adquirido pelo Módulo AI/DO, aumentando ou diminuindo a frequência de comando do variador de frequência.



Figura 5.26: Caixa do Modo Automático na página *web*.

5.5.5 Domínio de IP's

Em computação, uma rede de área local consiste numa rede de computadores utilizada para a interconexão entre equipamentos, cuja finalidade é a troca de dados. É um conjunto de *hardware* e *software* que permite a computadores individuais estabelecerem comunicação entre si, trocando informações e recursos [42].

Para a criação de uma rede local neste projeto, foi utilizado o *router* TP-LINK W841N (Imagem (g) da Figura 5.20). A rede local serviu para endereçar todos os equipamentos no mesmo domínio de rede e permitir desta forma que se fixassem os IP's para trocar mensagens com *hardware* específico do barramento.

Capítulo 6

Análise de desempenho

6.1 Desempenho do Sistema SCADA

Tendo em conta os requisitos definidos para a solução, este capítulo consiste numa análise crítica do desempenho da solução implementada por forma a verificar se a mesma cumpre os requisitos propostos.

6.1.1 Sistema de Aquisição de Dados (Frequência, Intensidade de Corrente, Tensão)

Relativamente ao desempenho do Sistema de Aquisição de Dados (FIT), dever-se-ia ter desenvolvido um método de comprovação de resultados para estudar a sua fiabilidade e robustez mediante a conceção de um mecanismo para gerar mensagens tanto no aparelho emissor como no recetor, para comprovar que as mensagens enviadas são efetivamente iguais às recebidas, assim como o tempo que demoram na transmissão para, dessa forma, verificar a fiabilidade do funcionamento do sistema desenvolvido. Há que destacar uma limitação que é a sua aplicabilidade noutro tipo de variadores. A programação do ESP foi realizada tendo por base a norma RS-485 do protocolo Modbus-RTU. Assim, qualquer dispositivo que se pretenda monitorizar ou controlar que comunique segundo as normas de outro protocolo, necessita do desenvolvimento de um algoritmo específico que siga as regras adequadas.

Os resultados obtidos com este Sistema de Aquisição foram os esperados, sendo que esteve a funcionar várias horas ininterruptamente e este manteve-se fiável em execução, cumprindo o seu propósito de escrita/leitura de registos do variador.

6.1.2 Servidor Local (Raspberry Pi)

O módulo utilizado para servir de servidor na realização deste projeto foi um Raspberry 3 Model B 5.3.1.

O aparelho cumpriu o seu papel ao desempenhar as tarefas impostas, funcionando tanto como um *broker MQTT* e como armazém de toda a informação. Todas as ligações estabelecidas pelo mesmo, mantiveram-se estáveis em toda a sua duração.

O nome e função das tabelas criadas na base de dados podem ser consultadas na Tabela 6.1 a seguir:

Tabela 6.1: Tabelas criadas na base de dados.

Nome	Função
Valores_VFD	Armazena os valores adquiridos de frequência, tensão e intensidade de corrente
LimCicloAuto	Armazena os valores limite de frequência máxima, mínima e pressão de <i>setpoint</i> definidos pelo utilizador
LimAlarmes	Armazena os valores limite de frequência, intensidade de corrente, e tensão que fazem disparar os alarmes definidos pelo utilizador

Para testar as funcionalidades do sistema, deixou-se o Sistema de Aquisição e os restantes aparelhos a funcionar durante 6 horas aproximadamente. A nível de leitura e de escrita na Base de Dados, o Node-RED não apresentou quaisquer falhas na comunicação, cumprindo sempre o seu papel de intermediário entre os dados registados ou a registar e a amostragem dos mesmos na página *web*.

Uma outra solução viável para guardar ou ler valores da base de dados, seria através do envio de pedidos **HTTP** ao servidor.

Na Figura 6.1 pode-se ver o fluxo responsável pela seleção dos valores de frequência, intensidade de corrente e tensão mais recentes da Tabela "Valores_VFD" do repositório de dados, seguido da conversão do respetivo valor para formato **JSON** e a criação de um *array* com esse valor e a data e hora do registo para ser reencaminhado para a página *web*.

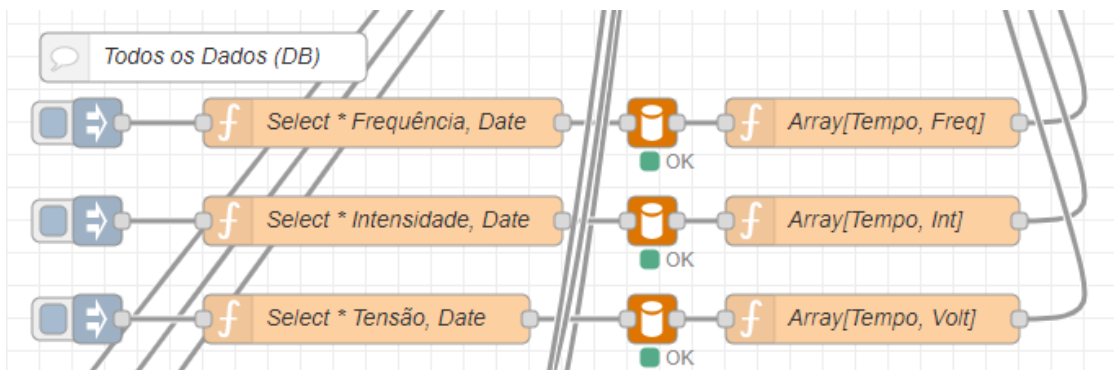


Figura 6.1: Nós de comunicação com a base de dados.

6.1.3 Página *web*

O resultado final da página *web* (interface) encontra-se representado na Figura 6.4. A Figura 6.2 mostra as várias abas acessíveis dentro da página, cada uma contendo informações diferentes mas relacionadas. Desta forma, a página encontra-se dividida da seguinte forma:

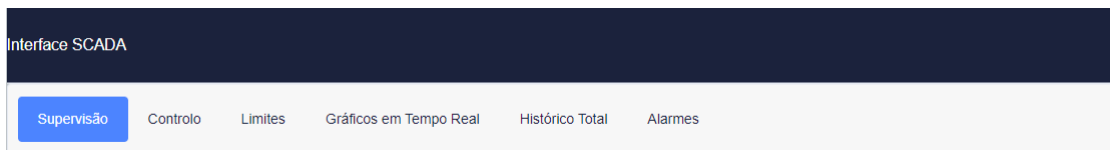


Figura 6.2: Vários separadores presentes na interface.

- **Supervisão** - Valores instantâneos, gráficos em tempo real e principais alarmes;
- **Controlo** - Possibilidade de controlar a frequência, escolher entre modo manual e remoto, ativar o Modo Automático e comandos básicos (arranque/paragem);
- **Limites** - Alteração dos valores limite que fazem disparar os alarmes;
- **Gráficos em Tempo Real** - Amostragem dos valores recolhidos instantaneamente;
- **Histórico Total** - Visualização de todos os registos da base de dados;
- **Alarmes de Limite Atingido** - Concentra os principais eventos e alarmes que vão ocorrendo.

6.1.3.1 Supervisão

O separador "Supervisão" consiste num sinóptico global onde são apresentados em *gauges* os valores que estão a ser adquiridos no momento, os gráficos em tempo real e uma caixa de alarmes onde são registados os principais eventos e alarmes. A atualização dos valores não é instantânea e demora cerca de 1.5-2 segundos a atualizar.



Figura 6.3: *Gauges* associados a cada variável.

6.1.3.2 Controlo

O separador "Controlo" é, como o nome indica, onde se controla o estado das bombas (maior ou menor velocidade) através da parametrização da frequência de comando do variador. Para isso, deve-se definir qual o modo de funcionamento do variador, manual ou remoto e de seguida, basta arrastar o *slider* ou escolher diretamente um valor. O tempo reação do sistema aos comandos enviados é praticamente nulo, pelo que o controlo sobre a execução do sistema se pode considerar instantâneo.

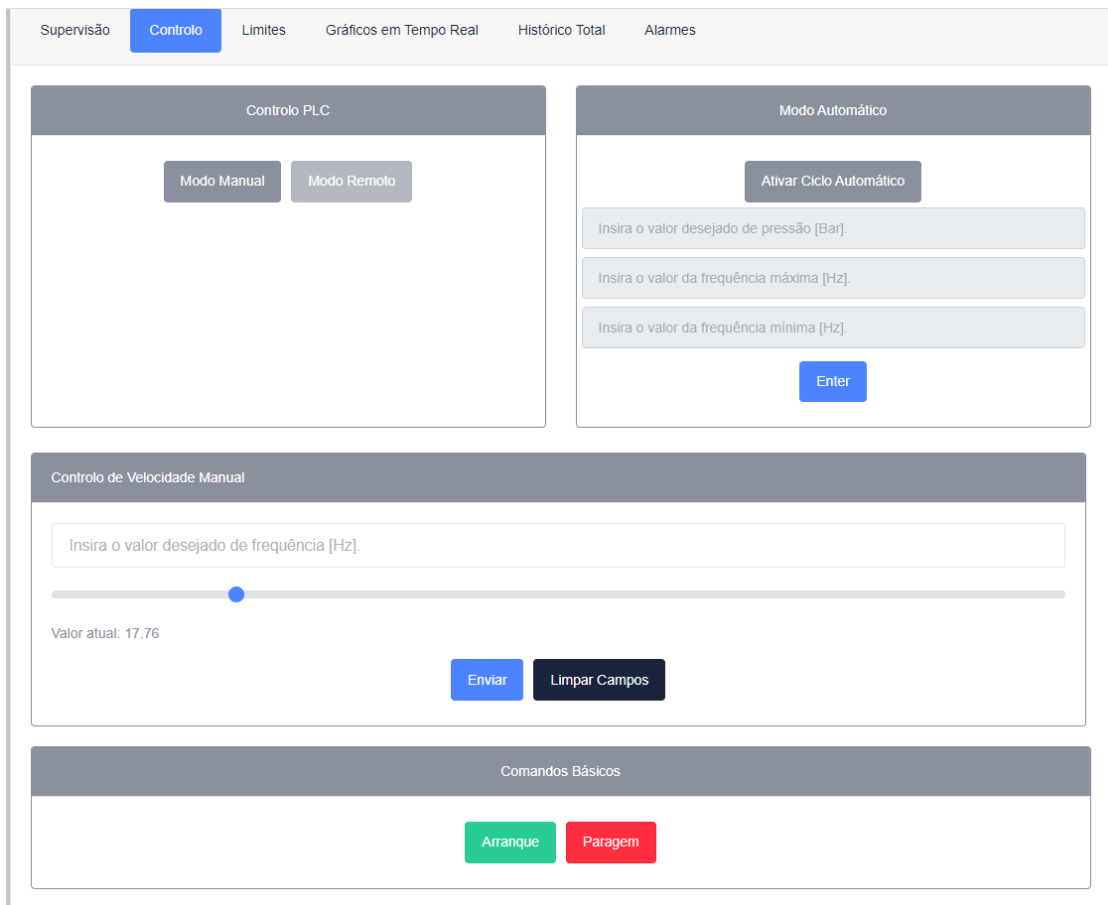


Figura 6.4: Exemplo da aba de "Controlo" da página *web*.

6.1.3.3 Gráficos

Tanto o separador "Gráficos em Tempo real" e "Histórico Total" têm a mesma função que é a amostragem dos valores recolhidos em gráficos. No entanto, o primeiro mostra os valores adquiridos no momento, e o segundo mostra todos os valores registados na base de dados. Os valores recolhidos são armazenados em intervalos de 3 segundos, pelo que o separador dos "Gráficos em Tempo real" atualiza os seus gráficos a cada 3 segundos com o último valor armazenado, que coincide com o último valor recolhido.

Poder-se-ia implementar um registo de valores com maior cadência, por exemplo, de 1 em 1 segundo. No entanto, um armazenamento e pedido de leitura de valores num intervalo de tempo tão curto pode gerar incongruências na amostragem da informação e

estes não serem representativos dos valores que estão a ser realmente adquiridos.

6.1.3.4 Alarmes de Limite Atingido

O separador "Alarmes" é exclusivamente dedicado ao registo dos principais eventos e alarmes que acontecem na *dashboard*. Este dá ainda a opção ao utilizador de fazer o *download* do registo desses eventos para serem consultados posteriormente. Em apêndice está uma demonstração simples para a conversão de um ficheiro *.txt* num ficheiro cuja extensão é compatível com Excel, para melhor organização da informação.

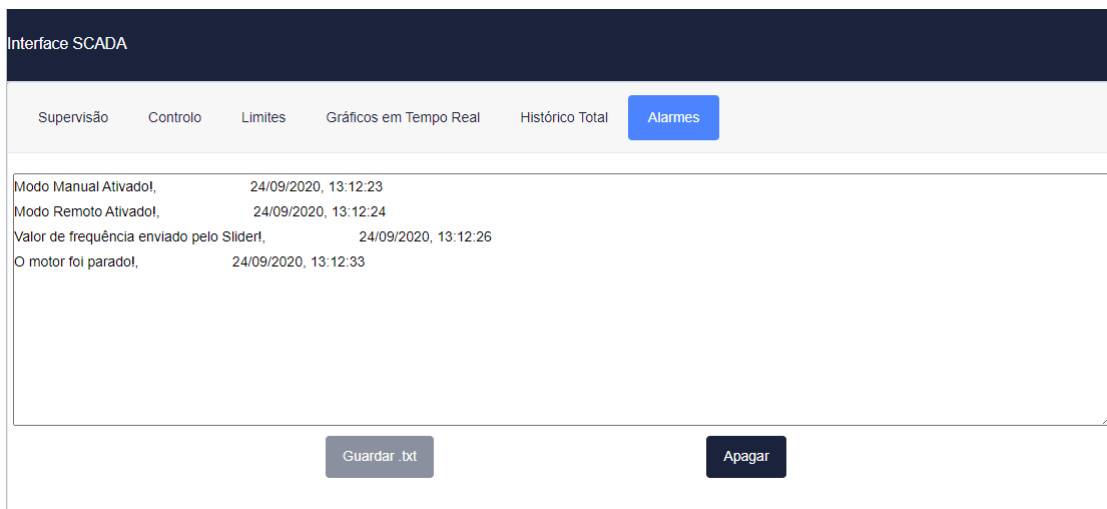


Figura 6.5: Conteúdo do separador de alarmes.

6.1.4 Modo Automático de Regulação de Frequência

A implementação deste modo serviu para teste da aplicabilidade e do funcionamento de todo o sistema.

6.1.4.1 Reação do Sistema

Os dados adquiridos são escritos num *bit* específico de um programa autómato desenvolvido para o efeito. Consoante os limites definidos pelo utilizador no separador "Limites" da interface, o sistema reage, aumentando ou diminuindo a frequência de comando. O tempo de reação ronda 4 segundos, pelo que não pode ser considerado rápido. No entanto, cumpre o seu propósito, regulando o valor da frequência de comando.

6.1.5 Modo Remoto vs Modo Automático de Regulação de Frequência

Esta secção tem por fim a comparação dos dois modos implementados: o Modo Remoto e o Modo Automático de Regulação de Frequência.

O Modo Remoto foi desenvolvido para permitir controlar a frequência de comando do variador a partir da página *web*, enquanto que o Modo Automático foi desenvolvido para testar a reação do sistema face a um *input* que foi o valor analógico da tensão de um potenciômetro.

Com o desenvolvimento destes dois modos, torna-se interessante perceber a diferença entre eles e as vantagens e as desvantagens que têm um relação ao outro. Para isso, consulte-se a Tabela 6.2:

Tabela 6.2: Tabelas de comparação dos modos.

Tempos de Resposta em função de eventos	Modo Remoto	Modo Automático
Arranque	0s	0s
Paragem	0s	0s
Alteração do valor da frequência de comando	0s	4s
Alarme	0s	0s
Alerta via <i>e-mail</i>	3s	3s

Por um lado, no Modo Remoto, detém-se maior controlo sobre o variador de frequência, dado que é possível regular a frequência de comando (até à frequência máxima de 400Hz) com total liberdade. Assim, é possível controlar a velocidade do veio de um motor ou o caudal à saída de uma bomba de forma instantânea, o que pode constituir uma vantagem em alguns projetos IoT. Como numa qualquer cadeia de produção se pretende, geralmente, automatizar a grande maioria dos processos, haver um modo que implique que haja alguém a operar um equipamento (neste caso, um variador de frequência) não é viável, pelo faz todo o sentido o desenvolvimento de um modo em que o utilizador apenas tenha que introduzir os parâmetros entre os quais o equipamento pode variar em função de um determinado *input*. No entanto, há que destacar que o tempo de reação Modo Automático é significativamente superior ao Modo Remoto, refletindo-se no atraso do incremento/decremento de velocidade de uma bomba.

Capítulo 7

Conclusões e Trabalhos Futuros

7.1 Conclusões

Atualmente, com o avanço tecnológico e a introdução da indústria 4.0, o mercado exige ferramentas cada vez mais poderosas e precisas, que permitam grande flexibilidade e controlo sobre o processo produtivo ou parte dele, garantido o cumprimento de todas as fases e desta forma assegurar a qualidade do produto final.

A falta de supervisão dos equipamentos conduz muitas vezes a situações em que tanto o fluxo produtivo como os aparelhos que fazem parte de um processo ficam comprometidos, pelo que é cada vez mais importante que haja um acompanhamento constante do processo produtivo. Assim, a monitorização assume um papel fulcral em qualquer indústria, visto que permite um acompanhamento eficaz da matéria-prima enquanto esta é processada até se transformar no produto final, pronto a ser expedido.

Desta forma, em colaboração com a AviSabor, S.A, foi proposto o desenvolvimento de um Sistema SCADA para apoio à manutenção dos equipamentos associados ao sistema de bombeamento de água para o interior da instalação fabril. Este assentava nos dois pressupostos supramencionados, ou seja, supervisão e controlo dos variadores de frequência responsáveis pelo controlo das bombas que distribuem água pela empresa e dos autómatos que os controlam. Como estes equipamentos se encontram numa parte externa à fábrica, sempre que exista um problema relacionado com a captação de água (por falta de água nos reservatórios, no caso de haver uma bomba desferrada, se uma bomba queimar devido a picos de corrente ou de tensão), os técnicos de manutenção se tenham que deslocar até à sala para poder averiguar a situação e encontrar uma solução. Um dos focos seria então permitir a aquisição dos valores contidos nos registos destes variadores de frequência e enviá-los para uma parte central da empresa por forma a não haver deslocações desnecessárias. Outro foco consistiu em aplicar manutenção preventiva no processo produtivo no sentido em que, de acordo com os limites (de frequência, intensidade de corrente ou tensão) que se impusessem e os dados que estivessem a ser adquiridos, o protótipo envia alarmes por *e-mail* ao utilizador, por forma a notificá-lo de consumos anormais de corrente ou de tensão.

O estudo da eficiência energética do sistema de bombeamento teria sido de grande utilidade. Acedendo aos registos do variador, podem-se adquirir os valores de consumo energético que podiam ter conduzido o trabalho realizado para a otimização da eficiência energética do sistema de bombeamento. No entanto, como o problema surgiu de um pressuposto prático, com a falta de supervisão, o trabalho acabou por se focar na

automatização desse aspeto para solucionar apenas esse problema.

Apesar de pouco complexo, o sistema idealizado é funcional, sendo capaz de cumprir os objetivos propostos no início da concretização deste projeto. Foram desenvolvidas duas versões deste sistema: uma primeira, em que o Sistema de Aquisição de Dados assenta numa placa de teste (*breadboard*) e uma segunda, numa placa de circuito impresso (PCB). A versão desenvolvida na *breadboard* teve apenas o intuito de testar todas as capacidades do sistema em laboratório e, quando validados esses testes, desenvolveu-se uma nova versão assente numa PCB, que foi concebida pela flexibilidade que esta dá, podendo-se alterar os componentes facilmente.

Ao nível da implementação na empresa, o projeto ficou na fase de prova de conceito, ou seja, todos os testes foram realizados com equipamentos de substituição, diferentes dos utilizados pela AviSabor. Ainda que os protocolos de comunicação dos variadores da empresa e os de teste sejam iguais, a nível industrial, os autómatos e os variadores estão protegidos para assegurar as condições de operação e desta forma evitar alteração dos programas em execução ou até roubo de informação.

Relativamente aos resultados obtidos, foram realizados testes de precisão e fiabilidade das amostras recolhidas. Ao nível da monitorização, fez-se variar a frequência do comando sem qualquer critério, apenas com o intuito de testar a capacidade de aquisição de dados reais do protótipo desenvolvido. O Sistema de Aquisição de Dados mostrou-se robusto e a recolha de valores manteve-se precisa ao longo da duração dos testes, sendo os parâmetros coincidentes com os indicados pelo painel do variador. Ao nível do controlo, a resposta do sistema é instantânea, sendo que o tempo de reação do sistema face ao *input* de um novo valor de frequência de comando é nulo, o que o torna muito rápido e prático.

Seguindo esta linha de ideias, implementou-se um Modo Automático de Regulação de Frequência (abordado na Secção 5.5) para tentar aproximar o comportamento do sistema desenvolvido ao que aconteceria caso se adaptasse o mesmo num ambiente industrial. Utilizou-se o valor da tensão analógica aos terminais de um potenciómetro para simular o valor adquirido por um sensor de pressão à saída de uma bomba e fez-se variar manualmente o mesmo para estudar o comportamento do sistema. A lógica é simples: com o aumento da pressão de saída, diminui-se a frequência de comando para ajustar o valor da pressão, sendo o contrário igualmente válido, ou seja, com a diminuição do valor da pressão de saída, aumenta-se o valor da frequência de comando. Tudo isto acontece de forma automática graças ao programa *ladder* em execução no autómato, sendo apenas necessário fazer variar o valor analógico da tensão aos terminais do potenciómetro, que atua como um *input*.

O motor AC utilizado não tinha carga. Dessa forma, como se configurou o variador de frequência para que o motor tivesse um torque pequeno, reduziu-se em laboratório a velocidade do veio através do uso de materiais com elevada fricção encostados ao veio. Ora para a mesma frequência de comando, esta redução provoca picos de corrente e de tensão devido ao esforço do motor para fazer rodar o veio à velocidade suposta. Definindo limites inferiores ao valor máximo dos picos de qualquer um dos parâmetros, o alarme é lançado na página *web* e o utilizador recebe de imediato um *e-mail* que o avisa sobre o alcance deste limite, para que este tenha oportunidade de atuar sobre o equipamento em esforço.

Uma limitação deste projeto, é a sua aplicabilidade noutro tipo de variadores. A programação do microcontrolador (ESP32) foi realizada tendo por base a norma RS-485 inerente ao protocolo ModBus-RTU. Assim, qualquer dispositivo que se pretenda monito-

rizar ou controlar que comunique segundo outro protocolo, necessita do desenvolvimento de um algoritmo específico que siga as normas adequadas. Apesar da elevada taxa configurada para o envio e receção de mensagens, é importante que os equipamentos fiquem à escuta mais tempo do que o necessário teoricamente (*delay*) para que estes possam processá-las devidamente e reencaminhá-las para os destinatários certos, podendo, caso contrário, dar-se a um registo errado de dados.

Comparando com outras soluções abordadas no Capítulo 3, vê-se que existem ainda inúmeras otimizações que podiam ser aplicadas e tornar a solução atual numa mais prática e adaptável. O curto alcance de comunicação sem fios inter-dispositivos implica que todo os componentes deste sistema estejam dispostos perto uns dos outros. Apesar de um dos objetivos deste projeto ser o controlo remoto, este é apenas possível se todos eles estiverem ligados a uma rede que gire o IP de todos os equipamentos. Ainda que seja possível associar uma rede local à *internet*, no testes realizados na AviSabor isso foi difícil, visto que os variadores de frequência se encontram numa zona da empresa que as redes WiFi não conseguem alcançar e onde uma ligação GSM não é estável, dificultando a possibilidade de comunicação *online*.

O Node-RED foi a ferramenta que serviu de base a este projeto. Consiste num ambiente de desenvolvimento baseado em fluxos, ou *flows* para programação visual concebida para interligar equipamentos físicos (*hardware*) a Interfaces de Programação de Aplicações (as *API's*) a serviços *online* [43]. Este reúne uma série de condições que o tornam numa ferramenta ótima para aplicações IoT dada a sua rápida e fácil implementação. A sua lógica é de muito fácil interpretação e construir uma sequência de operações consiste em arrastar nós (existem inúmeros pacotes - *palletes* - de nós para todo o tipo de aplicações: ligação a PLCs, ligação a bases de dados MySQL, criação de páginas *web* entre outros) e uni-los, não havendo necessidade de conhecimentos profundos de programação. Este *software* tem uma riqueza de bibliotecas enorme, tendo já sido utilizado para inúmeras aplicações que são armazenadas em repositórios como o GitHub e graças aos seus utilizadores e *developers* vai ficando mais cada vez mais refinado.

Quanto aos protocolos utilizados, note-se que as soluções abordadas no Capítulo 3 não fazem uso da ferramenta Node-RED nem do protocolo **MQTT** para a troca de informação, usando para isso ambientes de programação convencionais e o protocolo **HTTP**. O protocolo **MQTT** revelou-se uma ferramenta muito capaz e adequada a aplicações IoT, contendo três níveis de *QoS* (veja-se a Tabela 4.2), a opção *Last Will and Testament*, responsável por alertar os clientes sobre a desconexão de outro ao *broker*, e a opção *Retained Messages*, na qual um cliente subscrito a um tópico recebe de imediato a última mensagem publicada, o que constitui uma vantagem relativamente ao protocolo **HTTP**, que recorre a mensagens mais pesadas e a cabeçalhos mais complexos para gerir as trocas de informação entre o cliente e o servidor.

O módulo utilizado para o servidor foi um Raspberry Pi 3B+. Ao longo de todos os testes realizados, o dispositivo mostrou um desempenho aceitável. No entanto, há que realçar que, a sua execução em períodos mais longos provocava um aumento de temperatura no dispositivo e, como este não é refrigerado, notaram-se algumas paragens na execução do Node-RED, chegando mesmo ao ponto de mandar o *software* abaixo e o módulo se reiniciar sozinho. Não foram ocorrências frequentes nem problemáticas, no entanto em ambiente industrial podem levar a perdas de informação que pode ser importante para a execução das tarefas no posto onde o aparelho se encontra implementado.

Concluindo, o sistema mostrou-se fiável na execução dos objetivos propostos em la-

boratório. No entanto, convém destacar que a sua aplicabilidade seria um ambiente industrial, que em muitos casos são ambientes com condições austeras (quer de ruído eletromagnético, poeiras, humidade, temperatura, entre outros) e, portanto, a sua fiabilidade não é um dado certo. Dever-se-ia ter realizado uma série de testes mais intensos as capacidades do Sistema de Aquisição de Dados sob stress, compondo à prova a sua verdadeira eficácia em ambiente industrial.

7.2 Trabalhos Futuros

Terminado este projeto mas mantendo um olhar crítico sobre o foi feito, percebe-se que a abordagem ao problema podia ter sido feita de outras maneiras. De seguida, far-se-ão algumas sugestões para complementar e otimizar o presente projeto:

- No Sistema de Aquisição de Dados, este pode ser mais compacto, deixando de lado os módulos separados e usando apenas os componentes estritamente necessários. O Sistema projetado faz uso do protocolo Modbus-RTU para receber valores dos registos do equipamento. Uma opção interessante seria a conceção de algoritmos para comunicar segundo as normas de outros protocolos, como por exemplo o protocolo DeviceNet, comum nos variadores da marca dinamarquesa Danfoss, utilizados também pela AviSabor.
- O Sistema de Aquisição de Dados liga-se a uma rede local que reencaminha toda a informação para o servidor. No entanto, para além de todo os aparelhos se encontrarem próximos uns dos outros, não se utilizou nenhum módulo que permitisse comunicação de longo alcance com outro microcontrolador com ligação à *internet* (ligação à WiFi da empresa, por exemplo). Um módulo LoRa é um dispositivo de comunicação sem fios que recorre à modulação de ondas de rádio para comunicações de longo alcance e que pode facilmente ser implementado para operar em conjunto com um ESP32. Na Figura 7.1 está representado um esquema simples do seu funcionamento, no qual um módulo de recolha de dados (*moisture sensor*), cujo funcionamento se assemelha ao deste projeto, reencaminha o a informação recolhida para uma página *web* alojada num servidor, graças ao *chip* LoRa.

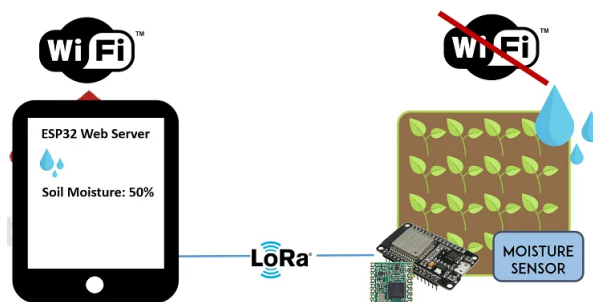


Figura 7.1: Esquema representativo do funcionamento de um *chip* LoRa.

- Uma adição interessante seria a implementação um algoritmo de *Machine Learning*. Como este projeto foi desenvolvido em laboratório, as condições são muito controladas. A ausência de fatores próprios de um ambiente industrial como ruído

eletromagnético, alcance das comunicações, entre outros, condicionaram o desempenho do sistema no sentido em que não houve falhas de troca de mensagens e discrepâncias nos valores adquiridos, e quando houve, foi devido a eventos muito esporádicos que despoletaram esses erros que deram origem a alguns dados sem expressão. Desta forma, não havendo um padrão de dados real, não se justifica a implementação de um algoritmo de *Machine Learning* neste projeto. No entanto, em ambiente real, se se quisesse efetuar uma manutenção preditiva nestes equipamentos, seria impreterível o desenvolvimento de um projeto que não recorresse a *Machine Learning*, visto que o intuito de uma manutenção deste tipo é prever a falha antes que esta ocorra. Assim, ao contrário da Manutenção Preventiva, que recorre às estatísticas do tempo útil de vida de um equipamento, a Manutenção Preditiva baseia-se na condição atual de qualquer equipamento para estimar a necessidade de manutenção.

- A interface gráfica desenvolvida resultou apenas numa implementação local. De facto, ainda que esta seja facilmente acedida através de uma ligação *wireless*, implica que o utilizador tenha que estar ligado à mesma rede que o servidor onde esta se encontra. Seria interessante alojar a página *web* e o repositório de dados numa *cloud* (como a **Microsoft Azure IoT Suite**) para que se possa aceder ao sistema SCADA de forma remota, a partir de qualquer rede WiFi, a qualquer momento.
- Na AviSabor existem equipamentos ao longo da linha de produção sem qualquer tipo de supervisão. Seria de maior utilidade ter mais sistemas SCADA a funcionar como o deste projeto, no sentido em que, havendo um mecanismo de envio de alarmes a partir de um aparelho específico, os técnicos de manutenção podiam atuar na fonte do problema. Situações deste género ocorrem frequentemente, em que os técnicos têm que andar à procura da avaria ao longo da linha.

Bibliografia

- [1] J. P. O. Santos, “Apontamentos Teóricos de Automação II 2017-2018.” Universidade de Aveiro.
- [2] K. Sipsas, K. Alexopoulos, V. Xanthakis, and G. Chryssolouris, “Collaborative maintenance in flow-line manufacturing environments: An Industry 4.0 approach,” 2016.
- [3] A. F. F. de Caldas, “Proposta de uma solução SCADA para a manutenção preditiva,” Master’s thesis, Universidade de Aveiro, Novembro 2016.
- [4] A. M. P. R. Rodrigues de Almeida, “Monitorização e controlo remoto de sistemas de rega agrícola,” Master’s thesis, Universidade de Aveiro, 2017.
- [5] “ODBC,” Maio 2020. Disponível em: <https://pt.wikipedia.org/w/index.php?title=ODBC&oldid=58201026>, Acedido em: 2020-11-26.
- [6] M. Corporation, “O que é o ERP e porque precisa dele? | Microsoft Dynamics 365.” Disponível em: <https://dynamics.microsoft.com/pt-pt/erp/what-is-erp/>, Acedido em: 2020-11-26.
- [7] “SCADA,” Outubro 2020. Disponível em <https://en.wikipedia.org/w/index.php?title=SCADA&oldid=981543773>, Acedido em: 2020-03-22.
- [8] D. Silva e Costa, “Sistemas de Supervisão e Controlo Integrados,” Master’s thesis, Universidade de Aveiro, 2009.
- [9] G. Tiburski, T. Moreira, and M. Misaghi, “Integração de Sistema Supervisório SCADA e ERP para controle de produção em tempo real,”
- [10] M. Åkerman, *Implementing Shop Floor IT for Industry 4.0*. PhD thesis, 06 2018.
- [11] “Simatic WinCC (TIA Portal) Runtime.” Disponível em <https://mall.industry.siemens.com/mall/en/WW/Catalog/Products/10091384?tree=CatalogTree>, Acedido em: 2020-05-10.
- [12] “Movicon Power HMI Win32/64/CE.” Disponível em <https://www.pixsys.net/en/products/software-tools-complementary-fittings/movicon-scada>, Acedido em: 2020-05-10.
- [13] “Simatic S7-1200 - Take Control of Communication.” Disponível em <https://new.siemens.com/global/en/products/automation/systems/industrial/plc/s7-1200.html>, Acedido em: 2020-05-11.

- [14] OMRON, *Technical Explanation for Inverters*, Junho 2012. Rev. 10.0.
- [15] “Delta AC Drives.” Disponível em: <https://www.deltacdrives.com>, Acedido em: 2020-10-24.
- [16] “NodeMCU ESP-32S.” Disponível em https://docs.zerynth.com/latest/reference/boards/nodemcu_esp32/docs/, Acedido em: 2020-03-04.
- [17] D. U. Press, “A Internet das Coisas (IoT – Internet of Things).” Disponível em <https://www.cncs.gov.pt/a-internet-das-coisas-iot-internet-of-things/>, Acedido em: 2020-07-07.
- [18] E. Foundation, “White Papers | IoT development made simple - iot.eclipse.org.”
- [19] P. Ferrara, A. Mandal, A. Cortesi, and F. Spoto, *Cross Programming Language Taint Analysis for the IoT Ecosystem*. Abril 2019.
- [20] “Microsoft Azure IoT Suite – Connecting Your Things to the Cloud | Blogue e Atualizações do Azure | Microsoft Azure.” Disponível em <https://azure.microsoft.com/pt-pt/blog/microsoft-azure-iot-suite-connecting-your-things-to-the-cloud/>, Acedido em: 2020-07-07.
- [21] R. Kang, “From Big Data to Business Intelligence - An Important Step Toward Gaining Advantages in the IoT Market,” *Advantech*, Março 2015. Disponível em <https://www.advantech.com/embedded-boards-design-in-services/embedded-iot/insight/0ed41d88-9c94-419d-93e4-b23b6325ca81>, Acedido em: 2020-06-20.
- [22] “MindSphere,” Junho 2020. Disponível em <https://en.wikipedia.org/w/index.php?title=MindSphere&oldid=963948256>, Acedido em: 2020-05-05.
- [23] “Industrial Edge from Siemens adds benefits from the cloud at the field level.” Disponível em <https://press.siemens.com/global/en/pressrelease/industrial-edge-siemens-adds-benefits-cloud-field-level>, Acedido em: 2020-05-04.
- [24] “The core of the Bosch IoT Suite is based on open source.” Disponível em <https://developer.bosch-iot-suite.com/open-source/>, Acedido em: 2020-07-07.
- [25] “Bosch IoT Suite.” Disponível em <https://www.huaweicloud.com/en-us/solution/bosch-iot-suite/>, Acedido em: 2020-06-20.
- [26] “Arduino,” Outubro 2020. Disponível em <https://pt.wikipedia.org/w/index.php?title=JavaScript&oldid=59399666>, Acedido em: 2020-05-05.
- [27] “Cascading Style Sheets,” Setembro 2020. Disponível em: https://pt.wikipedia.org/w/index.php?title=Cascading_Style_Sheets&oldid=59292010, Acedido em: 2020-11-02.

- [28] “Html,” Outubro 2020. Disponível em <https://pt.wikipedia.org/w/index.php?title=HTML&oldid=59577601>, Acedido em: 2020-05-05.
- [29] “Hypertext Transfer Protocol,” Agosto 2020. Disponível em https://pt.wikipedia.org/w/index.php?title=Hypertext_Transfer_Protocol&oldid=59099039, Acedido em: 2020-05-05.
- [30] “Javascript,” Setembro 2020. Disponível em <https://pt.wikipedia.org/w/index.php?title=JavaScript&oldid=59399666>, Acedido em: 2020-05-05.
- [31] “phpmyadmin,” Março 2020. Disponível em <https://pt.wikipedia.org/w/index.php?title=PhpMyAdmin&oldid=57858625>, Acedido em: 2020-06-21.
- [32] “Wireshark,” Outubro 2020. Disponível em <https://pt.wikipedia.org/w/index.php?title=Wireshark&oldid=59490619>, Acedido em: 2020-03-20.
- [33] “RS-485 Cable: Critical to System Operation.” Disponível em <https://www.belden.com/blog/industrial-ethernet/rs-485-cable-critical-to-system-operation>, Acedido em: 2020-09-11.
- [34] “RS-485,” Outubro 2020. Disponível em: <https://en.wikipedia.org/w/index.php?title=RS-485&oldid=985848229>, Acedido em: 2020-10-27.
- [35] M. Kabir, “Introduction to TCP/IP,” Maio 2020.
- [36] “TCP/IP,” Agosto 2020. Disponível em <https://pt.wikipedia.org/w/index.php?title=TCP/IP&oldid=59201225>, Acedido em: 2020-08-05.
- [37] W. GmbH, “Your Own Web HMI/SCADA Solution in Just A Few Minutes,” Junho 2019. Disponível em <https://webfactory-i4.com/stories/your-own-web-hmi/scada-solution-in-just-a-few-minutes-sps-2019/>, Acedido em: 2020-06-25.
- [38] “Inverters - Mitsubishi Electric Factory Automation - EMEA.” Disponível em: <https://eu3a.mitsubishielectric.com/fa/en/products/drv/inv/local>, Acedido em: 2020-10-24.
- [39] S. Ec, “Frequency Inverter Instruction Manual,” p. 504.
- [40] “Raspberry Pi 3 Model B – Raspberry Pi Specs.” Disponível em <https://www.raspberrypi.org/products/raspberry-pi-3-model-b/>, Acedido em: 2020-06-10.
- [41] “ISA95, Enterprise-Control System Integration- ISA.” Disponível em: <https://www.isa.org/standards-and-publications/isa-standards/isa-standards-committees/isa95>, Acedido em: 2020-11-11.
- [42] “Rede de área local,” Setembro 2020. Disponível em: https://pt.wikipedia.org/w/index.php?title=Rede_de_%C3%A1rea_local&oldid=59477011, Acedido em: 2020-09-25.

- [43] “Node-RED,” Setembro 2020. Disponível em <https://en.wikipedia.org/w/index.php?title=Node-RED&oldid=977745186>, Acedido em: 2020-06-20.

Apêndice A

Desenvolvimento

A.1 Configuração do Variador

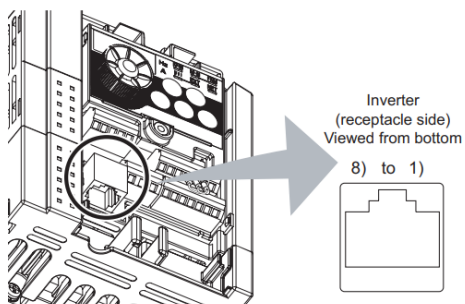
Control circuit specifications

●RS-485 communication

When the PU connector is connected with a personal, FA or other computer by a communication cable, a user program can run and monitor the inverter or read and write to parameters.

The protocol can be selected from Mitsubishi inverter and Modbus-RTU.

• PU connector pin-outs



Pin Number	Name	Description
1)	SG	Earth (ground) (connected to terminal 5)
2)	—	Parameter unit power supply
3)	RDA	Inverter receive+
4)	SDB	Inverter send-
5)	SDA	Inverter send+
6)	RDB	Inverter receive-
7)	SG	Earth (ground) (connected to terminal 5)
8)	—	Parameter unit power supply



NOTE

- Pins No. 2 and 8 provide power to the parameter unit. Do not use these pins for RS-485 communication.
- When making RS-485 communication with a combination of the FR-D700 series, FR-E500 series and FR-S500 series, incorrect connection of pins No.2 and 8 (parameter unit power supply) of the above PU connector may result in the inverter malfunction or failure.
- Do not connect the PU connector to the computer's LAN board, FAX modem socket or telephone modular connector. The product could be damaged due to differences in electrical specifications.

Figura A.1: *Pinout* do conector **PU** (igual ao RJ45) do variador de frequência.

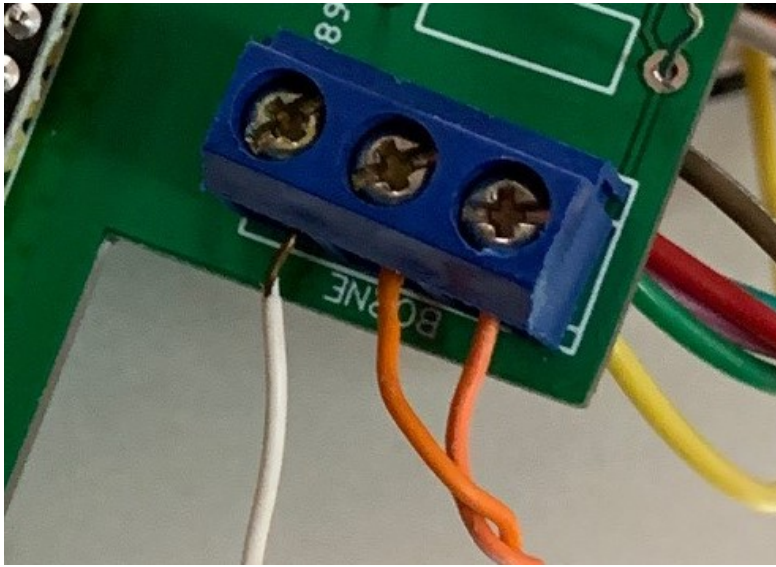


Figura A.2: Conector de três pinos da PCB do Sistema de Aquisição de Dados.

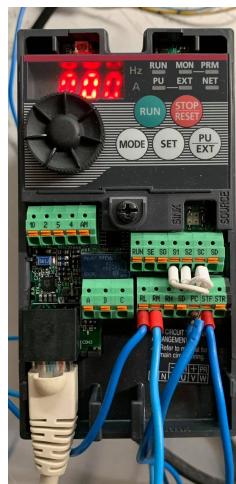


Figura A.3: Variador de Frequência utilizado (Mitsubishi FR-D720S).

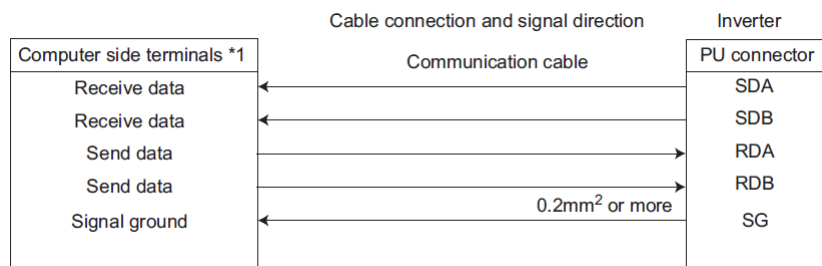


Figura A.4: Ligação dos fios condutores entre o variador e o adaptador.

A.2 Esquema Elétricos

A.2.1 Diagrama de Componentes

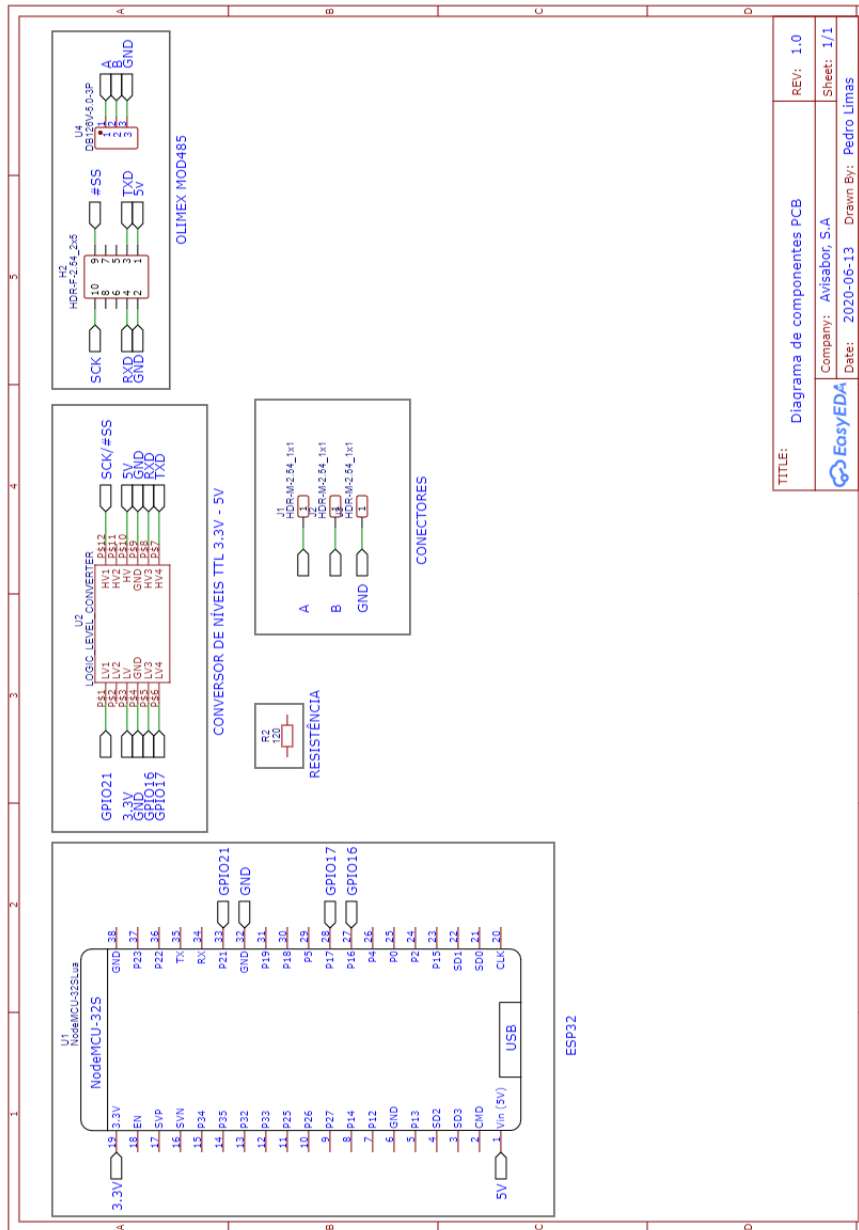


Figura A.5: Diagrama de componentes.

A.2.2 Esquema Elétrico da PCB

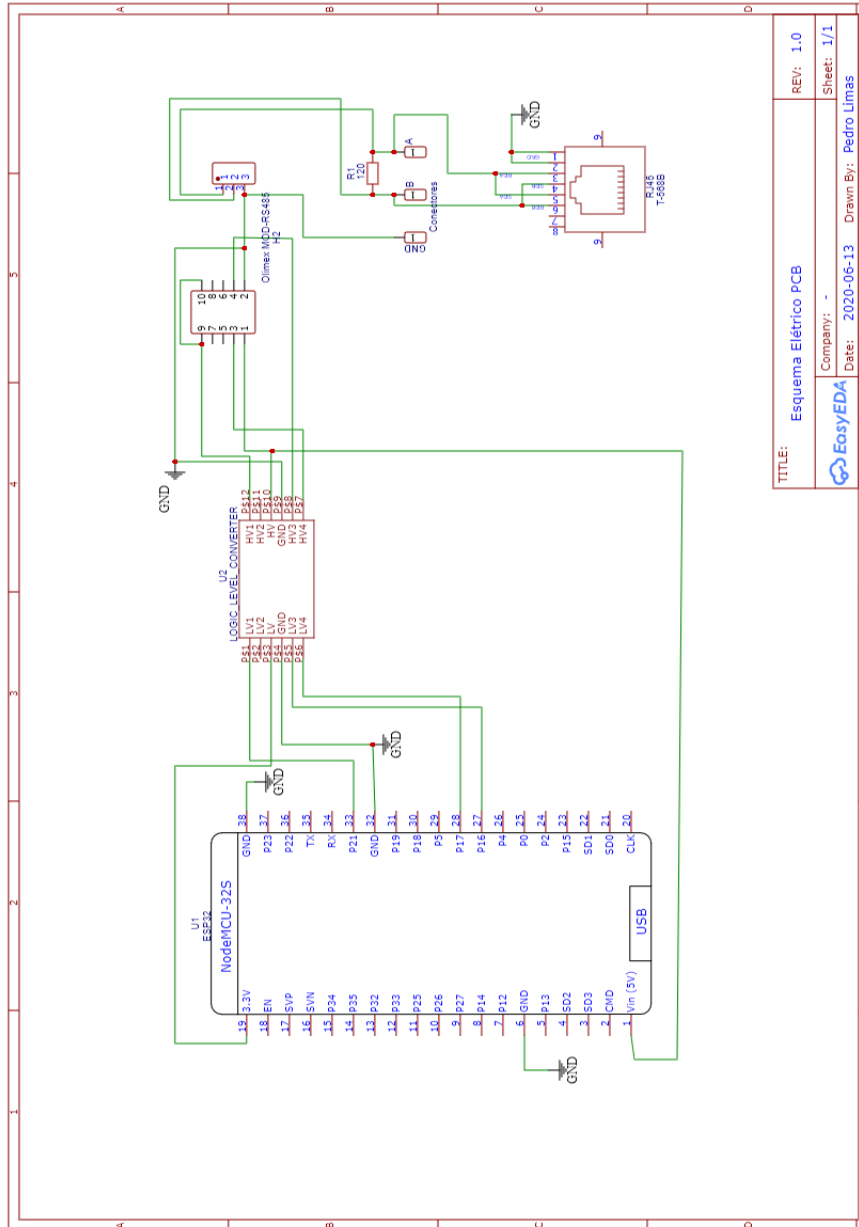


Figura A.6: Esquema de ligações da placa de circuito impresso.

A.3 Alterações no Node-RED

A.3.0.1 Atualização da base de dados

Caso seja necessário inserir ou atualizar as credenciais da base de dados, deve-se alterar os parâmetros "User", "Password" e "Database" da Figura A.9:

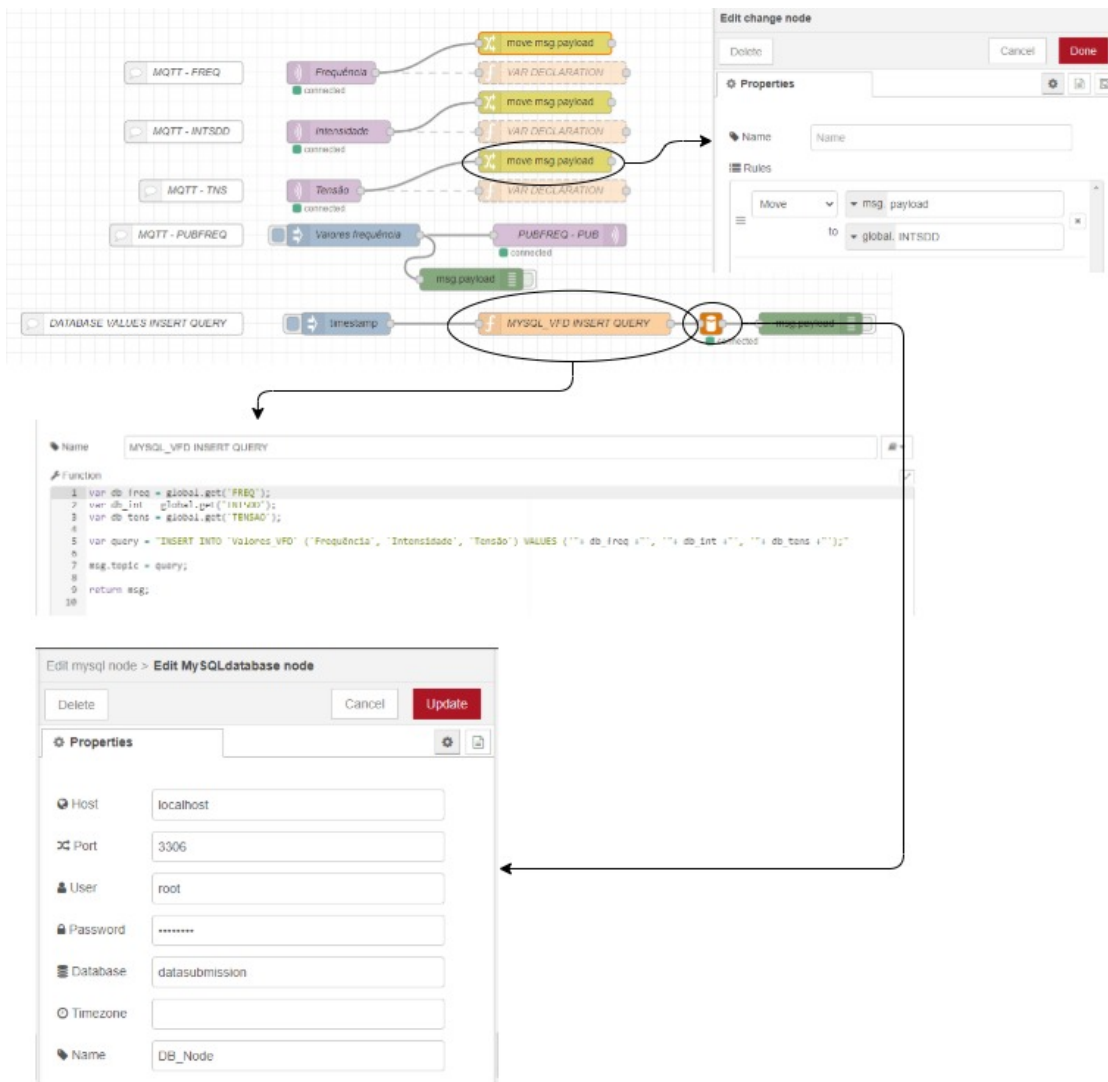


Figura A.7: Alteração das credenciais da base de dados.

A.3.0.2 Atualização do e-mail

Para mudar o e-mail de recepção de alertas, altere-se os campos "To", "User" e "Password" da Figura a seguir:

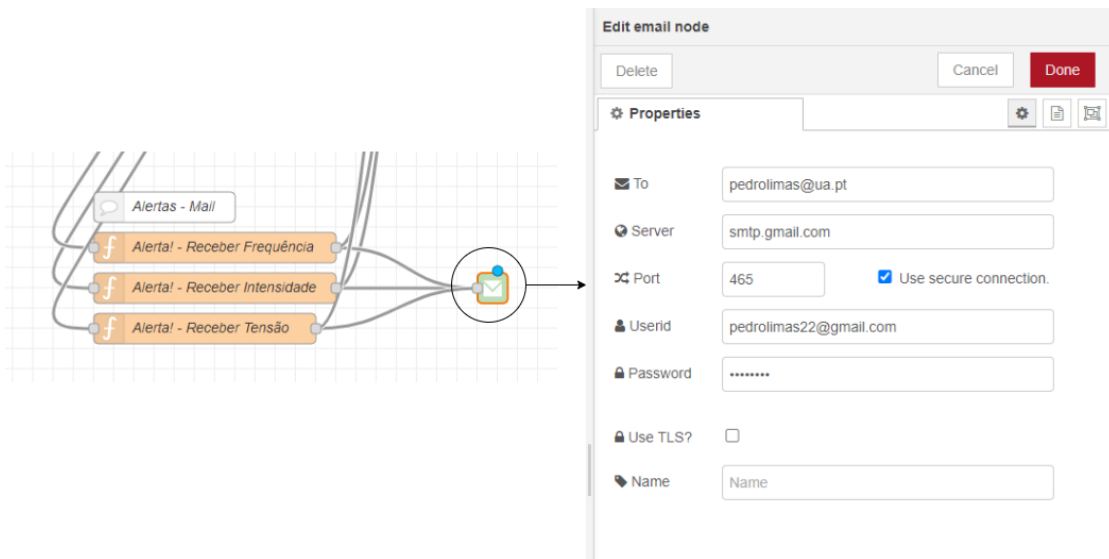


Figura A.8: Alteração do *mail*.

A.3.0.3 Atualização do *broker* MQTT

Para mudar o *e-mail* de recepção de alertas, veja-se a seguir:

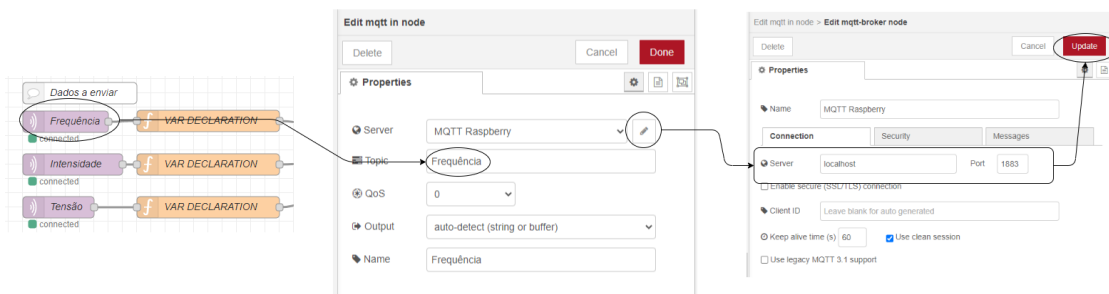


Figura A.9: Alteração dos dados do *broker* MQTT.

A.4 Alterações das definições do *mail*

O Node-RED recomenda a utilização de *mails* associados ao serviço Gmail, visto que este permite a utilização de aplicações de terceiros mediante o seguimento dos passos representados nas Figuras que se seguem:



Figura A.10: 1º passo: Gerir a sua Conta Google.

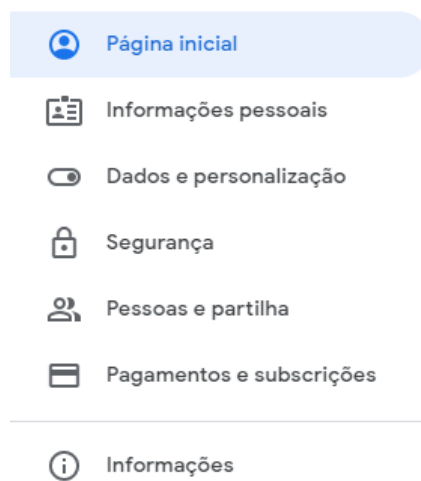


Figura A.11: 2º passo: Opção de Segurança.

Acesso a apps menos seguras

A sua conta está vulnerável porque está a autorizar o acesso à mesma de aplicações e dispositivos que utilizam uma tecnologia de início de sessão menos segura. Para manter a sua conta segura, a Google irá desativar automaticamente esta definição se não estiver a ser utilizada. [Saiba mais](#)



! Ativado

[Desativar o acesso \(recomendado\)](#)

Figura A.12: 3º passo: Ativar o acesso em Acesso a apps menos seguras.

← Acesso a apps menos seguras

Alguns dispositivos e aplicações utilizam uma tecnologia de início de sessão menos segura, o que torna a sua conta mais vulnerável. Recomendamos que desative o acesso para estas aplicações. Se as pretender utilizar apesar dos riscos, ative o acesso. A Google desativará automaticamente esta definição se não estiver a ser utilizada. [Saiba mais](#)

Permitir aplicações menos seguras: ATIVADO



Figura A.13: 4º passo: Ativar a opção Permitir aplicações menos seguras.

A.5 Diagramas de Sequência

Esta imagem tem o intuito de explicar um exemplo de controlo e monitorização dos valores da frequência. Numa fase inicial, o utilizador escolhe através de um *slider* ou de um *input* em formato texto do valor da frequência. O Node-RED recebe e converte esse valor num formato específico para o microcontrolador programado. O microcontrolador, então subscrito a um tópico MQTT, adquire o valor publicado, converte-o e envia-o sob forma de uma mensagem série pronta a ser interpretada pelo variador. A bomba reage de imediato aumentando ou diminuindo a frequência de comando.

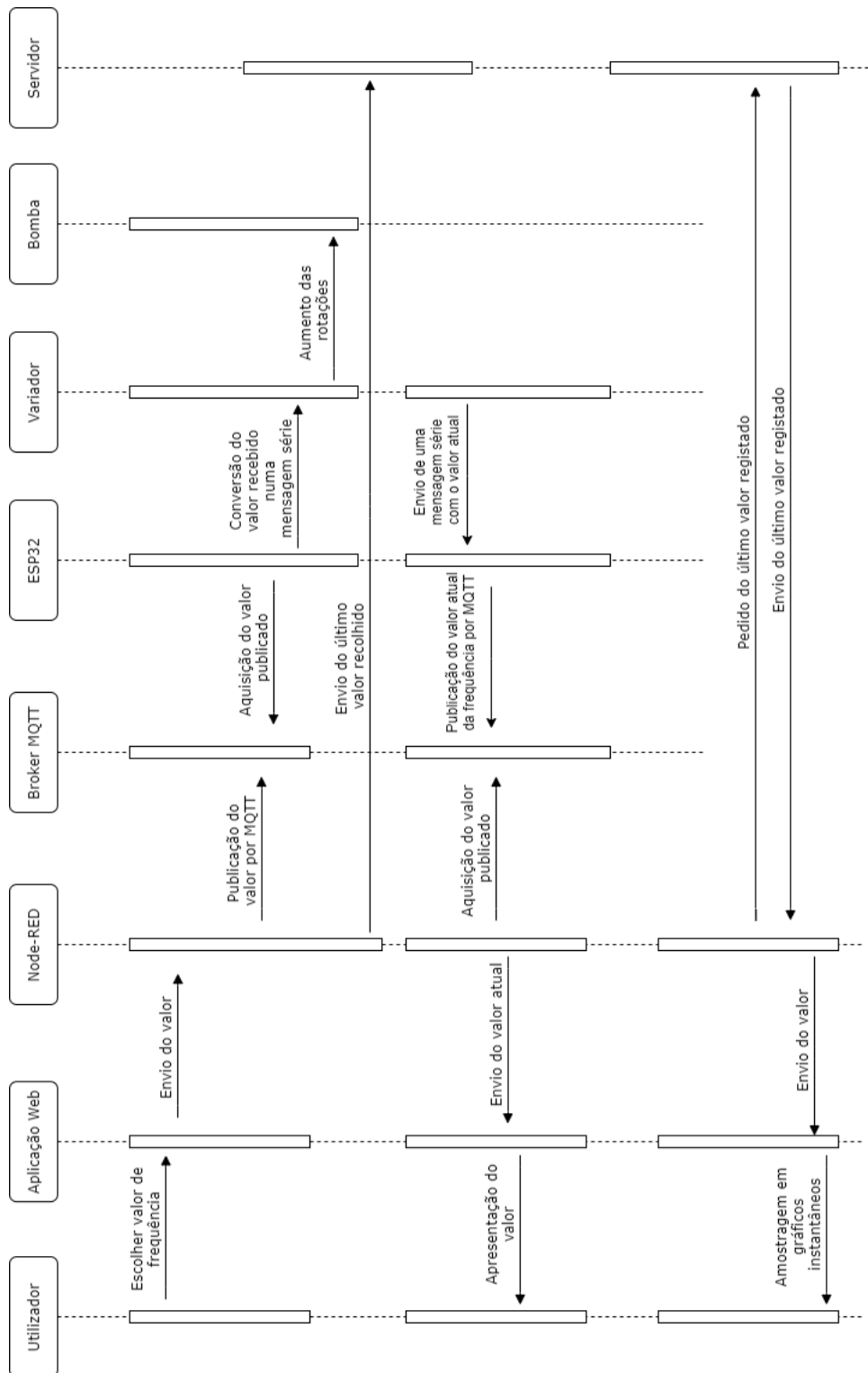


Figura A.14: Diagrama de sequência de controlo e monitorização.

A.6 Registo de Alarmes

Para uma melhor organização e para se poder armazenar os eventos e alarmes de interesse que ocorrem neste sistema, representa-se nas figuras seguintes uma sequência de imagens com os passos que se devem seguir para converter o ficheiro .txt que se faz *download* a partir da página *web*:

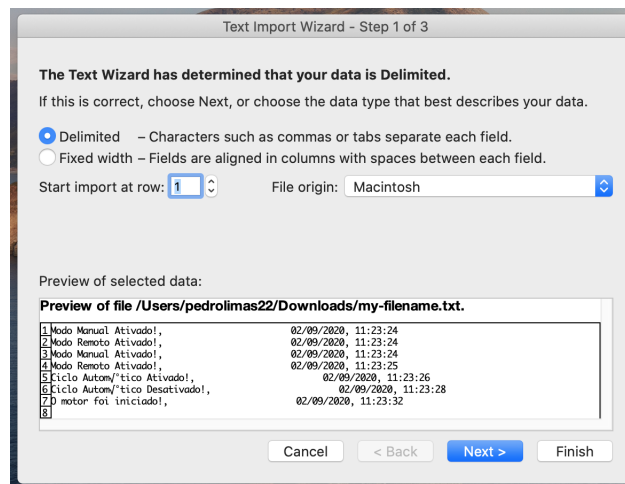


Figura A.15: 1^o passo - abrir o ficheiro .txt em Excel.

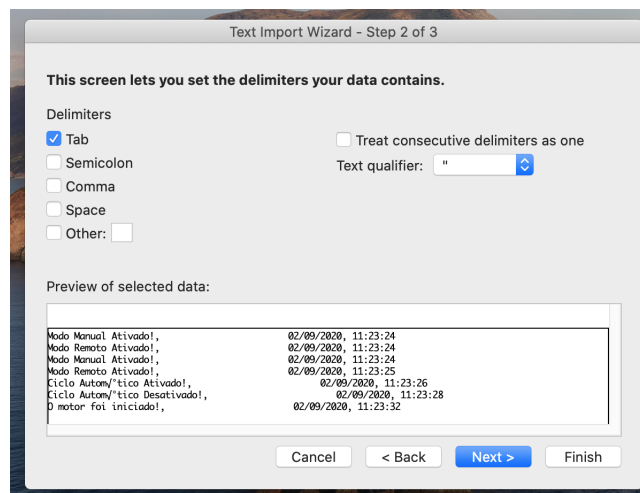


Figura A.16: 2^o passo - Várias opções dos caracteres delimitadores de colunas.

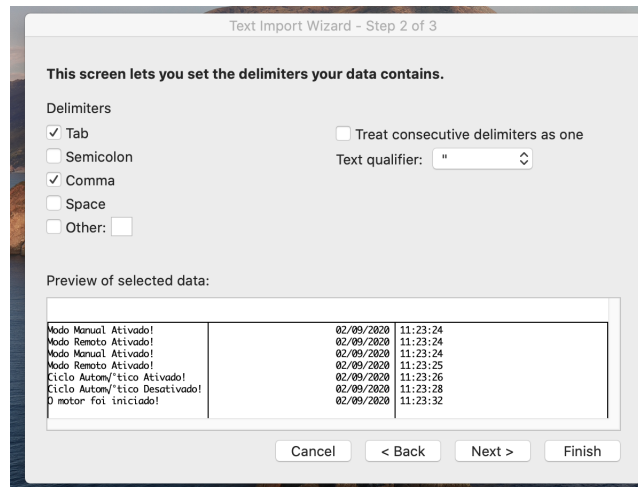


Figura A.17: 3º passo - Escolher a "vírgula" como caractere delimitador.

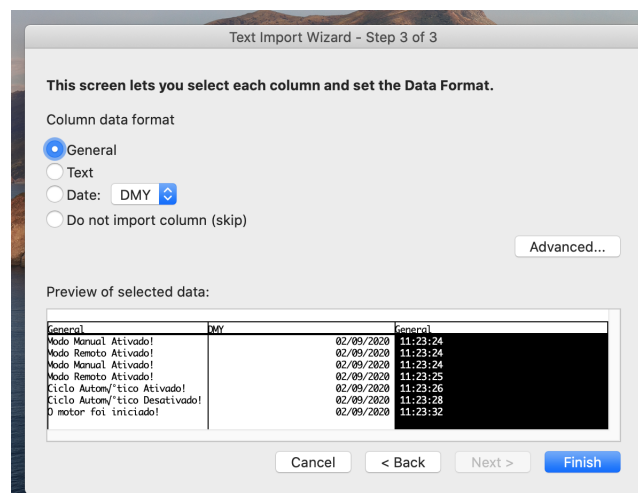


Figura A.18: 4º passo - Escolher o formato de cada coluna.

Modo Manual Ativado!	02/09/2020	11:23:24
Modo Remoto Ativado!	02/09/2020	11:23:24
Modo Manual Ativado!	02/09/2020	11:23:24
Modo Remoto Ativado!	02/09/2020	11:23:25
Ciclo Automático Ativado!	02/09/2020	11:23:26
Ciclo Automático Desativado!	02/09/2020	11:23:28
O motor foi iniciado!	02/09/2020	11:23:32

Figura A.19: 5º passo - Exemplo de uma tabela em Excel.

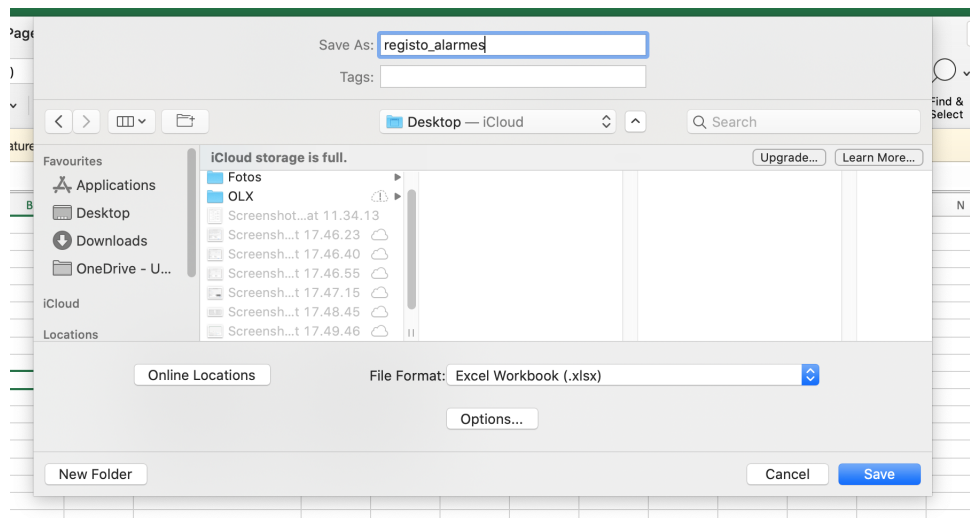
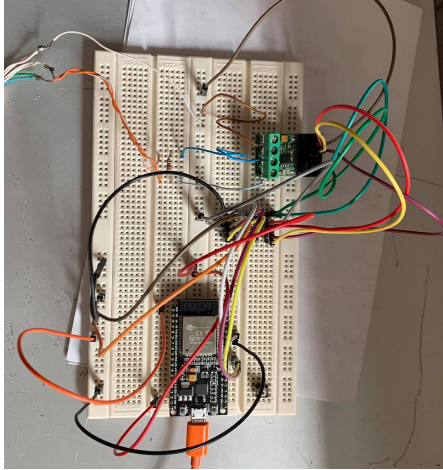
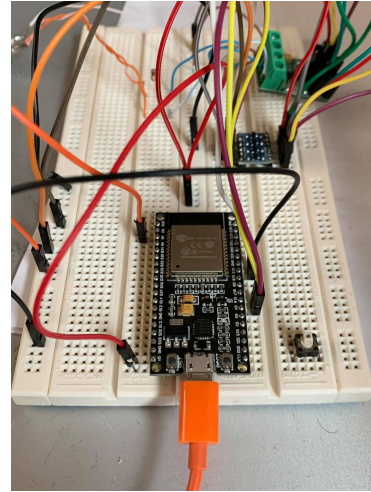


Figura A.20: Guardar o ficheiro num formato .xlsx.

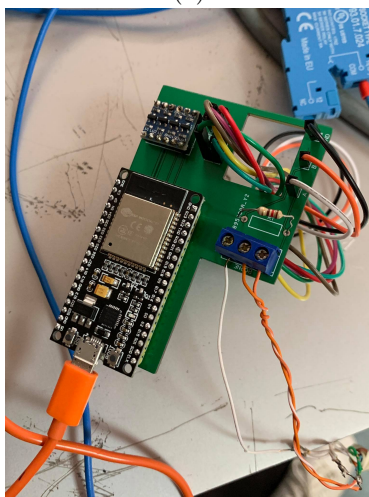
A.7 Fotografias do Sistema na *breadboard*.



(a)



(b)



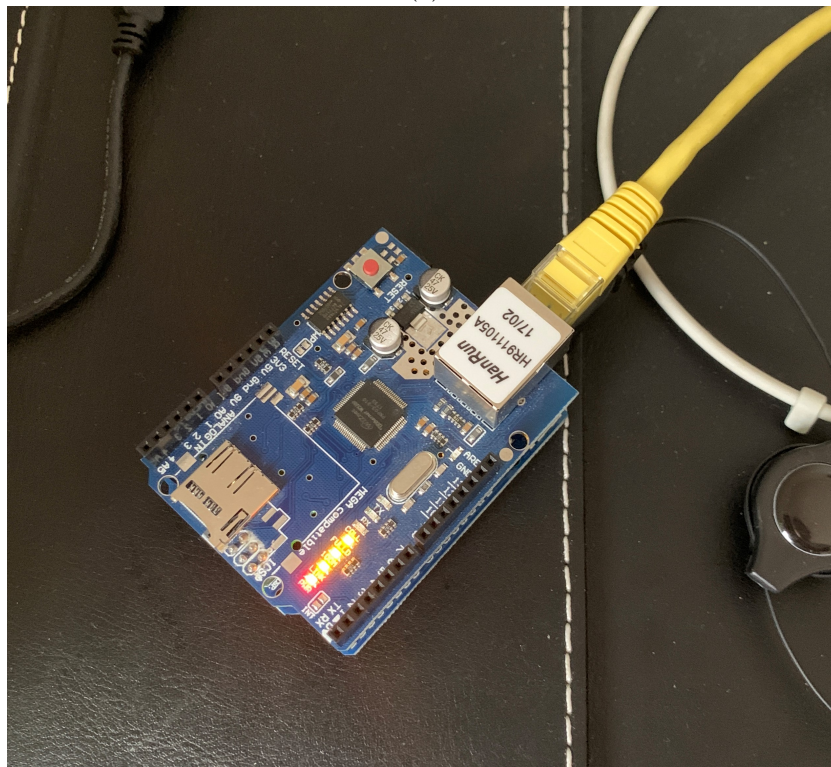
(c)

Figura A.21: Sistema de Aquisição de Dados desenvolvido na placa de prototipagem (*breadboard*) e na **PCB**.

A.8 Opções de Microcontroladores Implementáveis



(a)



(b)

Figura A.22: Opções de Microcontroladores Implementáveis: (a) ESP32, (b) Arduino + Ethernet Shield.

A.9 Código de programação - ESP32

A.9.1 Configuração da Rede Wi-Fi

Para configuração da rede à qual o microcontrolador se liga, deve-se alterar os parâmetros SSID e *password* para as credenciais da rede, nas linhas 29 e 30 do código, respetivamente.

A.9.2 Configuração do *broker* MQTT

Se se pretender usar outro IP para o *broker*, altera-se para o IP pretendido na linha 40.

A.9.2.1 Código de programação do Microcontrolador - ESP32

```
1 #include <HardwareSerial.h>
2 #include <ModbusMaster.h>
3 #include <PubSubClient.h>
4 #include <WiFi.h>
5 #include <Wire.h>
6
7 HardwareSerial MITSUBISHI( 2 ); // DECLARA O DO OBJETO
   HARRDWARE SERIAL -> MITSUBISHI
8
9 // -----[MODBUSMASTER - SETUP
   ]----- //
10
11 ModbusMaster node; // DECLARA O DO OBJETO ModbusMaster ->
   node (VFD)
12 ModbusMaster node2; // DECLARA O DO OBJETO ModbusMaster ->
   node (VFD)
13
14 uint8_t deviceID = 1;
15 uint8_t resultMain;
16 String c, texto;
17 String ID, REGISTER, VALUE;
18
19
20 uint8_t deviceIDpf = 1;
21 uint8_t resultMainpf;
22 String textopf;
23 String IDpf, REGISTERpf, VALUEpf;
24
25 // -----[/MODBUSMASTER - SETUP
   ]----- //
26
27 // SSID/PASSWORD DA REDE
28
29 const char* ssid = "Atena_IoT_LAN";
30 const char* password = "19739373";
31
32 void callback(char* topic, byte* payload, unsigned int length);
33
34 //PROCESSOS
35 TaskHandle_t Task0;
36 TaskHandle_t Task1;
37
38 // const char* mqtt_server = "192.168.137.125"; // BROKER'S IP
   ADDRESS
```

```

39 // const char* mqtt_server = "192.168.1.68"; // BROKER'S IP
    ADDRESS
40 const char* mqtt_server = "192.168.1.101"; // BROKER'S IP
    ADDRESS
41
42 WiFiClient espClient;
43 PubSubClient client(mqtt_server, 1883, callback, espClient);
44 long lastMsg = 0;
45 char Msg[50];
46 int value = 0;
47
48 #define RE_DE 21 // RE_DE PIN
49 #define TXD 17 // TX PIN
50 #define RXD 16 // RX PIN
51
52 #define BaudRate 9600 // BAUDRATE
53 #define Protocol SERIAL_801 // S R I E 8 BITS C/ 1 STOP BIT
54
55 void preTransmission() {
56     digitalWrite(RE_DE, HIGH);
57 }
58
59 void postTransmission() {
60     digitalWrite(RE_DE, LOW);
61 }
62
63 int bits_per_byte = 8;
64 int us_to_wait = (12 * bits_per_byte) * 1000000 / BaudRate; //
    = (1+8+1) bytes
65 int start_timer = 1000;
66 int end_timer = (6 * 11 * bits_per_byte) * 1000000 / BaudRate;
    // = 4x(1+9+1) bytes
67
68 byte MSGtoMITSUBISHI[8]; // BYTE - QUERY DE LEITURA
69 byte MSGtoMITSUBISHI2[8]; // BYTE - QUERY DE ESCRITA
70 byte MSGtoESP32[20]; // MENSAGEM ENVIADA AO ESP
71 byte MsgReceived[7]; // MENSAGEM RECEBIDA VARIADOR -> ESP
72
73 float f = 0.00;
74
75 //----- [FORMATO DE UMA
    MENSAGEM SERIAL]
    ----- //
76
77 // Slave Address // Function Code // Byte Count //First
    Register Hi //First Register Lo //Error Check Lo (CRC) //
    Error Check Hi (CRC)

```

```
78
79 int start_index = 0;
80 int msgF = 0;
81 int msgI = 0;
82 int msgT = 0;
83 int location = 3;
84
85 void setup() {
86
87     Serial.begin(9600);
88     MITSUBISHI.begin(BaudRate, Protocol, RXD, TXD);
89     Serial2.begin(BaudRate, Protocol, RXD, TXD);
90
91     pinMode(RE_DE, OUTPUT);
92     digitalWrite(RE_DE, LOW);
93
94     node.preTransmission(preTransmission);
95     node.postTransmission(postTransmission);
96
97     node2.preTransmission(preTransmission);
98     node2.postTransmission(postTransmission);
99
100
101     setup_wifi();
102
103     // -----[CABE ALHO DA QUERY DE LEITURA
104         ]----- //
105     //Slave Address - 0x01
106     MSGtoMITSUBISHI[0] = 0x01;
107     //Function Code - 0x03
108     MSGtoMITSUBISHI[1] = 0x03;
109     //Number of Points Hi - 0x00
110     MSGtoMITSUBISHI[4] = 0x00;
111     //Number of Points Lo - 0x01
112     MSGtoMITSUBISHI[5] = 0x01;
113
114     // -----[/CABE ALHO DA QUERY DE LEITURA
115         ]----- //
116     // -----[CABE ALHO DA QUERY DE ESCRITA
117         ]----- //
118     //Slave Address - 0x01
119     MSGtoMITSUBISHI2[0] = 0x01;
120     //Function Code - 0x06
121     MSGtoMITSUBISHI2[1] = 0x06;
```

```

122 //Number of Points Hi - 0x00
123 MSGtoMITSUBISHI2[2] = 0x00;
124 //Number of Points Lo - 0x0D
125 MSGtoMITSUBISHI2[3] = 0x0D;
126
127 // -----[/CABE ALHO DA QUERY DE ESCRITA
    ]----- //
128
129 delay(500);
130
131 xTaskCreatePinnedToCore(
132     Task1code, /* Function to implement the task */
133     "Task1", /* Name of the task */
134     10000, /* Stack size in words */
135     NULL, /* Task input parameter */
136     0, /* Priority of the task */
137     &Task1, /* Task handle. */
138     0); /* Core where the task should run */
139
140 }
141
142 void Task1code (void * parameter) {
143
144     for(;;) {
145
146         if (!client.connected())
147             reconnect();
148
149         client.loop();
150
151     }
152
153
154 }
155
156 void setup_wifi() {
157
158
159     delay(10);
160     // We start by connecting to a WiFi network
161     Serial.println();
162     Serial.print("Connecting to_");
163     Serial.println(ssid);
164
165     WiFi.begin(ssid, password);
166
167     while (WiFi.status() != WL_CONNECTED) {

```

```
168     delay(500);
169     Serial.print(".");
170 }
171
172 Serial.println("");
173 Serial.println("WiFi_connected");
174 Serial.println("IP_address:_");
175 Serial.println(WiFi.localIP());
176
177 } // void setup_wifi
178
179 char* topiccp;
180
181
182 void callback(char* topic, byte* payload, unsigned int length)
183 {
184     String messageTemp;
185
186     Serial.print("Message_arrived_in_topic:_");
187     Serial.println(topic);
188
189
190     Serial.print("MESSAGE:_");
191
192     for (int i = 0; i < length; i++) {
193
194         Serial.print((char)payload[i]);
195         messageTemp += (char)payload[i];
196
197     }
198
199     textopf = messageTemp;
200     Serial.println();
201     Serial.println(textopf);
202
203
204     if (strcmp(topic, "esp/pubfreq") == 0)
205     {
206
207         Serial.println("AQUI");
208
209         IDpf = textopf.substring(2, 3);           // pega o
            nmero de ID enviado pela serial
210         //REGISTER = texto.substring(3, 7);     // pega o
            endere o da var avel que recebera a escrita ex: No inv
            delta ms300 a control word      2000H
```

```

211  VALUEpf = textopf.substring(3, 7);          // pega o valor q
        ser escrito na variavel Ex: o valor 0002H coloca o
        inv em RUN
212  deviceIDpf = 0;
213
214  switch (deviceIDpf) {
215
216      case 0:
217
218          node.begin(getInt (IDpf), Serial2);
219          resultMainpf = node.writeSingleRegister(0x000D, getInt(
                VALUEpf)); // para o inv delta a controlword 2000
                H = 8192 decimal value = 0002 run, = 0001 stop
220
221          deviceIDpf = 1;
222          textopf = "";
223          IDpf = "";
224          //REGISTER = "";
225          VALUEpf = "";
226          textopf = "";
227
228          if (resultMainpf == node.ku8MBSuccess) {
229
230              Serial.println("O_COMANDO_FOI_MANDADO_AO_VARIADOR.");
231
232          } else {
233
234              Serial.println("ERRO");
235              Serial.println(" EST _A_PARAR_NO_1 _CASE.");
236
237          }
238
239          delay(45);
240
241  } // switch
242
243 } else if (strcmp(topic, "esp/cicloauto") == 0) // if (strcmp)
        ... else if (strcmp)
244
245 {
246
247     Serial.println("AQUI2");
248
249     IDpf = textopf.substring(2, 3);          // pega o
        n mero de ID enviado pela serial
250     //REGISTER = texto.substring(3, 7);     // pega o
        endere o da varavel que recebera a escrita ex: No inv

```

```
        delta ms300 a control word    2000H
251  VALUEpf = textopf.substring(3, 7); // pega o valor q
        ser escrito na variavel Ex: o valor 0002H coloca o
        inv em RUN
252  deviceIDpf = 0;
253
254  switch (deviceIDpf) {
255
256      case 0:
257
258          node.begin(getInt(IDpf), Serial2);
259          resultMainpf = node.writeSingleRegister(0x000D, getInt(
                VALUEpf)); // para o inv delta a controlword    2000
                H = 8192 decimal    value = 0002 run, = 0001 stop
260
261          deviceIDpf = 1;
262          textopf = "";
263          IDpf = "";
264          //REGISTER = "";
265          VALUEpf = "";
266          textopf = "";
267
268          if (resultMainpf == node.ku8MBSuccess) {
269
270              Serial.println("O_COMANDO_FOI_MANDADO_AO_VARIADOR.");
271
272          } else {
273
274              Serial.println("ERRO");
275              Serial.println("EST_A_PARAR_NO_1_CASE.");
276
277          }
278
279          delay(45);
280
281      } // switch
282
283 } // if topic == pubfreq// if topic == pubfreq
284
285 Serial.println();
286
287 Serial.println("-----");
288
289 messageTemp = "";
290
291
292 } // void callback
```

```
293
294
295 void reconnect() {
296
297     client.setServer(mqtt_server, 1883);
298     client.setCallback(callback);
299
300     // Loop until we're reconnected
301     while (!client.connected()) {
302
303         Serial.print("Attempting MQTT connection...");
304         // Attempt to connect
305         if (client.connect("ESP32Client")) {
306
307             Serial.println("connected");
308
309             // MQTT TOPICS SUBSCRIPTION
310             client.subscribe("esp/pubfreq");
311             client.subscribe("esp/cicloauto");
312             client.subscribe("Intensidade");
313             client.subscribe("Frequencia");
314             client.subscribe("Tens o");
315
316         } else { // IN CASE THE BROKER CONNECTION FAILS
317
318             Serial.print("Failed connection, rc=");
319             Serial.print(client.state());
320             Serial.println("Trying again in 5 seconds");
321             // Wait 5 seconds before retrying
322             delay(1000);
323
324         }
325
326         delay(500);
327
328     } // while (!client.connected)
329
330 } // void reconnect
331
332 void loop() {
333
334     //-----[LER FREQUENCIA
335     ]-----//
336     //Start Timer
337     delay(start_timer);
338
```

```
339 //Write Enable
340 digitalWrite(RE_DE, HIGH);
341 Serial.println("WRITE:_01_03_00_0D_00_01_15_C9");
342
343 MSGtoMITSUBISHI[2] = 0x00;
344 MSGtoMITSUBISHI[3] = 0x0D;
345 MSGtoMITSUBISHI[6] = 0x15;
346 MSGtoMITSUBISHI[7] = 0xC9;
347
348 MITSUBISHI.write(MSGtoMITSUBISHI, sizeof(MSGtoMITSUBISHI));
349 delayMicroseconds(us_to_wait);
350
351 //Read Enable
352 digitalWrite(RE_DE, LOW);
353 Serial.print("READ:");
354
355 //End Timer
356 delayMicroseconds(end_timer);
357 delay(500);
358
359 if (MITSUBISHI.available() >= sizeof(MsgReceived)) {
360     for (int i = 0; i < sizeof(MSGtoESP32); i++) {
361         MSGtoESP32[i] = MITSUBISHI.read();
362         if ((MSGtoESP32[i - 1] == MSGtoMITSUBISHI[0]) && (
363             MSGtoESP32[i] == MSGtoMITSUBISHI[1])) {
364             start_index = i - 1;
365         }
366     }
367     for (int i = start_index; i < sizeof(MsgReceived); i++) {
368         MsgReceived[i - start_index] = MSGtoESP32[i];
369         Serial.print("_");
370         int hex_value = MSGtoESP32[i];
371         if (hex_value < 0x10) {
372             Serial.print("0");
373         }
374         Serial.print(hex_value, HEX);
375     }
376     Serial.println();
377
378     msgF = 0;
379     msgF += MsgReceived[3];
380     msgF = msgF << 8;
381     msgF += MsgReceived[4];
382     delay(500);
383
384     float Frequency = ((float)msgF) / 100;
```

```

385
386  /**
387   Convert to char array to publish on the mqtt broker
388  */
389
390  // Convert the value to a char array
391  char freqString[8];
392  dtostrf(Frequency, 1, 2, freqString);
393  client.publish("Frequencia", freqString);
394
395  long now = millis();
396  if (now - lastMsg > 5000) {
397    lastMsg = now;
398  }
399
400  Serial.print("Frequencia:");
401  Serial.print(Frequency, 2);
402  Serial.println("_Hz");
403  Serial.println("-----");
404
405  }
406
407  //-----[/ LER FREQUENCIA
408   ]-----//
409  //-----[LER INTENSIDADE
410   ]-----//
411  //Start Timer
412  delay(start_timer);
413
414  //Write Enable
415  digitalWrite(RE_DE, HIGH);
416  Serial.println("WRITE:_01_03_00_C9_00_01_54_34");
417
418  //Starting Address Hi - 0x00
419  MSGtoMITSUBISHI[2] = 0x00;
420  //Starting Address Lo - 0xC9
421  MSGtoMITSUBISHI[3] = 0xC9;
422  //Error Check Lo (CRC) - 0x54
423  MSGtoMITSUBISHI[6] = 0x54;
424  //Error Check Hi (CRC) - 0x34
425  MSGtoMITSUBISHI[7] = 0x34;
426
427  MITSUBISHI.write(MSGtoMITSUBISHI, sizeof(MSGtoMITSUBISHI));
428  delayMicroseconds(us_to_wait);
429

```

```
430 //Read Enable
431 digitalWrite(RE_DE, LOW);
432 Serial.print("READ:");
433
434 //End Timer
435 delayMicroseconds(end_timer);
436
437 if (MITSUBISHI.available() >= sizeof(MsgReceived)) {
438     for (int i = 0; i < sizeof(MSGtoESP32); i++) {
439         MSGtoESP32[i] = MITSUBISHI.read();
440         if ((MSGtoESP32[i - 1] == MSGtoMITSUBISHI[0]) && (
441             MSGtoESP32[i] == MSGtoMITSUBISHI[1])) {
442             start_index = i - 1;
443         }
444     }
445
446     for (int i = start_index; i < sizeof(MsgReceived); i++) {
447         MsgReceived[i - start_index] = MSGtoESP32[i];
448         Serial.print("_");
449         int hex_value = MSGtoESP32[i];
450         if (hex_value < 0x10) {
451             Serial.print("0");
452         }
453         Serial.print(hex_value, HEX);
454     }
455     Serial.println();
456
457     msgI = 0;
458     msgI += MsgReceived[3];
459     msgI = msgI << 8;
460     msgI += MsgReceived[4];
461     delay(500);
462
463     float Current = ((float)msgI) / 100;
464
465     char intensidadeString[8];
466     dtostrf(Current, 1, 2, intensidadeString);
467     client.publish("Intensidade", intensidadeString);
468
469
470     Serial.print("Intesidade:_");
471     Serial.print(Current, 2);
472     Serial.println("_A");
473     Serial.println("-----");
474 }
475
```

```

476 //-----[/LER INTENSIDADE
      ]-----//
477
478 //-----[LER TENS O
      ]-----//
479
480 //Start Timer
481 delay(start_timer);
482
483 //Write Enable
484 digitalWrite(RE_DE, HIGH);
485 Serial.println("WRITE:_01_03_00_CA_00_01_A4_34_");
486
487 //Starting Address Hi - 0x00
488 MSGtoMITSUBISHI[2] = 0x00;
489 //Starting Address Lo - 0xCA
490 MSGtoMITSUBISHI[3] = 0xCA;
491 //Error Check Lo (CRC) - 0x15
492 MSGtoMITSUBISHI[6] = 0xA4;
493 //Error Check Hi (CRC) - 0xC9
494 MSGtoMITSUBISHI[7] = 0x34;
495
496 MITSUBISHI.write(MSGtoMITSUBISHI, sizeof(MSGtoMITSUBISHI));
497 delayMicroseconds(us_to_wait);
498
499 //Read Enable
500 digitalWrite(RE_DE, LOW);
501 Serial.print("READ:");
502
503 //End Timer
504 delayMicroseconds(end_timer);
505
506 if (MITSUBISHI.available() >= sizeof(MsgReceived)) {
507     for (int i = 0; i < sizeof(MSGtoESP32); i++) {
508         MSGtoESP32[i] = MITSUBISHI.read();
509         if ((MSGtoESP32[i - 1] == MSGtoMITSUBISHI[0]) && (
510             MSGtoESP32[i] == MSGtoMITSUBISHI[1])) {
511             start_index = i - 1;
512         }
513     }
514
515     for (int i = start_index; i < sizeof(MsgReceived); i++) {
516         MsgReceived[i - start_index] = MSGtoESP32[i];
517         Serial.print("_");
518         int hex_value = MSGtoESP32[i];
519         if (hex_value < 0x10) {
520             Serial.print("0");

```

```
520     }
521     Serial.print(hex_value, HEX);
522 }
523 Serial.println();
524
525 msgT = 0;
526 msgT += MsgReceived[3];
527 msgT = msgT << 8;
528 msgT += MsgReceived[4];
529 delay(500);
530
531 float Voltage = ((float)msgT) / 10;
532
533 char voltString[8];
534 dtostrf(Voltage, 1, 2, voltString);
535 client.publish("Tens o", voltString);
536 Serial.println(msgT);
537
538 Serial.print("Tens o:");
539 Serial.print(Voltage, 1);
540 Serial.println("_V");
541 Serial.println("-----");
542 }
543
544 //-----[/LER TENS O
545     ]----- //
546
547 // -----[LEITURA DE MENSAGENS SERIAL DO
548     REGISTO 0x000D]----- //
549 //Start Timer
550 delay(start_timer);
551
552 // delay(500);
553
554
555 while (Serial.available() > 0) {
556
557     c = (char)Serial.read(); // READ FROM SERIAL MONITOR
558     texto += c;
559
560     //     if (c == ":")
561     //         break;
562     //     else
563     //         texto += c; // texto = texto + c;
564
```

```

565     ID = texto.substring(2, 3);           // pega o
        n mero de ID enviado pela serial
566     //REGISTER = texto.substring(3, 7);   // pega o
        endere o da var avel que recebera a escrita ex: No
        inv delta ms300 a control word    2000H
567     VALUE = texto.substring(3, 7);       // pega o valor q
        ser escrito na vari vel Ex: o valor 0002H coloca
        o inv em RUN
568     deviceID = 0;
569
570 } // while Serial.Available
571
572
573     switch (deviceID) {
574
575         // Device ID imagin rio - Serve apenas para enviar
        comandos ao Inversor via RS485
576     case 0:
577
578         node.begin(getInt(ID), Serial2);
579         resultMain = node.writeSingleRegister(0x000D, getInt(
            VALUE)); // para o inv delta a controlword    2000H
            = 8192 decimal    value = 0002 run, = 0001 stop
580
581         deviceID = 1;
582         texto = "";
583         ID = "";
584         REGISTER = "";
585         VALUE = "";
586
587
588         if (resultMain == node.ku8MBSuccess) {
589
590             Serial.println("O_comando_foi_mandado_ao_variador.");
591
592         } else {
593
594             Serial.println("ERRO");
595             Serial.println("Est _a_parar_no_1 _case");
596         }
597
598         delay(500);
599         break;
600
601     } // switch
602
603

```

```
604 } //loop
605
606
607 // Função que realiza a conversão de um caracter em ASCII
    para numero inteiro
608 int getInt(String texto) {
609
610     int temp = texto.length() + 1;
611     char buffer[temp];
612     texto.toCharArray(buffer, temp);
613     int num = atoi(buffer);
614     return num;
615
616 }
```